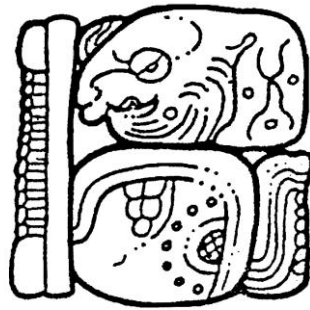


# PROYECTO ARQUEOLOGICO BUSILJA-CHOCOLJA



2011

INFORME DE LA SEGUNDA TEMPORADA DE  
INVESTIGACIÓN PRESENTADO ANTE EL CONSEJO DE  
ARQUEOLOGÍA DEL INSTITUTO NACIONAL DE  
ANTROPOLOGÍA E HISTORIA

EDITADO POR CHARLES GOLDEN Y ANDREW K. SCHERER

*PROYECTO FINANCIADO POR  
LA UNIVERSIDAD DE BROWN, LA UNIVERSIDAD DE BRANDEIS, LA UNIVERSIDAD  
AUTÓNOMA DE YUCATÁN*



## PERSONAL TECNICO 2011

CHARLES GOLDEN  
UNIVERSIDAD DE BRANDEIS  
WALTHAM, MASSACHUSETTS, ESTADOS UNIDOS DE AMÉRICA  
CGOLDEN@BRANDEIS.EDU

ANDREW SCHERER  
UNIVERSIDAD DE BROWN  
PROVIDENCE, RHODE ISLAND, ESTADOS UNIDOS DE AMÉRICA  
AKSCHERER@GMAIL.COM

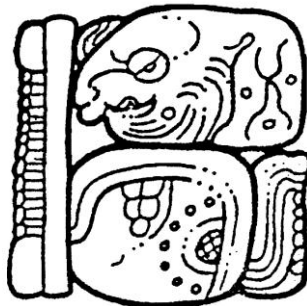
SOCORRO JIMENEZ  
UNIVERSIDAD AUTÓNOMA DE YUCATÁN  
LA FACULTAD DE CIENCIAS ANTROPOLÓGICAS  
MÉRIDA, YUCATÁN, ESTADOS UNIDOS DE MÉXICO  
SDPJIMENEZ@YAHOO.COM.MX

ALAN MENDEZ CAB  
UNIVERSIDAD AUTÓNOMA DE YUCATÁN  
LA FACULTAD DE CIENCIAS ANTROPOLÓGICAS  
MÉRIDA, YUCATÁN, ESTADOS UNIDOS DE MÉXICO  
AEMCAB@GMAIL.COM

JEFFREY DOBEREINER  
UNIVERSIDAD DE HARVARD  
CAMBRIDGE, MASSACHUSETTS, ESTADOS UNIDOS DE AMÉRICA  
JDOBER@FAS.HARVARD.EDU

## CONTENIDOS

CAPITULO 1: INTRODUCCION.....	1
CAPITULO 2: RANCHO BUFALO, LA LAGUNA, LA PLANADA.....	7
CAPITULO 3: FLORES MAGON.....	32
CAPITULO 4: LA MAR.....	43
CAPITULO 5: BUDSILHA.....	57
CAPITULO 6: RANCHO EL EDEN, NUEVO GUERRERO Y NUEVO FRANCISCO LEON.....	71
CAPITULO 7: RESULTADOS PRELIMINARES DEL ANALISIS CERAMICA....	78
CAPITULO 8: CONCLUSIONES.....	112
REFERENCIAS.....	117



# CAPITULO 1

## INTRODUCCIÓN

Charles Golden y Andrew K. Scherer

Desde el 1 de junio 2011 hasta el 29 de junio 2011, con la colaboración de los oficiales del INAH y los miembros de las comunidades locales, los arqueólogos del Proyecto Arqueológico Busilja-Chocolja (PABC) realizaron una temporada de campo que consistió en el reconocimiento, levantamiento topográfico, y excavaciones preliminares en el oriente de Chiapas (Figuras 1.1 - 1.3). Los límites de la investigación según la propuesta aprobada por el Consejo de Arqueología tiene las esquinas aproximadas de: 17° 15' 4" N y 91° 37' 32" O (noroeste), 17° 15' 3.67" N y 91° 26' 24" O (noreste), 17° 1' 22" y 91° 20' 51" (suroeste), 17° 1' 22" N y 91° 10' 53" O (sudeste; ver Figuras 2, 3, y 4). Esta zona de investigación está delimitada al oeste por la Sierra Guiral y al este por el río Usumacinta y la frontera actual con Guatemala. La zona incluye tres sitios arqueológicos identificados por investigaciones anteriores: La Mar, Budsilhá y El Cayo. Además la zona incluye varios sitios reportados por Charles Golden y Andrew Scherer durante una temporada de campo preliminar en el febrero de 2011, de los cuales Rancho Búfalo, Flores Magón, Laguna Oscura, y Uch Chan son los más grandes.

Las metas principales del proyecto en 2011, como la primera fase de un proyecto de largo plazo, eran los siguientes: Esta será la primera fase de un proyecto de largo plazo, cuyas metas serían: (1) entender el comercio y la economía antigua, (2) conocer los patrones de asentamiento desde el nivel familiar hasta el de la elite, (3) determinar las relaciones espaciales entre los sitios, especialmente en relación con las fronteras políticas antiguas entre reinos distintos, (4) entender la relación entre el paisaje y los patrones de asentamiento y (5) conocer los patrones de agricultura antigua que proveyeron los medios de subsistencia necesarios para mantener las capitales del mundo maya como Piedras Negras. A través del reconocimiento arqueológico en la zona de La Mar, el levantamiento preliminar de sitios arqueológicos, excavaciones menores con el objeto de fechar los sitios y ubicarlos dentro de las esferas cerámicas de la región, y el análisis de los asentamientos antiguos con un Sistema de Información Geográfica (SIG), se comenzaran a delimitar las fronteras de las entidades políticas como Piedras Negras y sus reinos vecinos.

Con un proyecto de largo plazo no es posible contestar cada cuestión arqueológica después de una sola temporada. Sin embargo, junto con los datos recolectados durante la

temporada corta de febrero 2010, las investigaciones de campo en 2011 han ampliado el conocimiento de sitios arqueológicos no previamente identificado, han resultado en la producción de mapas topográficas de sitios anteriormente conocidos, y han brindado datos preliminares sobre la cerámica regional tanto como otros patrones de los materiales culturales de la zona. Así, los datos recién colectados proveen una comprensión nueva de la distribución temporal y espacial de asentamiento en la región del estudio, e interpretaciones preliminares de los vínculos entre los sitios de la región del estudio y los capitales del periodo Clásico tales como Piedras Negras y Palenque. También forman la base para los estudios que los miembros del PABC esperan realizar en 2012. En los capítulos siguientes, los arqueólogos responsables para los estudios de campo y laboratorio presentan los resultados de sus obras.



Figura 1.1: Mapa político actual.

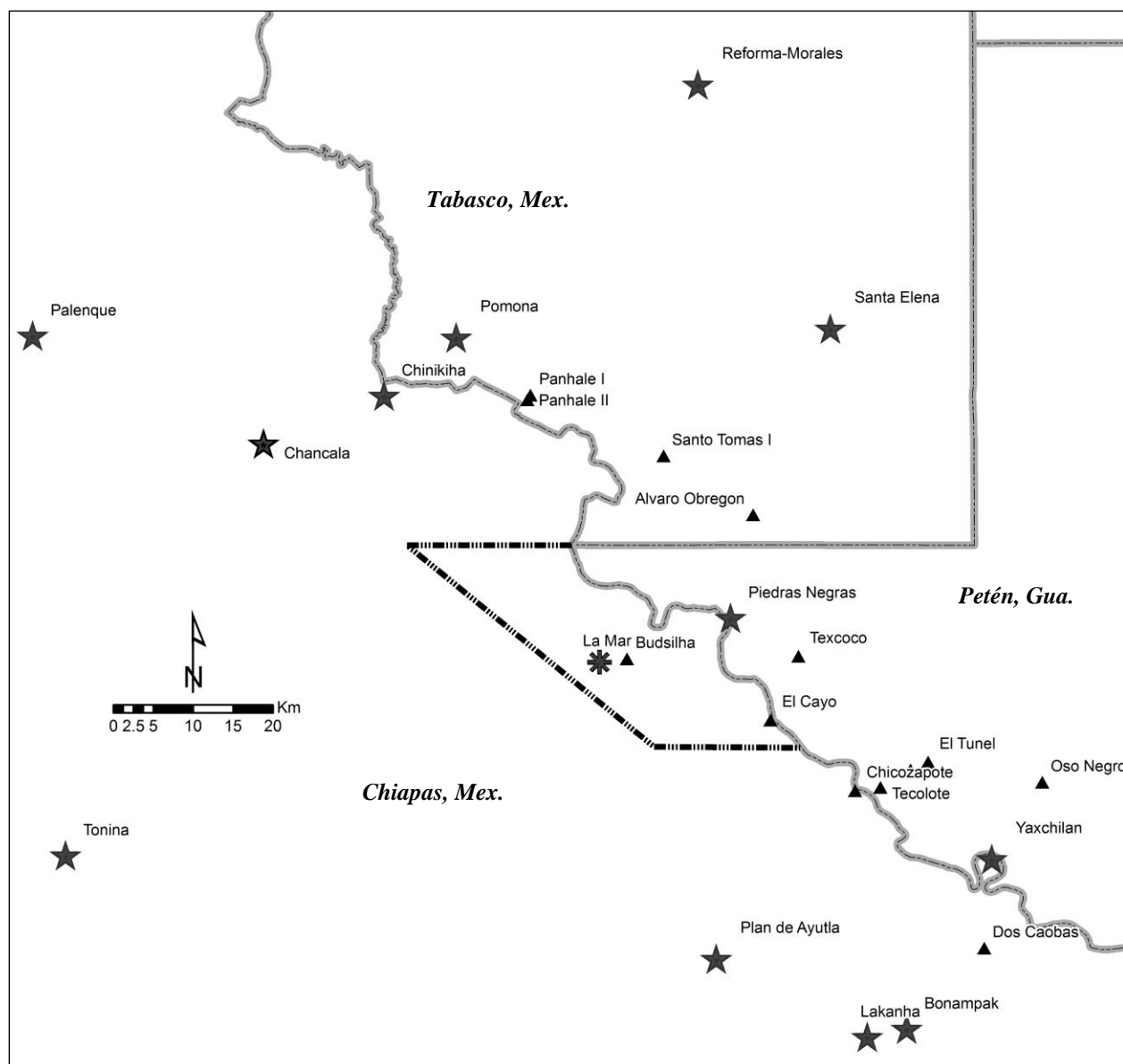


Figura 1.2. Mapa de sitios arqueológicos, con la zona de investigaciones propuestas indicada con la línea punteada.

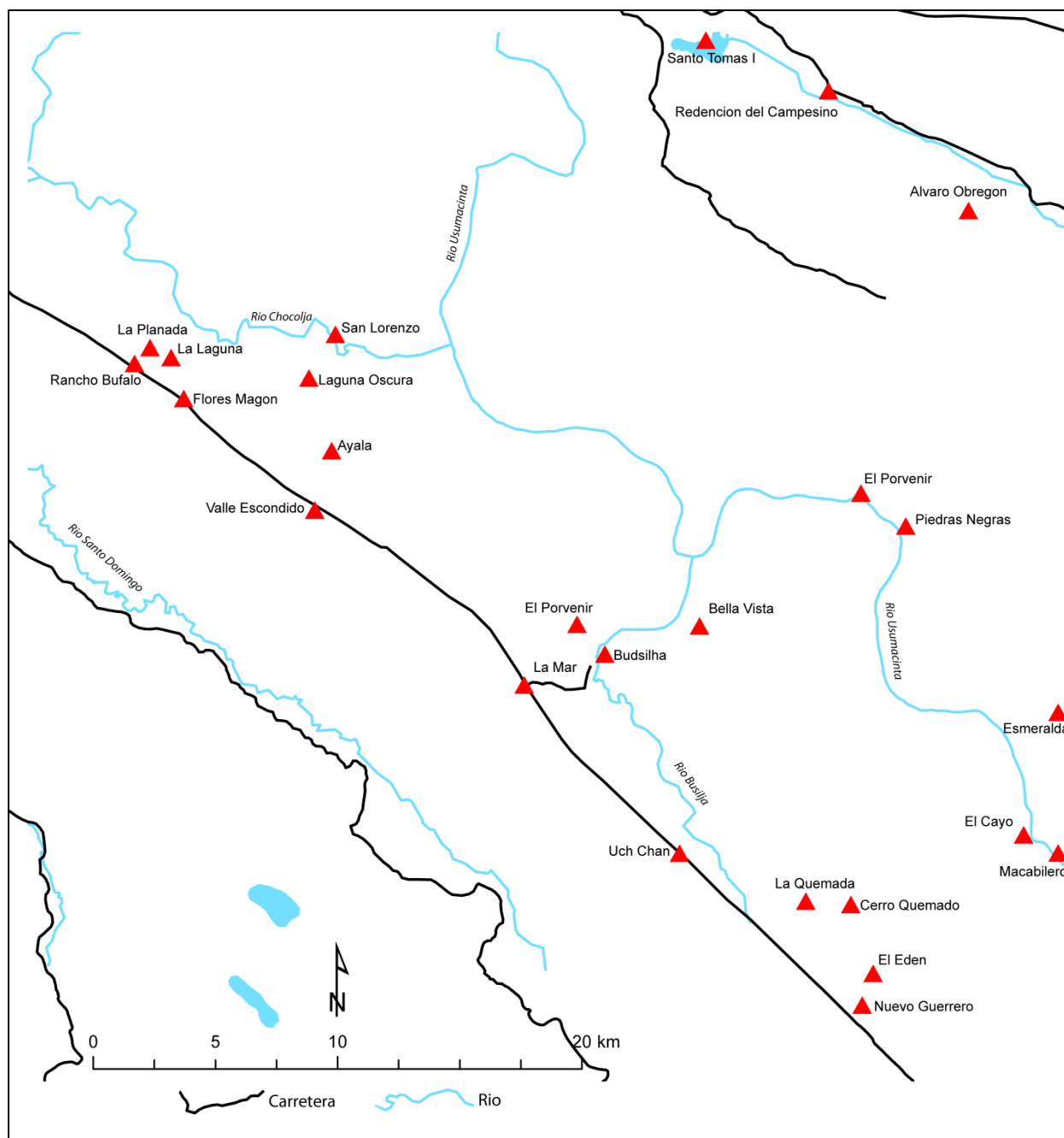


Figura 1.3. Mapa de la región mostrando sitios ubicados y carreteras asfaltadas.

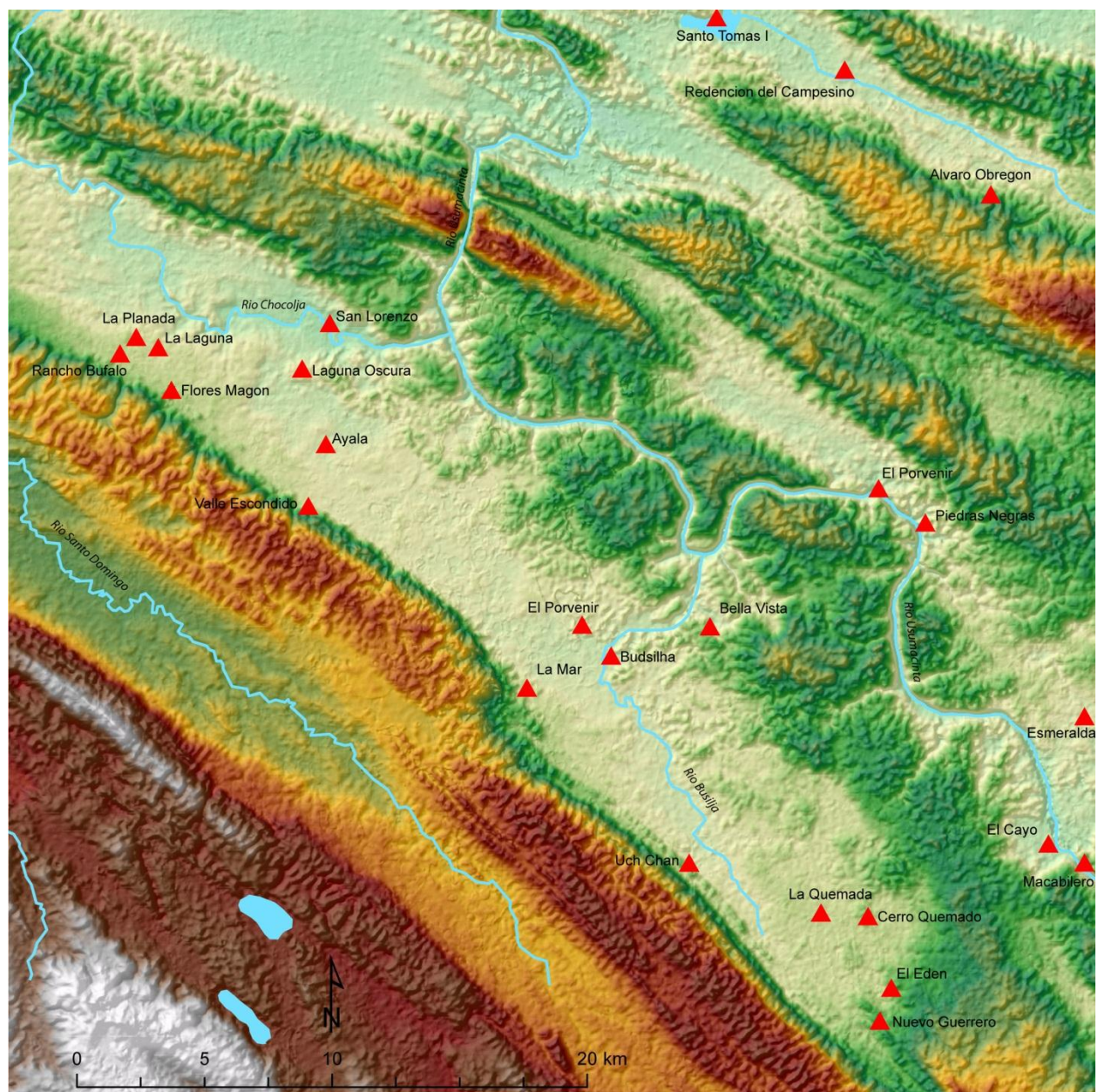


Figura 1.4. Mapa de la región mostros sitios ubicados y la topografía regional.

## CAPITULO 2

### RANCHO BUFALO, LA LAGUNA, LA PLANADA

Andrew K. Scherer, Charles Golden, Jeffrey Dobereiner, y Alan Méndez Cab

#### INTRODUCCIÓN

Rancho Búfalo es un sitio compuesto de un complejo de montículos grandes visibles desde la carretera, y plataformas bajas que representan modificaciones amplias aunque no muy obvias del paisaje natural. El nombre del sitio tiene su origen en uno de los dos ranchos dentro de cuales se encuentra el epicentro del sitio. El actual Rancho Búfalo, un propiedad extenso compuesto de dos propiedades que pertenecen a Luis Romo y Salvador Romo, incluye la estructura D5-3. Sin embargo la mayoría de las estructuras grandes se encuentra dentro del otro terreno al sur, un rancho sin nombre oficial que según los residentes locales es propiedad de un Señor Cabrera.

#### RANCHO BUFALO

Tres operaciones estuvieron establecidas por Rancho Búfalo en 2010. El primero corresponde a una grupo arquitectónico en la cuadra D5 de la mapa (Fig. 2.3, 2.4, y 2.5). Operación 2 corresponde a la recolección de cerámica de la superficie de estructuras con la designación D6. Operación 3 corresponde a excavaciones cerca de la plataforma E5-3.

#### Operación RB-1

Esta operación incluye la investigación de las estructuras designadas en la esquina D5 de la mapa del sitio. El objetivo de estas investigaciones era la limpieza de una tumba perturbada (Entierro 1; Figs. 2.6, 2.7, y 2.8) y la investigación general de la cronología del grupo arquitectónico. Operación 1A pertenece a las unidades designados para la limpieza de la tumba (Unidades 1 a 5) (Fig 2.9). Operación 1B incluye solamente un colección de la superficie de la estructura D5-2. Operación 1C es un pozo de sondeo al lado norte de estructura D5-6. Operación 1D pertenece a la recolección de cerámica de la superficie de estructura D5-1. Operación 1E era un pozo de sondeo al lado norte de estructura D5-4.

#### *Entierro 1*

Entierro 1 es una tumba ubicado en el corazón de la Estructura D5-3. La tumba estaba perturbado por los habitantes locales hace diez años, y se encontró hoy en día la cámara con parte del techo colapsado. La tumba estaba lleno de colapso de la estructura y ellos solamente exploraron los niveles altos del relleno. Por la gran probabilidad de mas destrucción de la tumba, el equipo decidió a limpiar el derrumbe de la cámara, documentar cualquier materiales quedan, y re-llenar la tumba para proteger la cámara. Para la limpieza, la tumba estaba designado por cinco unidades (1 a 5) (Fig. 2.9) y excavado en dos niveles. El primer lote pertenece al nivel de derrumbe. El segundo lote pertenece a la limpieza de la tierra en el piso de la tumba.

Entierro 1 estaba excavada en la roca madre y los partes más bajo de los muros y el piso es la roca madres. Los muros y bóveda son bien hechos de piedras pequeñas cortadas. El techo consiste de una serie de lajas. La tumba es 2.90 m in largo, 1.40 m in ancho, y 1.50 m de altura (adentro de la cámara). La tumba es orientada a 30° azimut. La secuencia de construcción empieza con la excavación de la roca madre y seguido con la construcción de los muros y techo. Presumiblemente, el próximo estaba la inhumación del cuerpo y la construcción de estructura D5-3. Es difícil a decir, pero solo hay evidencia de una fase de construcción del edificio. Por la evidencia de cerámica en el relleno del edificio, la tumba estaba construida en el Preclásico Terminal o Clásico Temprano. Pero, por una vasija que nos encontró en la tumba (Fig. 2.10) es obvio que la tumba estaba re-entrada durante el Clásico Tardío. El muro sur de la tumba consiste de un gran monolito. No es seguro si esta piedra estaba la puerta original o estaba ubicada por la gente del Clásico Tardío a re-cerrar la tumba. Por la evidencia de la re-entrada, es imposible a decir que objetos encontrados en la tumba son de la deposición original del Preclásico Terminal/Clásico Temprano o son del Clásico Tardío.

Fragmentos de restos óseos estaban encontrados por todo el piso de la tumba; la mayoría en el piso pero algunos en el relleno. La mayoría son muy fragmentados y mal conservados y es difícil a decir si estaban un su lugar original o perturbados por la re-entrada. Sin embargo, un grupo de huesos del pie ubicado en Unidad 2 (el suroeste) indica la posibilidad que la posición original del cuerpo estaba con la cabeza al noreste. Esta posibilidad es indicada también por la ubicación de las orejas en la Unidad 3 (el noreste). El tamaño y desarrollo de los huesos indica que el individuo estaba un adulto. El sexo es indeterminado. La descripción siguiente tiene detalles de los artefactos y huesos humanos por lote.

### *Entierro 1: RB-1A-1*

La unidad mide 1.3 x 1.0 m. Lote 1 tiene una profundidad de 95 cm (debajo del dato de la tumba, ubicado en el muro de la tumba, esquina noroeste de esta unidad). El lote consiste de derrumbe de la estructura (piedras no trabajadas) que se cayó en la cámara de la tumba. Tierra mezclada con las piedras es marga café oscura (10 YR 3/3). Materiales recuperados incluyen tiestos, lascas de pedernal, fragmentos de obsidiana, huesos animales, y una gran cantidad de concha (*Pachychilus sp.* y otros taxones). Huesos humanos incluye un fragmento de la bóveda del cráneo, un premolar mandibular (segundo, derecho), y ocho otros fragmentos.

El lote 2 consiste de tierra y piedra debajo del derrumbe y sobre el piso de la tumba. Artefactos encontrados incluyen dos orejas de concha, un fragmento de un agujero de hueso (el otro parte ubicado en RB-1A-3-1; Fig. 2.11), y un objeto desconocido de estuco. Restos humanos incluyen fragmentos de un fémur, una superficie auricular del innominado, el segundo y tercer metacarpos, el cuarto derecho metacarpo, un falange proximal, dos falanges intermedios, un metatarso desconocido, 150 fragmentos de huesos largos, seis fragmentos de la bóveda del cráneo, un fragmento derecho de la mandíbula, y un canino mandibular (derecho, no modificado).

### *Entierro 1: RB-1A-2*

La unidad mide 1.3 x 1.0 m. Lote 1 tiene una profundidad de 70 cm (esquina noroeste). El lote consiste de derrumbe de la estructura (piedras no trabajadas) que se cayó en la cámara de la tumba. Tierra mezclada con las piedras es marga café oscura (10 YR 3/3). Materiales recuperados incluyen tiestos, lascas de pedernal, fragmentos y hojas de obsidiana, huesos animales, y una gran cantidad de concha (*Pachychilus sp.* y otros taxones). Restos humanos incluyen cinco dientes (DI<sup>2</sup>, DC<sup>x</sup>, DP<sup>3</sup>, DP<sup>4</sup>, DM<sup>2</sup>), un metacarpo desconocido, un costilla, 20 fragmentos del esqueleto poscráneo, y 4 fragmentos del cráneo.

El lote 2 consiste de tierra y piedra debajo del derrumbe y sobre el piso de la tumba. Restos humanos incluyen un metatarso izquierdo (primero), dos metatarsos derechos (segundo y quinto), seis falanges proximales del pie, dos falanges intermedios del pie, una falange distal del pie (con una fractura sanada), cuatro falanges del mano, dos fragmentos de costillas, un

fragmento de la mandíbula, 69 fragmentos del poscráneo, un fragmento del cráneo, y tres dientes (IP<sup>4</sup>, IM<sub>1</sub>, IC<sub>x</sub>).

*Entierro 1: RB-IA-3*

La unidad mide 1.30 x 0.65 m. Lote 1 tiene una profundidad de 93 cm (esquina noroeste). El lote consiste de derrumbe de la estructura (piedras no trabajadas) que se cayó en la cámara de la tumba. Tierra mezclada con las piedras es marga café oscura (10 YR 3/3). Materiales recuperados incluyen tiestos, huesos animales, y concha (*Pachychilus sp.* y otros taxones). Restos humanos incluyen tres fragmentos de huesos largos.

El lote 2 consiste de tierra y piedra debajo del derrumbe y sobre el piso de la tumba. Restos humanos incluyen un fragmento del cubito derecho, el frontal izquierdo, el sacro, la mandíbula, la temporal izquierda, el cigomático izquierdo, tres fragmentos de costillas, el quinto metacarpo izquierdo, dos falanges del mano, un falange del pie, aproximadamente 200 fragmentos poscráneo, nueve fragmentos del cráneo, y dos dientes (IP<sup>3</sup>, DP<sub>4</sub>).

*Entierro 1: RB-IA-4*

La unidad mide 1.30 x 0.20 m. Lote 1 tiene una profundidad de 61 cm (esquina noroeste). El lote consiste de derrumbe de la estructura (piedras no trabajadas) que se cayó en la cámara de la tumba. Tierra mezclada con las piedras es marga café oscura (10 YR 3/3). Materiales recuperados incluyen tiestos, lascas de pedernal, una bolita de piedras, espelotemos, huesos animales, y gran cantidad de concha (*Pachychilus sp.* y otros taxones). Restos humanos incluyen un falange del pie, un fragmento vertebral, 63 fragmentos poscráneo, un fragmento parietal, y tres dientes (DP<sub>3</sub>, DC<sub>x</sub>, IM<sup>1</sup>).

El lote 2 consiste de tierra y piedra debajo del derrumbe y sobre el piso de la tumba. Restos humanos incluyen un fragmento del frontal derecho y cuatro otros fragmentos.

*Entierro 1: RB-IA-5*

La unidad mide 1.20 x 0.30 m. Lote 1 tiene una profundidad de 91 cm (esquina noroeste). El lote consiste de derrumbe de la estructura (piedras no trabajadas) que se cayó en la cámara de la tumba. Tierra mezclada con las piedras es marga café oscura (10 YR 3/3). Materiales recuperados incluyen tiestos, lascas de pedernal, una balita de piedra, huesos

animales, y concha (*Pachytilus sp.* y otros taxones). Restos humanos incluyen un fragmento del cráneo, un fragmento de la mandíbula, y un fragmento de un fémur.

El lote 2 consiste de tierra y piedra debajo del derrumbe y sobre el piso de la tumba. Restos humanos incluyen un fragmento de la rotula izquierda, un fragmento de una costilla con una fractura sanada, un fragmento de una otra costilla, y 24 fragmentos poscráneos.

#### *RB-1A – Sin Contexto*

Durante construcciones cerca de la estructura D5-3, habitantes locales se encontraron un entierro. Del entierro, ellos guardaron siete azuelas de piedras verdes (Fig. 2.12). No otros datos contextos están disponible. Durante la temporada 2011, los habitantes donaron las azuelas a la bodega de INAH en Palenque.

#### *RB – 1C – 1*

Unidad RB-1C-1 mide 1.0 x 1.0 m (Fig. 2.13). El primer lote consistió del nivel del humus (café muy oscuro; 10 YR 2/2) y tiene una profundidad de 11 cm desde el dato (la esquina noroeste de la unidad). Materiales recuperados incluyen tiestos, lascas de pedernal, obsidiana, y concha.

El lote 2 tuvo una profundidad de 35 cm y consistió de tierra de café oscuro (7.5 YR 3/2) mezclado con piedras pequeñas. Materiales incluyen tiestos, lascas de pedernal, obsidiana, y concha.

El lote 3 tuvo una profundidad de 57 cm y consistió de tierra de color café (10 YR 4/3) con piedras grandes. Materiales recuperados incluyen tiestos, lascas de pedernal, huesos animales, y concha. La excavación fue cerrada por la falta de materiales culturales.

#### *RB-1E-1*

Unidad RB-1E-1 mide 1.0 x 1.0 m (Fig. 2.14). El primer lote consistió del nivel del humus negro (10 YR 2/1) y tiene una profundidad de 26 cm desde el dato (la esquina noroeste de la unidad). Materiales recuperados incluyen tiestos, lascas de pedernal, obsidiana, una gran cantidad de concha (*Pachytilus sp.*), y un mano hecho para moler maíz, hecho por basalto.

Lote 2 consistió de tierra café oscuro (Fig. 7.5 3/2) y piedras pequeñas y tiene una profundidad de 36 cm. En el fin del lote estaba delimitado por la roca madre. Materiales recuperados incluyen tiestos, lascas de pedernal, obsidiana, huesos de animal, y concha.

### **Operación RB-2**

Operación 2 corresponde a la recolección de cerámica de la superficie de estructuras con la designación D6.

### **Operación RB-3**

Operación 3 corresponde a excavaciones cerca de la plataforma E5-3.

#### *RB-3A-1*

La unidad mide 1 x 1 (Fig 2.15). El primer lote consistió del nivel del humus negro (10 YR 2/1) y tiene una profundidad de 14 cm desde el dato (la esquina noroeste de la unidad). Materiales incluyen tiestos, una gran cantidad de lascas de pedernal, obsidiana, huesos animales, y concha.

El segundo lote consistió de tierra café oscuro (10 YR 3/3) y tiene una profundidad de 33 cm. Materiales incluyen tiestos, lascas de pedernal, obsidiana, y concha. El estaba finalizado cuando se encontró huesos humanos corresponden al parte norte de Entierro 2 (Fig 2.16).

#### *RB-3A-2,3,4*

Para exponer el entierro, unidades 2, 3, y 4 estaban excavados. Todas las unidades compartieron una esquina conjuntos. Unidad 2 fue una unidad que midió 1.0 x 1.0 m y correspondió al parte suroeste de Entierro 2. La esquina noreste de Unidad 2 es lo mismo de la esquina suroeste de Unidad 1. De la misma esquina, al este estaba Unidad 3 y al poniente Unidad 4. Unidades 3 y 4 midieron 0.5 x 0.5 m.

El primero lote de Unidades 2, 3, y 4 consistieron del nivel del humus negro (10 YR 2/1). RB-3A-2-1 tenían una profundidad de 6 cm, RB-3A-3-1 tenían una profundidad de 13 cm, y RB-3A-4-1 tenían una profundidad de 16 cm. Los lotes 1 de este unidades contenían tiestos, lascas de pedernal, obsidiana, un gran cantidad de concha (*Pachychilus sp.*) y fragmentos de huesos humanos.

El segundo lote de Unidades 2, 3, y 4 consistieron del tierra café oscuro (10 YR 3/3) y contuvieron un gran cantidad de tiestos, hojas de obsidiana, huesos animales, y fragmentos de huesos humanos. RB-3A-2-2 tenían una profundidad de 27cm. RB-3A-3-2 tenían una profundidad de 28 cm. RB-3A-4-2 tenían una profundidad de 25 cm.

El tercer lote de Unidades 1, 2, 3, y 4 correspondieron a Entierro 2.

#### *Entierro 2 (RB-3A-1,2,3,4-3)*

Entierro 2 consistió de un solo individuo primario enterado en la tierra debajo de la plataforma asociado con Estructura E5-2 (Fig. 2.16). La sola evidencia de arquitectura consistió de tres piedras al lado de los brazos. El relleno del entierro consistió de tierra de color café oscura. La tierra estaba mezclada con artefactos de los niveles encima, incluyen tiestos, lascas de pedernal, huesos animales y una gran cantidad de concha.

El cuerpo estaba ubicado en una posición decúbito dorsal con la cabeza en el suroeste (230° azimut), la cara mirando al cielo. Había mucha perturbación de los huesos por las actividades de roedores reciente (Figs. 2.15, 2.16). Sin embargo, es obvio que las piernas estaban en línea recta con los humeros al lado del cuerpo. Por la falta de arquitectura no es posible a decir las medidas del rasgo precisamente, pero el largo estaba más o menos 1.85 m y el ancho estaba 0.39 m. El cráneo estaba ubicado 0.43 m debajo de la superficie del terreno.

El cráneo estaba cubierto por un plato grande, invertido. No hay evidencia de perforación del plato. En gran lasca de obsidiana estaba ubicada encima de la vasija, en el lado suroeste. Una segunda vasija, una olla, estaba ubicado al lado del brazo izquierdo.

Huesos humanos recuperados incluyen fragmentos del cráneo (incluyendo el mayoría de los dientes), los humeros, los radios, los cubitos, los fémures, los tibias, los perones, huesos de los pies, las clavículas y las costillas. El esqueleto corresponde a un adulto. Un análisis completo es necesario para determinar la edad precisa, el sexo, y la evidencia de patología del individuo.

## **LA LAGUNA**

La Laguna es un complejo de montículos, aparentemente residencial, ubicado 1.46 km al noreste de Rancho Búfalo y 1.76 km al noroeste del sitio de Flores Magón. Se recibió su nombre gracias a su vista sobre una laguna ubicada 200 m al sur. Los montículos de La Laguna no

pueden ser entendidos como un sitio en sí. Al contrario, en los alrededores de los montículos mapeados se encuentra varias agrupaciones de estructuras residenciales, y no es posible decir con seguridad que es el epicentro del sitio. Además es posible que el sitio de La Laguna y las otras estructuras cercanas representen el asentamiento rural que pertenece al sitio de Flores Magón.

### **Operación LL - 1**

Operación 1 consistió de la limpieza de un saqueo en unos de los edificios de La Laguna con el objetivo a recuperar una muestra de cerámica del sitio y documentar el daño al edificio (Figs. 2.18, 2.19). Después de la investigación, el pozo estaba relleno con las piedras quitadas por los saqueadores.

#### *LL-1A-1 y LL-1A-2*

Unidades 1 y 2 estaban contiguas y incluyeron el gran parte del pozo hizo por los saqueadores (Fig. 2.19). Unidad 1 medió 1.0 x 1.0 m. Unidad 2 medió 1.75 x 1.00 m. Cada unidad solo tenían un lote que correspondió a la limpieza de piedras perturbados por los saqueadores. Mesclado con las piedras estaba tierra del color café (7.5 YR 5/3). Después de la investigación, no había evidencia que los saqueadores encontraron un rasgo cultural (escondite o entierro). Aparentemente, ellos solo perturbaron el relleno de la estructura y en el perfil hay evidencia de solo un fase de construcción. Sin embargo, es posible que otros rasgos o pisos existen debajo del nivel de la estructura perturbado por los saqueadores. Había pocos materiales recuperados, incluyendo tiestos, lascas de pedernal, y una concha.

### **CONCLUSIONES**

Parece que la ocupación de La Laguna pertenece mayormente al Clásico tardío. En Rancho Bufalo, la presencia escasa de cerámica del Clásico tardío en las capas superficiales de la Estructura D5-5 indica una ocupación mínima durante el segundo parte del primer milenio d.C. Sin embargo, la evidencia es fuerte que la cerámica dentro del relleno de la Estructura D5-3 indica que el edificio y su tumba pertenecen mayormente al periodo Preclásico Terminal, igual como los otros edificios mayores del sitio. La presencia de una vasija del Clásico tardío dentro de la tumba sugiere que dentro del Siglo VII o VIII d.C. los habitantes de la región abrieron la tumba, dejando tal vasija como una ofrenda. Es muy probable que la misma gente sacaron la

mayoría de los artefactos originales de la tumba, y dejaron también las orejeras. Es posible que la aguja de hueso encontrada en la tumba pertenezca al entierro original, siendo parte del bulto funerario del difunto.

Además que la tumba, el descubrimiento por los residentes actuales de un entierro al lado sureste de la Estructura D5-3 que contuvo un plato lleno de navajas de obsidiana y siete hachitas de piedra verde sugiere patrones de ritual común en el periodo Preclásico. Aunque los otros artefactos del entierro ya están desaparecidos, los habitantes de Rancho Búfalo entregaron las hachitas a los miembros del proyecto, y se encuentra tales artefactos ahora guardado en la bodega del museo de Palenque.



Figura 2.1. Ubicación de Rancho Búfalo, Chiapas (imagen por C. Golden).

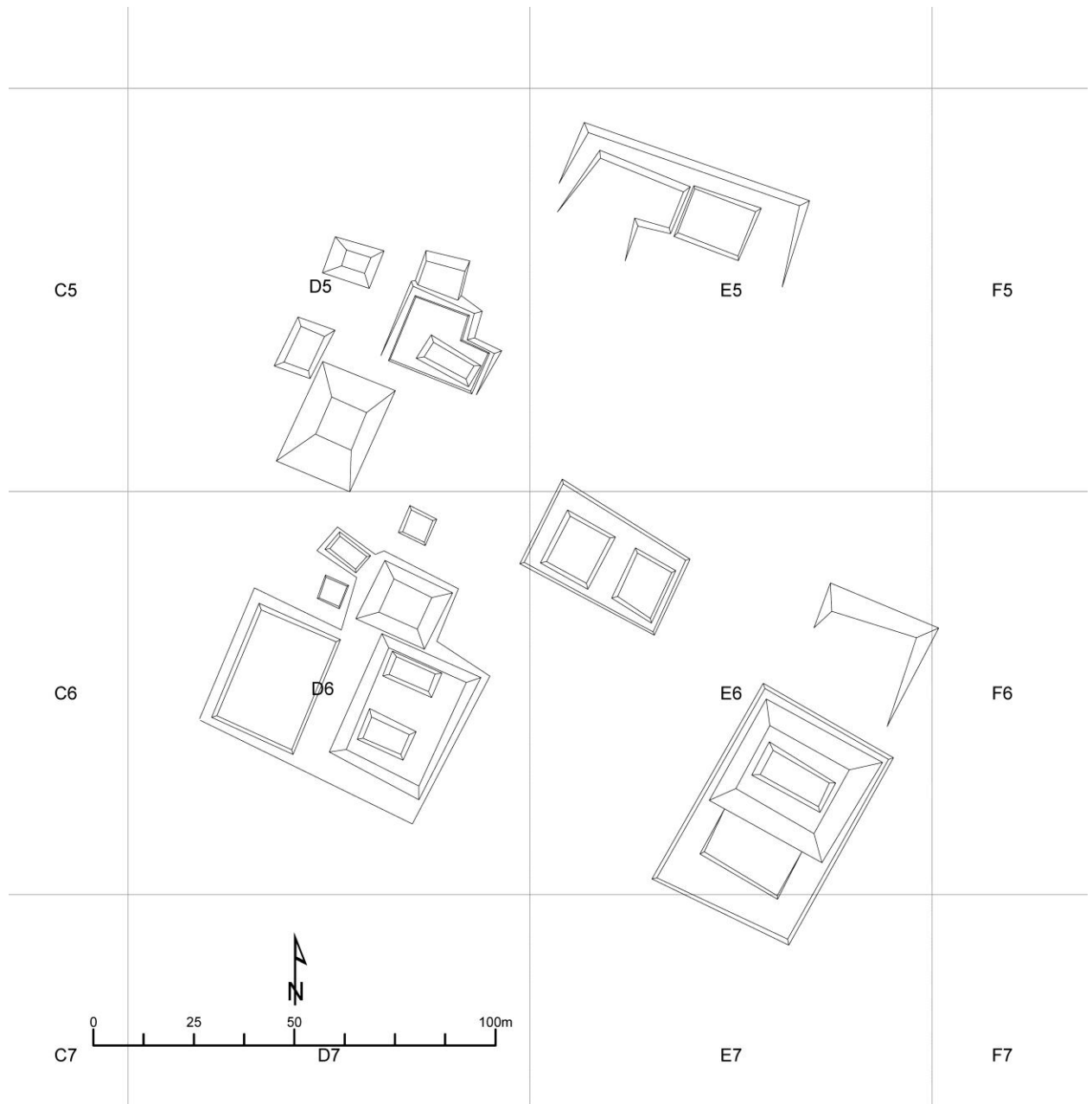


Figura 2.3. Mapa de Rancho Búfalo, Chiapas (mapa por J. Dobereiner y C. Golden).

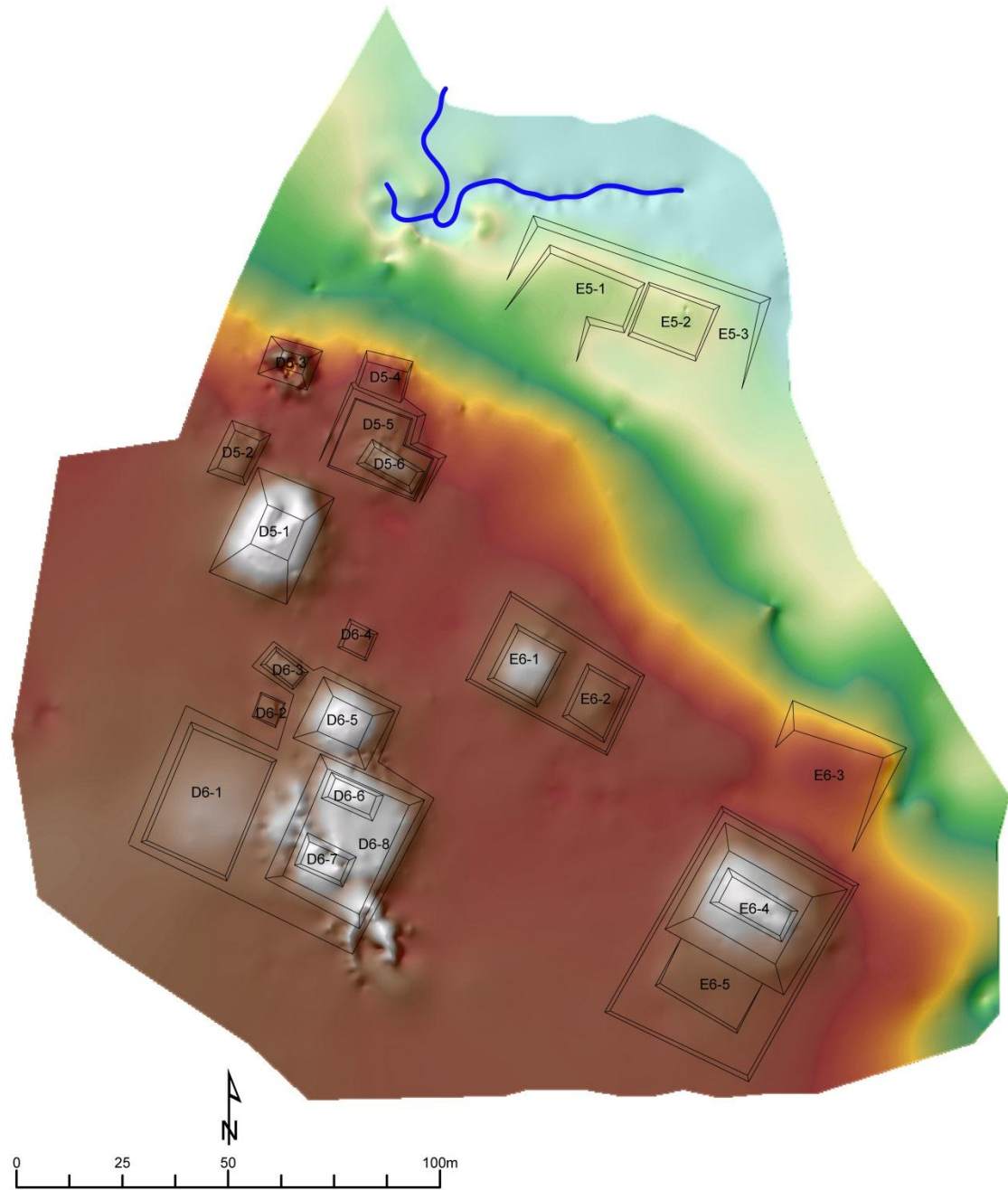


Figura 2.3. Mapa de Rancho Bufalo con elevación (mapa por J. Dobereiner and C. Golden)

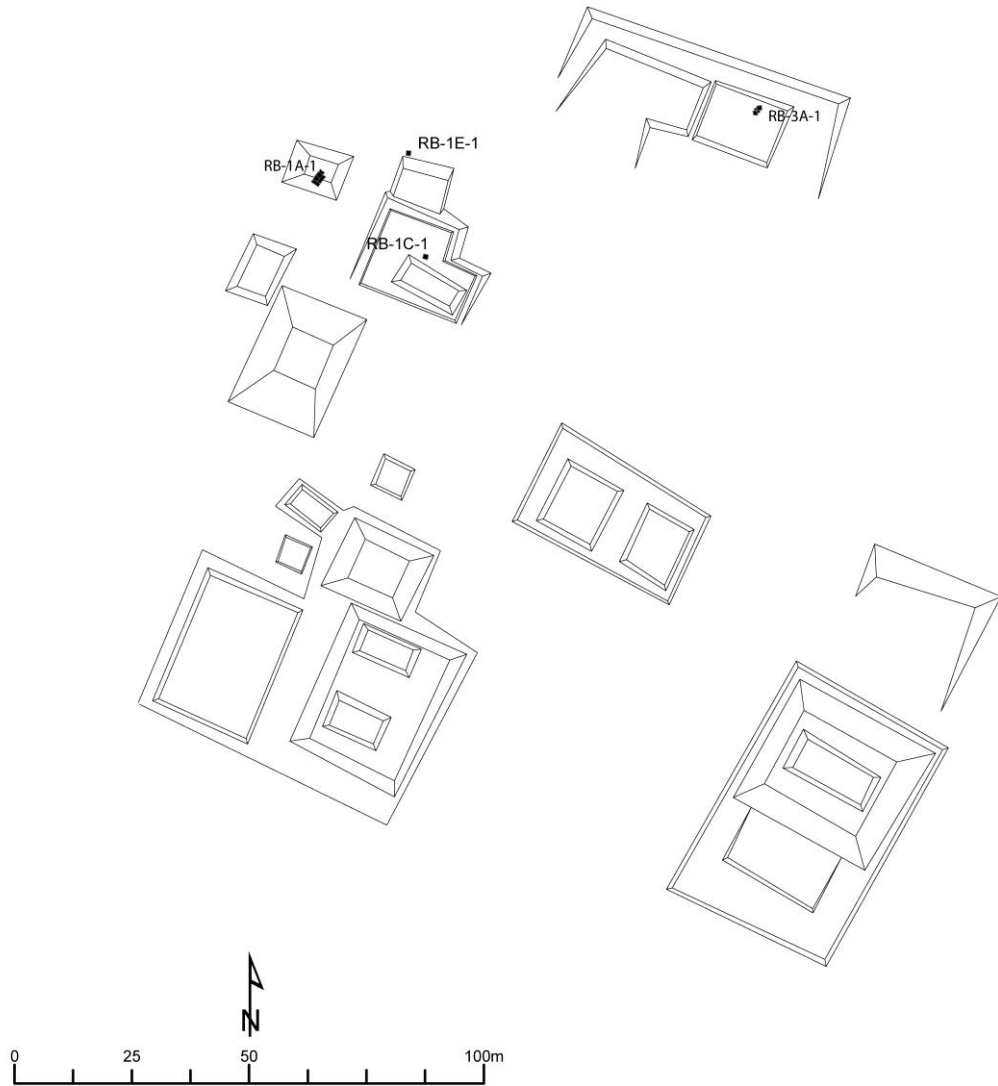


Figura 2.4. Ubicación de operaciones en Rancho Búfalo (mapa por J. Dobereiner y C. Golden)

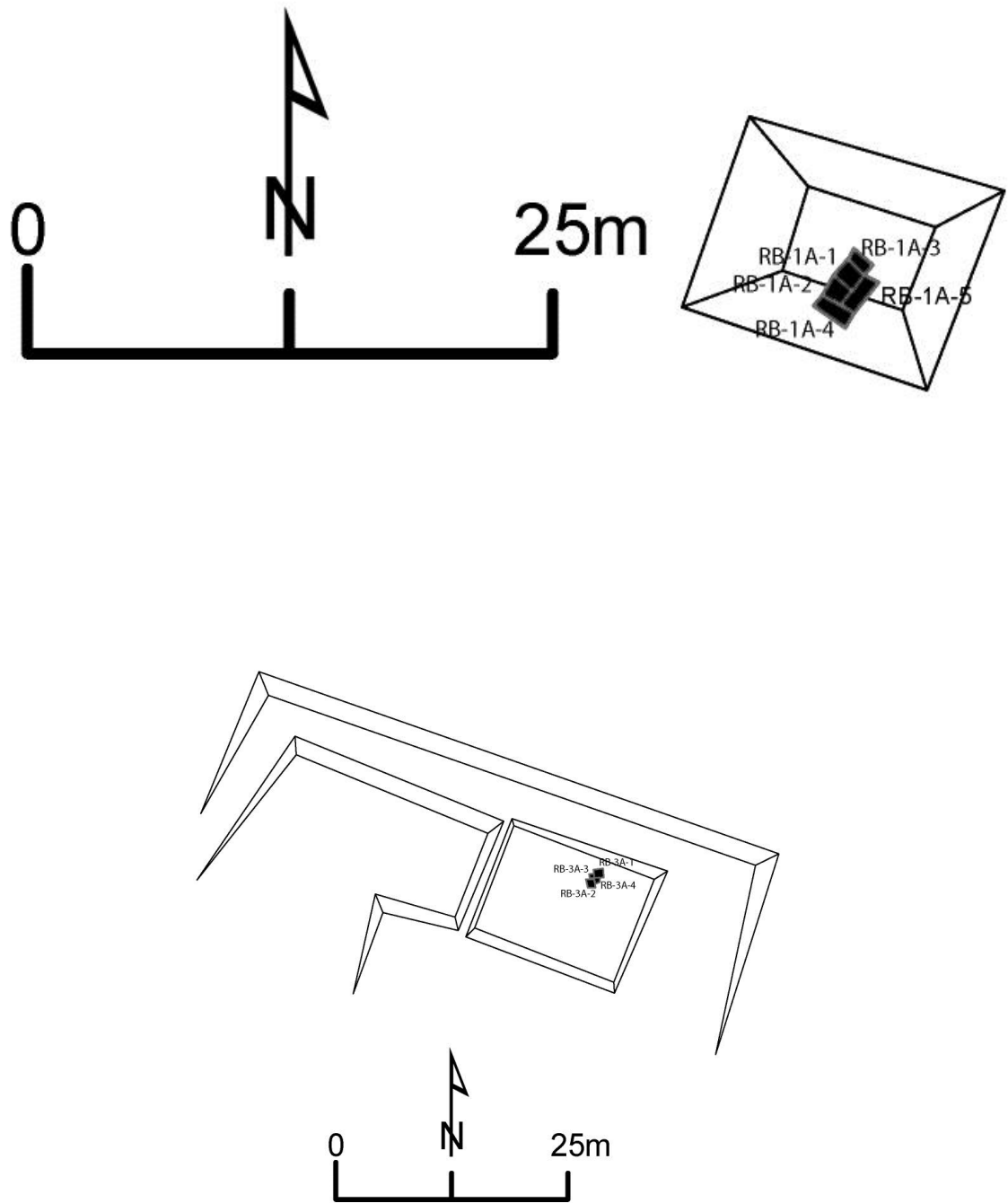


Figura 2.5. Ubicación de unidades de excavación en Rancho Bufalo (mapa por J. Dobereiner y C. Golden)

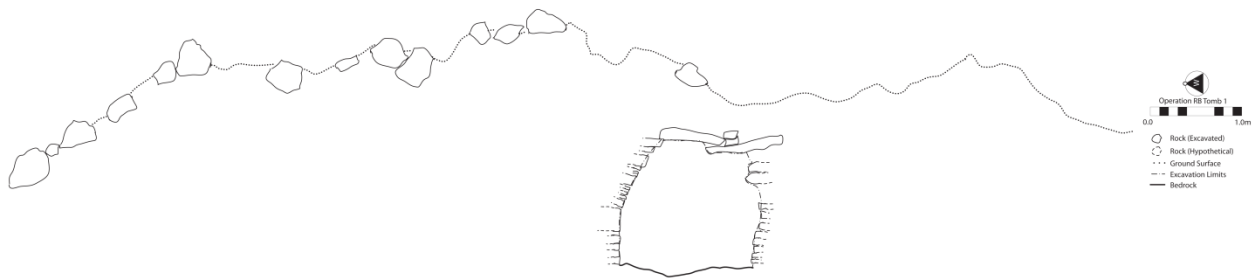


Figura 2.6. Perfil Este-Oeste de Estructura D5-1 (Op. 1A), incluyendo Entierro 1 (J. Dobereiner).

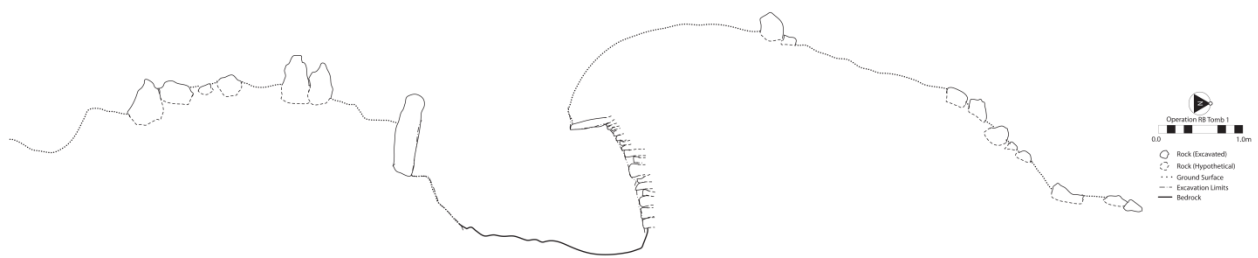


Figura 2.7. Perfil Norte-Sur de Estructura D5-1 (Op. 1A), incluyendo Entierro 1 (J. Dobereiner).

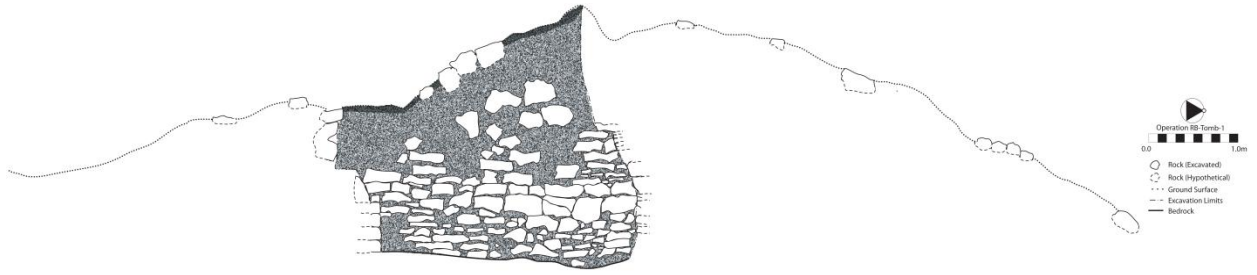


Figura 2.8. Perfil Oeste de Entierro 1 (RB-1A-1,2,3,4) (J. Dobereiner).





Figura 2.10. Vasija cilíndrica, entierro 1 (photo por C. Golden).



Figura 2.11. Orejas de concha y aguja de hueso, Entierro 1 (photo por A. Scherer).



Figura 2.12. Azuelas o cinceles de piedra verde (posiblemente serpentina), encontrados por habitantes locales del sitio en un entierro perturbado (foto por C. Golden).

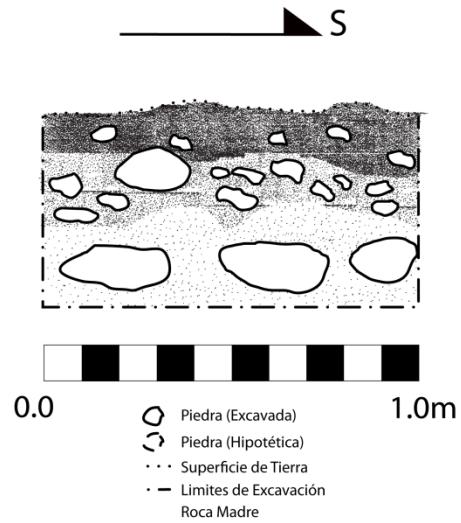


Figura 2.13. Perfil este de unidad RB-1C-1 (dibujo por A. Méndez y A. Scherer).

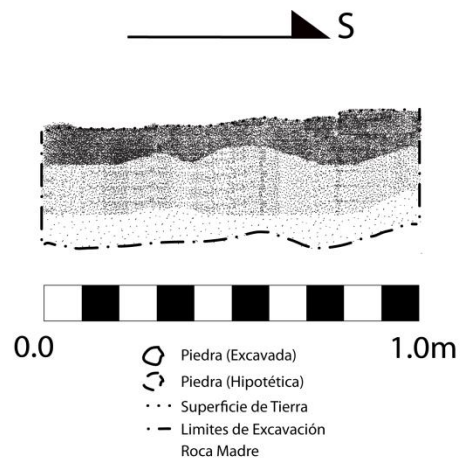


Figura 2.14. Perfil este de unidad RB-1E-1 (dibujo por A. Méndez y A. Scherer).

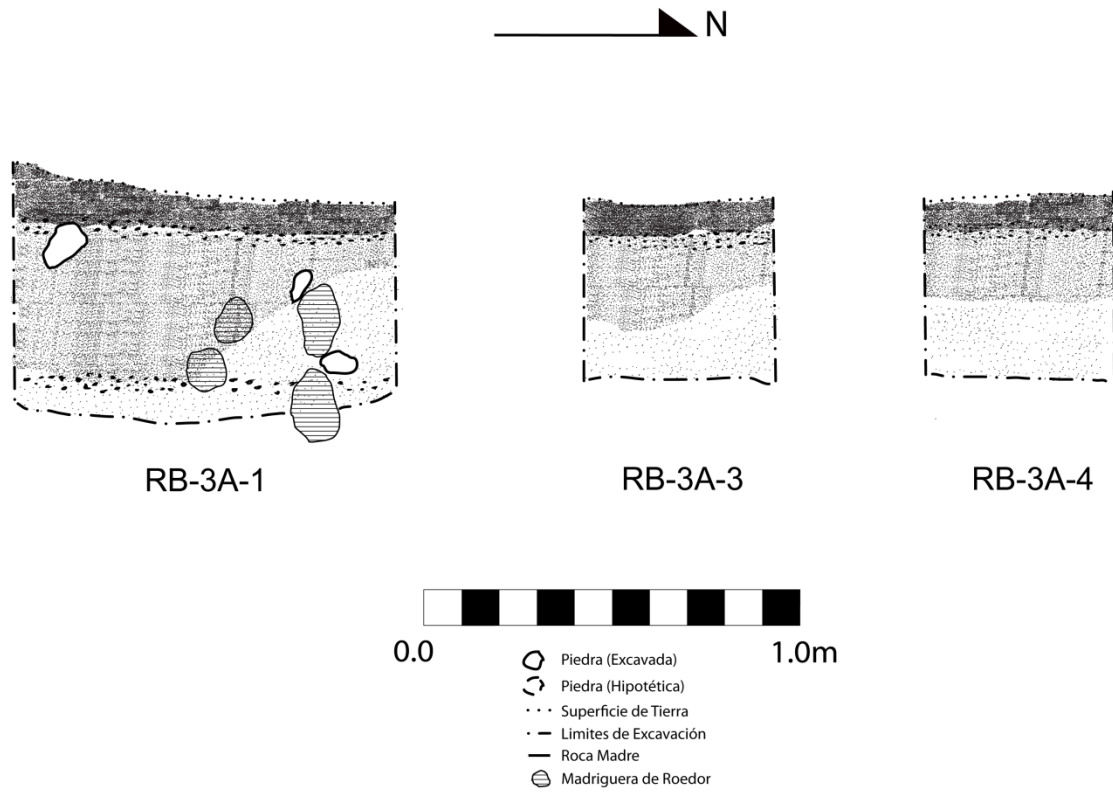


Figure 2.15. Perfil oeste de Unidades RB-3A-1 , -3, y -4 (dibujo por A. Scherer y C. Golden).

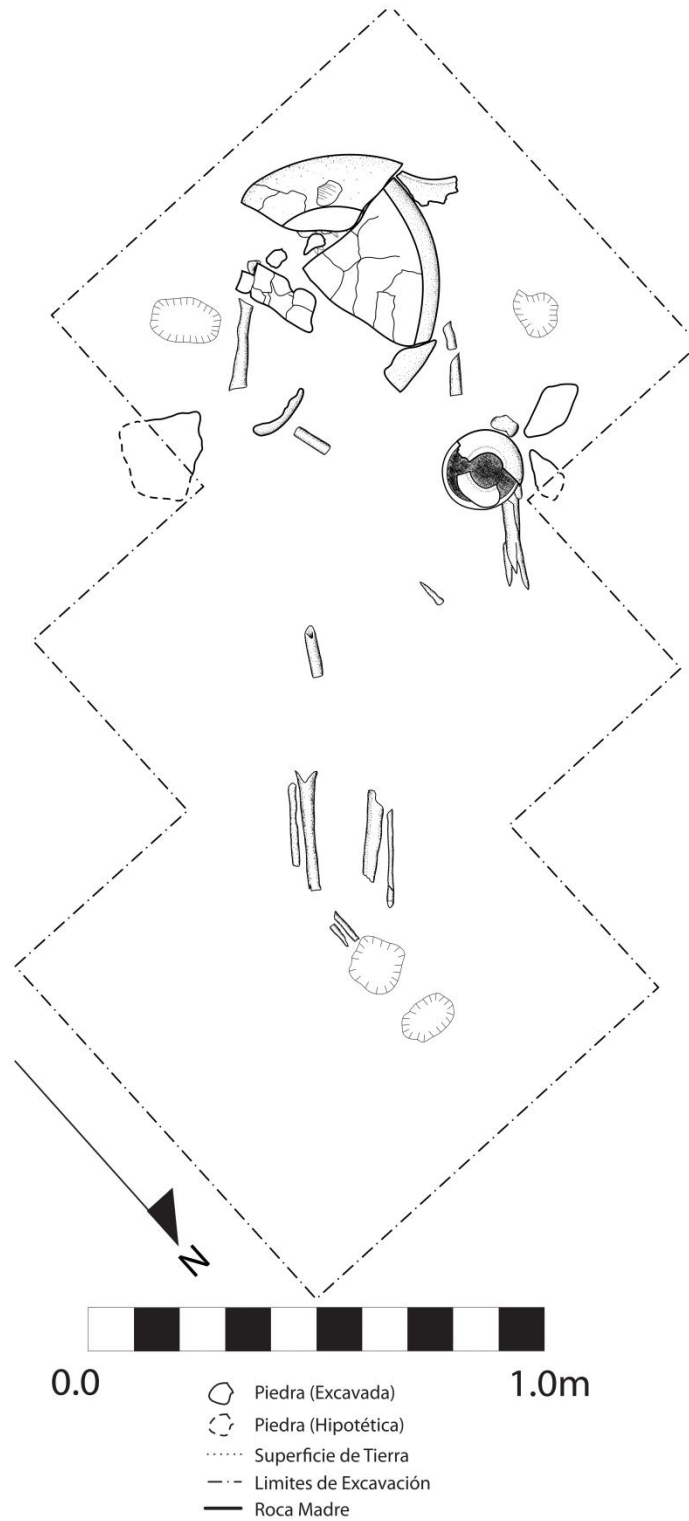


Figure 2.16. Entierro 2 (RB-3A-1,2,3,4,-3) (dibujo por A. Scherer y C. Golden).



Figura 2.17. Ubicación de La Laguna, Chiapas. Ubicado directamente al norte de la comunidad actual de Flores Magón (imagen por C. Golden).

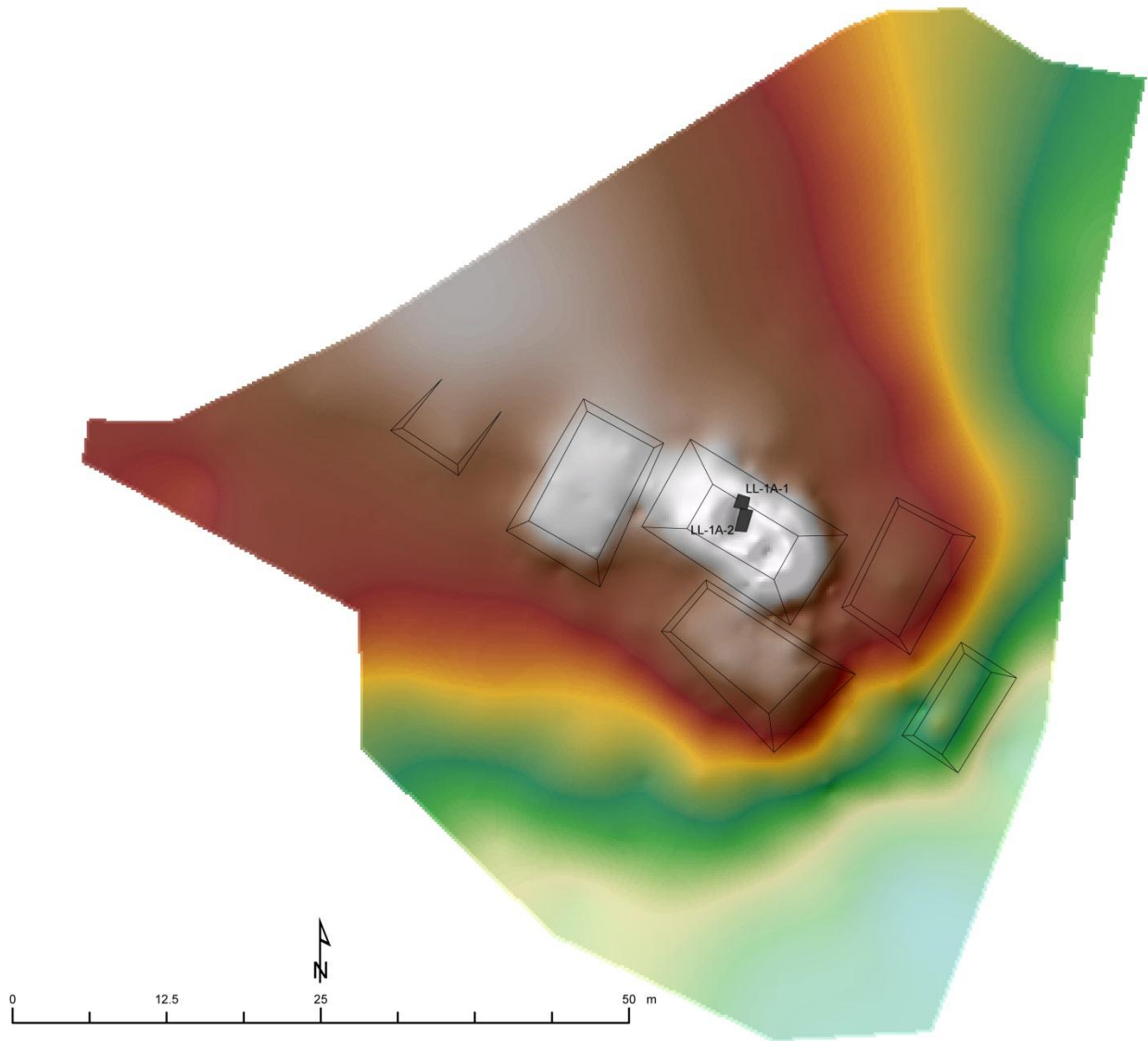


Figura 2.18. Mapa topografica del sitio La Laguna, Chiapas mostrando la ubicación de la investigaciones de las trincheras de saqueadores (mapa por C. Golden y J. Dobereiner).

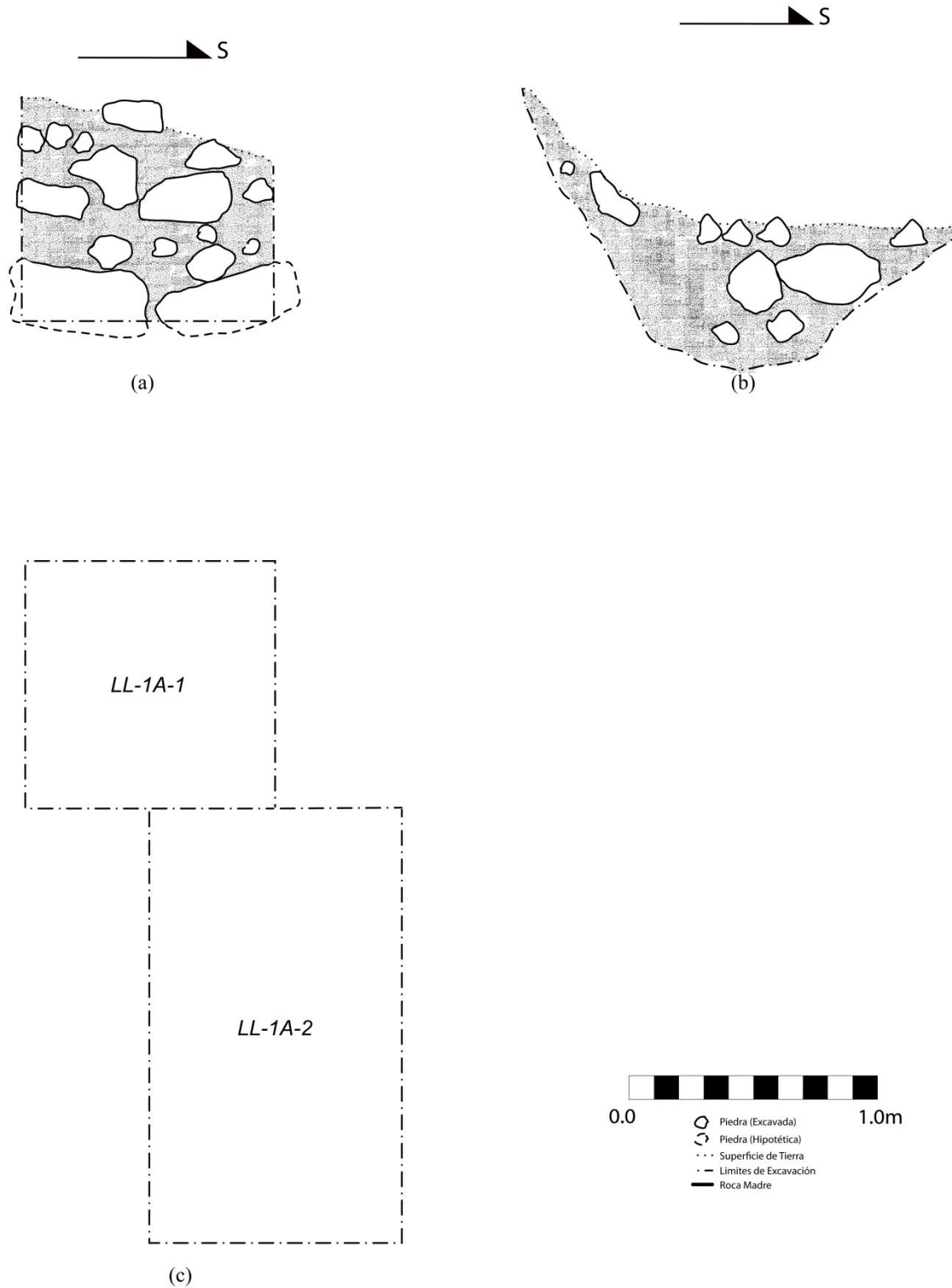


Figure 2.19. Plan and profiles of Operation LL-1A-1 and -2 (drawing by A. Scherer).

## **CAPITULO 3**

### **FLORES MAGON**

Charles Golden, Andrew K. Scherer, Alan Méndez Cab, y Jeffrey Dobereiner

#### **Introducción**

Flores Magón es un sitio arqueológico ubicado al límite sureste del pueblo actual de Ricardo Flores Magón, con la zona investigada mayormente al lado noreste de la carretera dentro del rancho Linda Vista, propiedad del Sr. Concepción Rivera Córdoba, con otro parte al lado suroeste de la carretera dentro de la propiedad del Sr. Gustavo Ramírez Montiel. Según los pobladores de la comunidad moderna los restos visibles del sitio antiguo representan un solo parte de lo que originalmente existía. Durante la construcción de la carretera las maquinas destruyeron completamente los edificios más grandes, usando su relleno para la construcción del camino. La subsecuente construcción de casas y talleres en el pueblo se perdió más del sitio. Sin embargo, queda suficiente del sitio para entender en gran parte el plan de asentamiento antiguo, y hay posibilidades de un proyecto de rescate importante en colaboración con los pobladores modernos quienes son muy abiertos a la idea.

#### **Operación FM - 1**

Operación 1 corresponde a las investigaciones del grupo arquitectónico E5 en la mapa del sitio (Figs. 3.2, 3.3, y 3.4). Operación FM-1A corresponde a la colección de tios de la superficie de E5-1. Operación FM-1B estaba la limpieza de un saqueo en la esquina noreste de Estructura E5-2. Operación FM-1C corresponde a investigaciones en el frente E5-2.

##### *FM-1B-1*

Unidad 1 corresponde a la limpieza del saqueo de E5-2 y mide 1.0 x 1.0 m (Fig 3.5). El lote consistió de piedras mezcladas con tierra de color café (7.5 YR 3/2). Por el fin de la limpieza, la unidad midió 76 cm de profundidad debajo del dato (la esquina noroeste de la unidad). Materiales recuperados incluyen una gran cantidad de tios, lascas de pedernal, obsidiana, un fragmento de cuarzo, y concha.

##### *FM-1C-1*

Unidad 1 corresponde a una 1.0 x 1.0 m pozo en el frente de la escalinata de Estructura EF-2. El primer lote correspondió el nivel de humus negro (7.5 YR 2.5/1) y tenía una profundidad de 0.11 m desde el dato (la esquina noroeste de la unidad). Pocos tiestos, lascas de pedernal, y obsidiana estaban recuperados.

Lote 2 corresponde a un nivel de piedras pequeñas (~ 10 cm en diámetro) mezclado con tierra de color café oscuro (7.5 YR 3/2). El nivel de piedra es aparentemente el piso del patio. El lote terminó con una profundidad de 37 cm debajo del dato. Materiales recuperados incluyen tiestos, lascas de pedernal, y fragmentos de obsidiana.

Lote 3 corresponde a un nivel de tierra café (7.5 YR 5/4) mezclado con la roca madre deteriorada debajo del piso del patio. El lote terminó con la roca madre a una profundidad de 39 cm. Pocos tiestos estaban recuperados en lote 3.

### **Operación FM - 2**

Operación 2 corresponde a la recolección de cerámica de la superficie de estructuras ubicadas en cuadra D5 de la mapa (Figure 3.2).

### **Operación FM - 3**

Operación 3 corresponde a una excavación en el patio entre Estructuras F5-9 y F5-10.

#### *FM-3A-1*

La unidad midió 1.0 x 1.0 m (Fig. 3.6). El primer nivel correspondió al nivel del humus negro (10 YR 2/1). El lote terminó desde una profundidad de 9 cm debajo del dato (la esquina noroeste de la unidad). Materiales recuperados incluyen tiestos, lascas de pedernal, y obsidiana.

Lote 2 corresponde a un nivel de derrumbe de Estructuras F5-9 y F5-10 mesclado con tierra de color café oscuro (10 YR 3/3). El lote terminó a una profundidad de 20 cm con el piso del patio (lote 3). Materiales recuperados incluyen tiestos, lascas de pedernal, y obsidiana.

Lote 3 es el piso del patio. El piso consistió de piedras pequeñas fragmentadas y terminó con la roca madre en una profundidad de 28 cm debajo el dato. Materiales recuperados incluyen tiestos, lascas de pedernal, y obsidiana.

### **Operación FM - 4**

Operación 4 corresponde a investigaciones ubicado en cuadra F5, el frente del plataforma grande del parte del sito que esta mapeado.

#### *FM-4A-1*

La unidad medió 1.0 x 1.0 m (Fig. 3.7). El primer nivel correspondió al nivel de humus de color café oscuro (7.5 YR 3/3). El lote terminó desde 19 cm debajo del dato (la esquina noroeste de la unidad). Pocos tiestos y lascas de pedernal estaban recuperados.

El segundo lote correspondió a un nivel de barro café (7.5 YR 4/3). Ningunas materiales recuperados estaban recuperados. El lote estaban terminado desde 25 cm debajo el dato por la falta de materiales y la dificultad de excavación.

### **Operación FM - 5**

Operación 5 estaba la limpieza de un saqueo en Estructura E5-3.

#### *FM-5A-1*

La unidad medió 1.0 x 1.0 m (Fig. 3.8). La matriz consistió de piedra perturbado por los saqueadores mezclada con tierra café oscura (7.5 YR 3/3). El lote continuo hasta una profundidad de 0.51 m desde el dato (la esquina noroeste de la unidad, debajo el nivel del superficie del montículo) cuando las piedras terminaron. Las piedras en los primeros niveles eran anchas y planas y probablemente corresponde a un piso del edificio. Las piedras más abajo estaban más irregulares. Materiales recuperados incluyen tiestos, un fragmento de un incensario, lascas de pedernal, concha y una piedra pequeña de pómez.

Lote 2 consistió de un nivel de piedras pequeñas, presumiblemente un piso enterrado debajo del edificio. Debajo el nivel de piedras se encontró un nivel de tierra natural (color café oscuro; 7.5 YR 3/3). No materiales culturales estaban recuperados de este lote. Por ese razón, el lote estaba terminado 0.60 m debajo del dato.

### **Operación FM - 6**

Operación 6 consiste de investigaciones en la cuadra E6 de la mapa del sitio (Fig. 3.2, 3.3, 3.4).

### *FM-6A-1*

La unidad estaba ubicada entre las Estructuras E6-2 y E6-3 y mide 1.0 x 1.0 m (Fig. 3.9). El primer lote correspondió al nivel del humus café oscuro (7.5 YR 3/4). El lote terminó desde una profundidad de 0.14 m debajo del dato (la esquina noroeste de la unidad). Materiales recuperados incluyen pocos tiestos y fragmentos de pedernal.

Lote 2 consiste de tierra café (7.5 YR 4/4), mezclado con carbón (probablemente de actividades recientes), pero con pocas piedras. También hay piezas de barro quemado pero no es seguro si estos son de bajareque o estaban hechos naturalmente. El lote continuó hasta un cambio de color de la tierra en una profundidad de 0.39 m debajo del dato. Materiales incluyen pocos tiestos y lascas de pedernal.

Lote 3 consiste de una continuación de tierra café oscuro (7.5 YR 4/6) mezclado con carbón. Pocos tiestos estaban recuperados. El lote terminó a una profundidad de 0.63 m por la falta de material cultural.

### **Conclusiones**

Es obvio que la zona mapeada de Flores Magón representa una sola parte de lo que era un sitio importante en el paisaje de la región durante el periodo Clásico. Aunque el sitio resultó muy dañado con la construcción de la carretera, Flores Magón todavía mantiene suficiente arquitectura que valdría la pena montar un proyecto de rescate con la esperanza de obtener una idea del papel político y económico de sus gobernadores y pobladores. El patrón arquitectónico del sector noreste del sitio, especialmente el sector F5 del mapa, nos sugiere la posibilidad de que el sitio funcionó como un centro de mercado tal vez aprovechando su ubicación en la zona fronteriza entre los reinos de Palenque, Chinikihá y Piedras Negras entre otros. Un reconocimiento muy breve en los altos arriba de la planada indica que las colinas circundantes mantienen terrazas habitacionales e incluso edificios con restos de cuartos abovedados (Fig. 3.10). Esperamos seguir con las investigaciones en Flores Magón en el futuro.

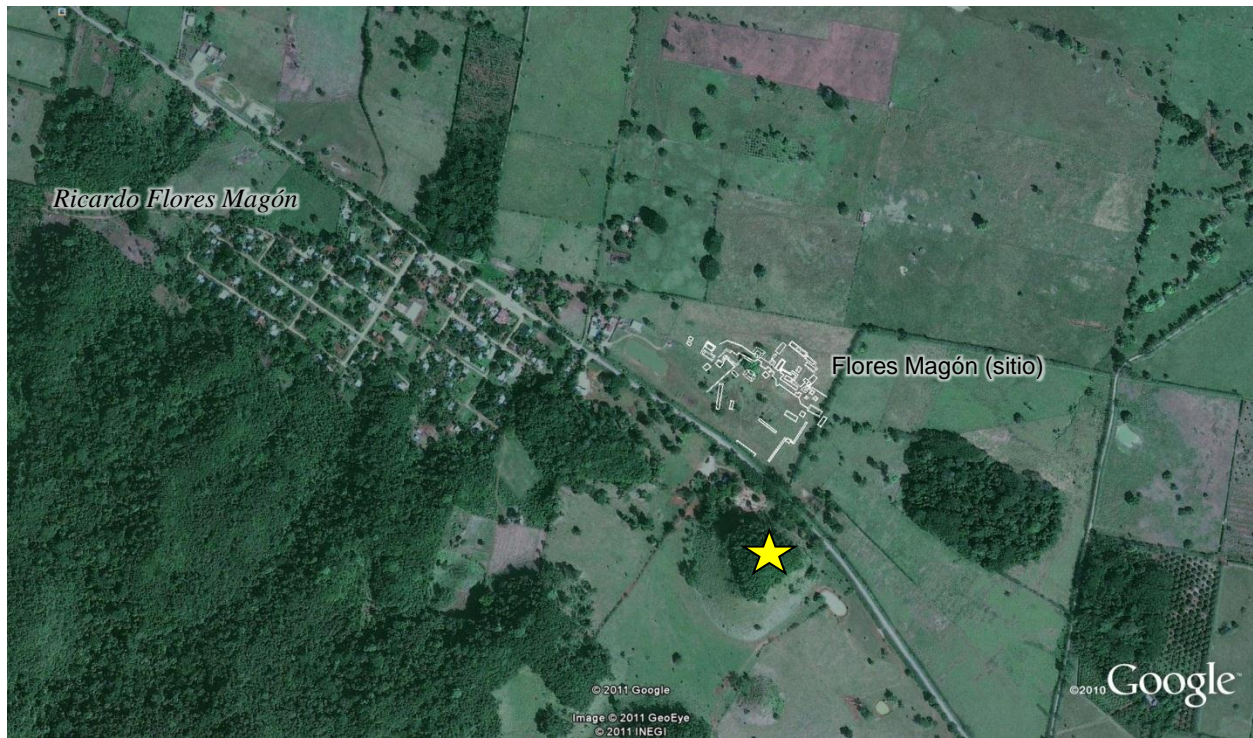


Figura 3.1. Ubicación de Flores Magón, Chiapas; la estrella indica la ubicación del cuarto abovedado que aparece en la Figura 3.10 (imagen de Google Earth).

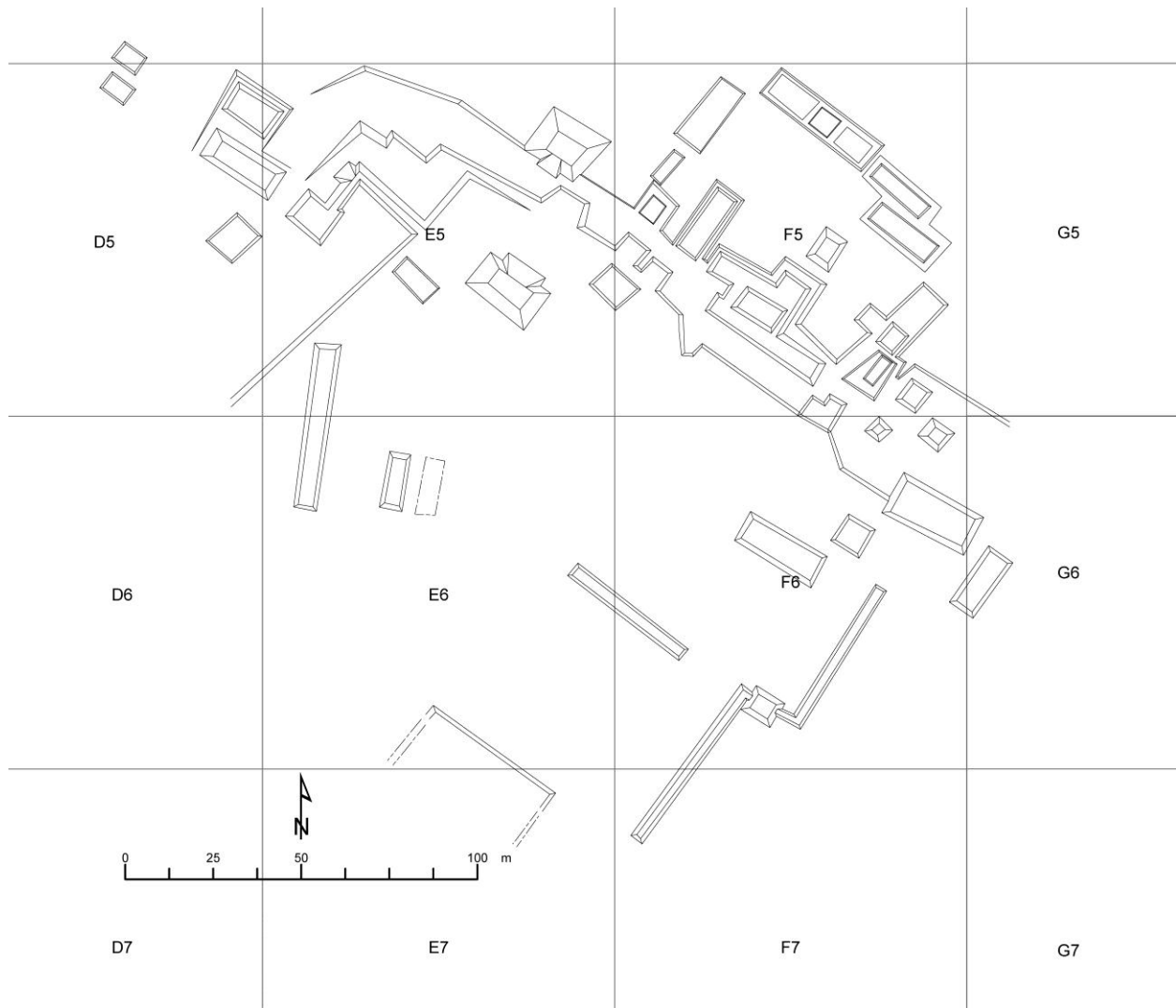


Figura 3.2. Mapa de Flores Magón, Chiapas (mapa por J. Dobereiner, C. Golden, y A. Scherer).

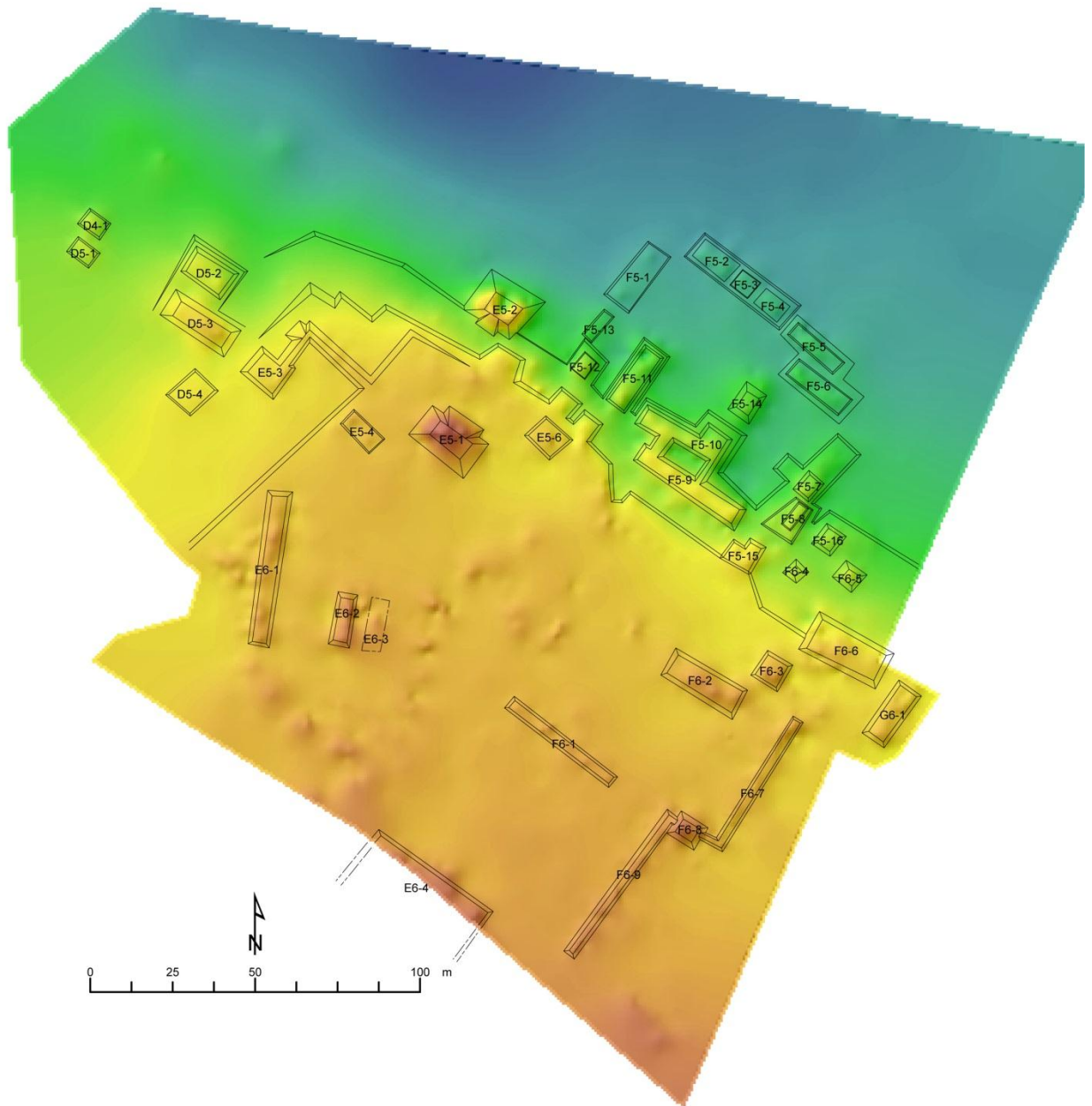


Figura 3.3. Mapa de Flores Magón, Chiapas con elevación (mapa por J. Dobereiner, C. Golden, y A. Scherer).

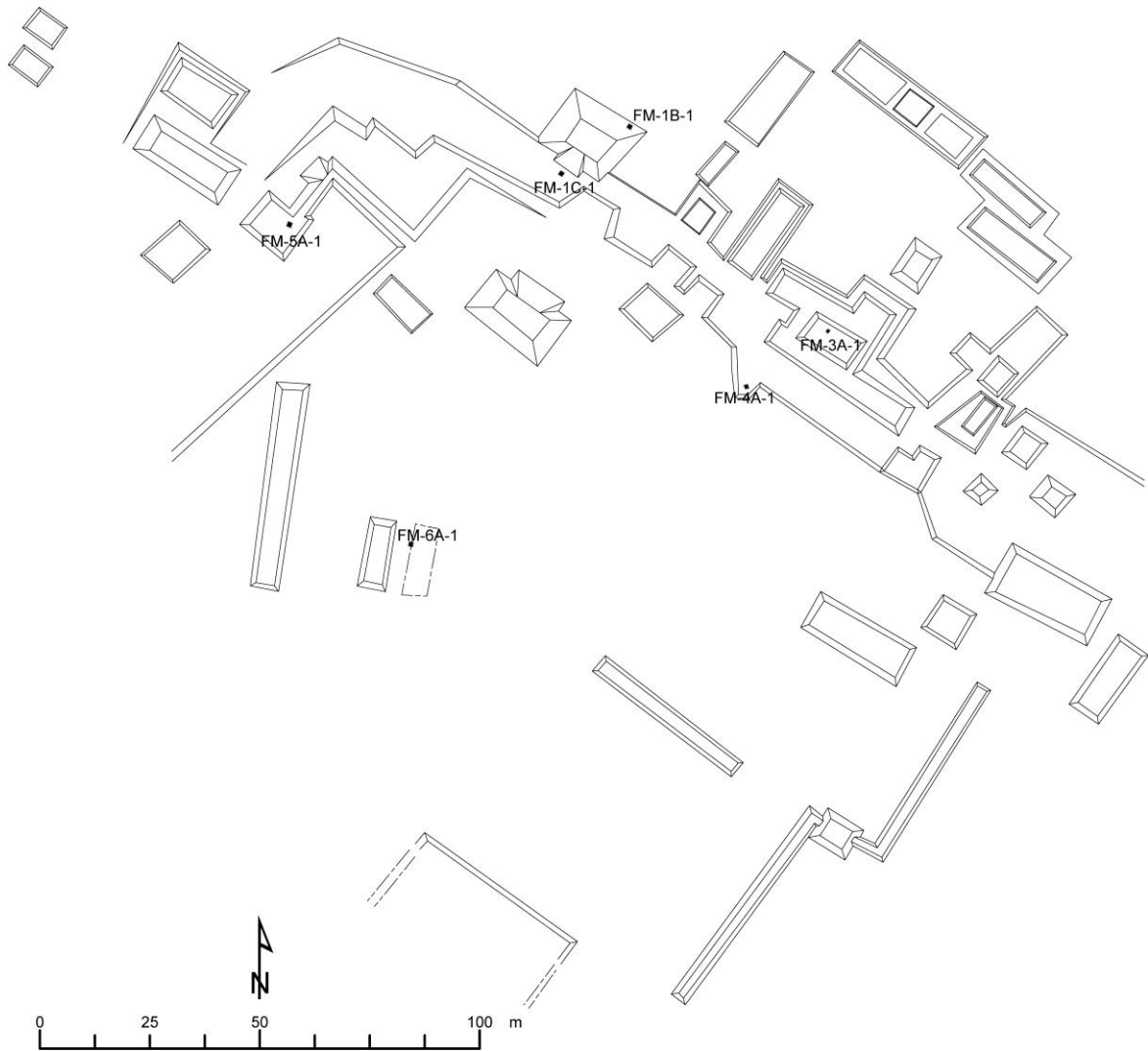


Figura 3.4. Mapa de Flores Magón, Chiapas con la ubicación de la operaciones de investigación (mapa por J. Dobereiner, C. Golden, y A. Scherer).

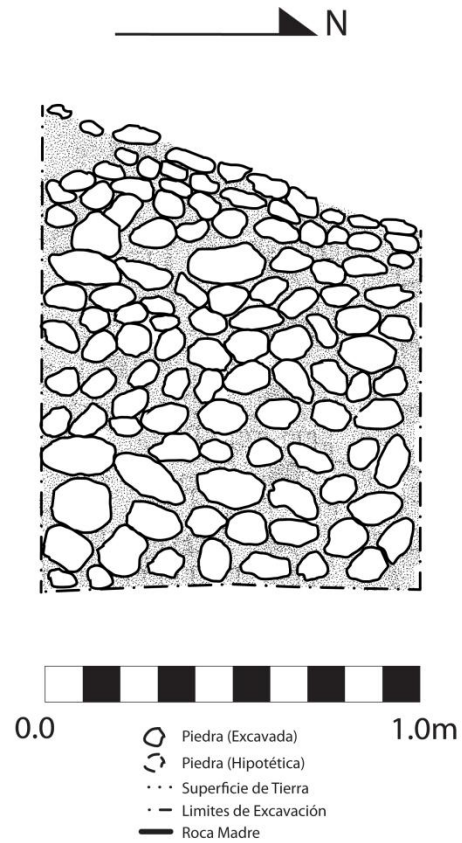


Figura 3.5. Perfil oeste de unidad FM-1B-1 (dibujo por A. Méndez y A. Scherer).

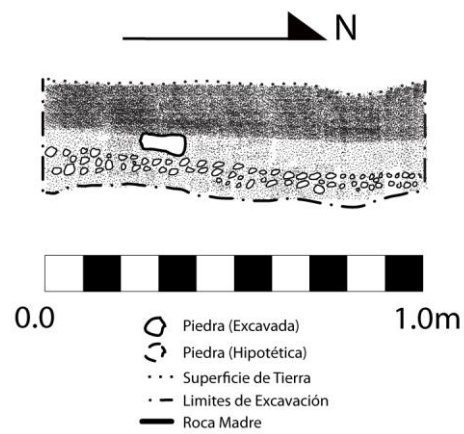


Figura 3.6. Perfil oeste de unidad FM-3A-1 (dibujo por A. Scherer).

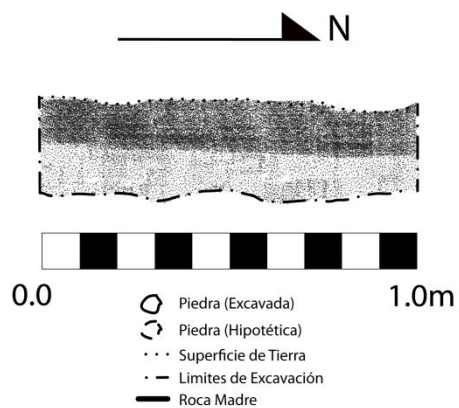


Figura 3.7. Perfil oeste de unidad FM-4A-1 (dibujo por A. Méndez y A. Scherer).

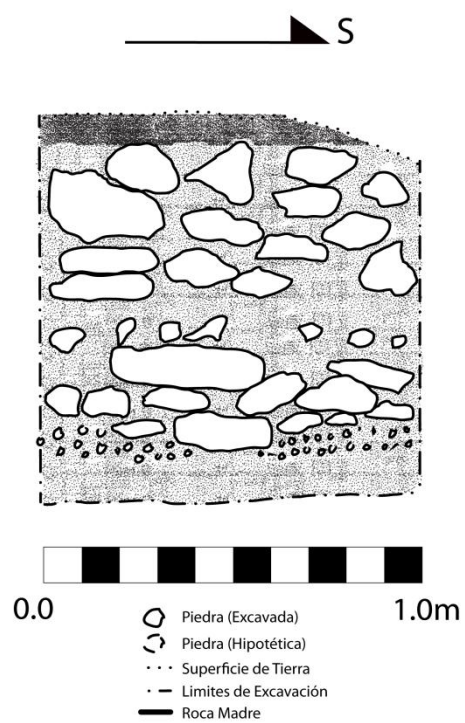


Figura 3.8. Perfil este de unidad FM-5A-1 (dibujo por A. Scherer).

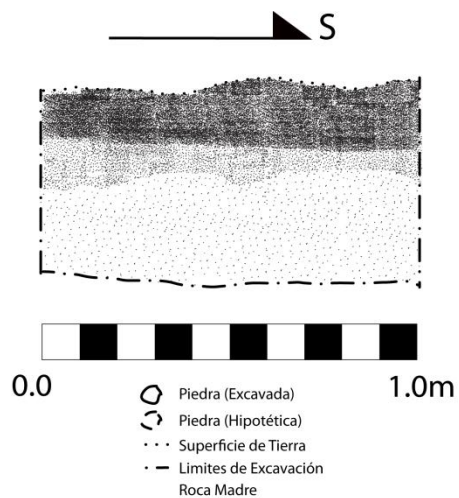


Figura 3.9. Perfil este de unidad FM-6A-1 (dibujo por A. Méndez y A. Scherer).



Figure 3.10. Cuarto abovedado y saqueado en la cumbre de una colina arriba de la zona mapeada de Flores Magón (ver estrella, Fig. 3.1).

## CAPITULO 4

### LA MAR

Andrew K. Scherer, Charles Golden, Jeffrey Dobereiner, y Alan Méndez Cab

#### **Introducción**

Teobert Maler nombró estas ruinas por el campamento maderero La Mar durante sus exploraciones de la región en los años finales del siglo XIX (Maler 1903). Durante su breve visita, Maler documentó dos estelas en el sitio y dos más han sido recuperadas desde entonces, las cuales han sido atribuidas al sitio. El desciframiento de estos cuatro monumentos, como también de otra escultura proveniente de otra parte de la región acentúa la importancia geopolítica de La Mar durante el periodo Clásico (Martin y Grube 2008; Zender 2002). Desde la época de Maler, ningún arqueólogo había conducido ninguna investigación seria en La Mar. Sin embargo, la primera vez que visitamos La Mar el administrador del rancho, sin saber del desinterés del señor Nieto en colaborar con los arqueólogos, nos permitió entrar brevemente al núcleo del sitio y sacar fotografías, confirmando de esta manera la relocalización del sitio La Mar de Maler.

Tal como Maler lo reporta, el centro ceremonial de La Mar consiste en una plaza delimitada por dos pirámides gemelas al este y oeste y un montículo largo y bajo al norte (Figura 36). La plaza central todavía está cubierta por bosque. Se estimó la altura de cada pirámide en 5-7 m. Al norte de la plaza central está una serie de montículos grandes, visibles desde la carretera (Figura 37). La casa del rancho está construida sobre uno de los montículos.

Afortunadamente, una porción significativa de La Mar también está situada al lado este de la carretera y los dos dueños del terreno se mostraron complacientes y expresaron su interés no sólo en nuestro trabajo, sino que también en la preservación de las porciones de La Mar que están localizadas en sus tierras. Como resultado, tuvimos la oportunidad de levantar con estación total (Figura 38) 10 hectáreas de La Mar y hacer un levantamiento casi completo de 80 hectáreas del sitio con GPS. Las 30 a 40 hectáreas del núcleo del sitio están localizadas en la propiedad del señor Nieto.

#### **Operación LM - 1**

Operación 1 consiste de investigaciones asociados con la cuadra D3 de la mapa del sitio (Fig. 4.4, 4.5, 4.6).

#### *LM-1A*

Este unidad estaba ubicado al sur de Estructura D3-2 y medió 1.0 x 1.0 m (Fig. 4.7). El primer lote consistió del nivel del humus de color gris muy oscuro (10 YR 3/1) y terminó a la profundidad de 0.18 m debajo el dato (la esquina noroeste de la unidad). Pocos materiales estaban recuperados, incluyen tiestos y una lasca de caliza.

Lote 2 consistió de tierra café oscuro (10 YR 3/3) mezclado con piedras con posiblemente constituyó un piso. El lote terminó con una profundidad de 0.28 m. Pocos tiestos y lascas estaban recuperados.

Lote 3 consistió de tierra oscuro café (10 YR 3/3) y piedras grandes. El lote terminó con una profundidad de 0.39 m cuando no estaba posible a continuar por el tamaño grande de las piedras (Fig. 4.8). Más materiales estaban recuperados que los lotes antes e incluyen tiestos, concha, una lasca de obsidiana, y una punta de una lanza.

#### **Operación LM – 2**

Operación 2 consiste de investigaciones asociados con la cuadra E2 de la mapa del sitio (Figs. 4.4, 4.5, 4.6).

#### *LM-2A-1*

Unidad 1 estaba ubicado al noroeste de Estructura E3-1 y medió 1.0 x 1.0 m (Fig. 4.10). El primer lote consistió del nivel del humus café muy oscuro (10 YR 2/2) y terminó con una profundidad de 0.19 m debajo el dato (la esquina noroeste de la unidad). Este lote no contuvo materiales culturales.

Lote 2 consistió de tierra café oscuro (10 YR 3/3) y terminó con una profundidad de 0.30 m. Materiales recuperados incluyen tres tiestos y una lasca de pedernal.

Lote 3 consistió de tierra café oscuro (10 YR 3/3) mezclado con piedras. Pocos materiales culturales estaban recuperados (tiestos y lascas de pedernal) y el lote estaba cerrado a una profundidad de 0.33 m.

### **Operación LM - 3**

Operación 3 consiste de investigaciones del grupo arquitectónico ubicado en las cuadras C2 y D2 de la mapa (Figs. 4.4, 4.5, 4.6).

#### *LM-3A-1*

Esta unidad estaba ubicada al sur de la plataforma que tiene Estructuras D2-1 y D2-2 y midió 1.0 x 1.0 m (Fig. 4.11). Lote 1 consistió del nivel del humus negro (10 YR 2/1) y continuó hasta una profundidad de 0.12 m debajo el nivel del dato (la esquina noroeste de la unidad). Materiales recuperados incluyen un tiesto y varias conchas.

El lote 2 consistió de tierra amarillo-café (10 YR 5/4) y continuó hasta una profundidad de 0.28 m donde el color de la tierra se cambia. Pocos materiales culturales estaban recuperados e incluyen tiestos, lascas de pedernal, obsidiana, y concha.

El lote 3 consistió de tierra de color gris-café oscuro (10 YR 3/2) mezclada con piedras. El lote terminó con una profundidad de 0.43 m con la apariencia de piedras muy grandes (Fig. 4.12). Materiales recuperados incluyen tiestos de cerámica, lascas de pedernal, dos piezas de obsidiana, y concha.

### **Operación LM - 4**

Operación 4 consiste de la recuperación de cerámica en la superficie de Estructura D4-1.

### **Operación LM - 5**

Operación 5 consiste de investigaciones en la cuadra B2 de la mapa del sitio (Figs. 4.4, 4.5, 4.6).

#### *LM-5A-1*

Esta unidad estaba ubicada al oriente de Estructura B2-2. Lote 1 consistió del nivel de humus negro (10 YR 2/1) y tenía una profundidad de 0.08 m. No había materiales culturales.

Lote 2 consistió de tierra café oscura (10 YR 3/3), piedras pequeñas (con diámetros de 10 – 20 cm), y poco carbón. El lote tenía una gran cantidad de tiestos cerámicos y también lascas de pedernal y obsidiana.

Lote 3 consistió de tierra café oscuro (7.5 YR 3/3) mezclado con piedras pequeños y grandes. También, este lote contenía una gran cantidad de tiesto. Otros materiales incluyen

lascas de pedernal, y tres fragmentos de obsidiana. El lote estaba cerrado con una profundidad de 0.23 m.

Lote 4 consistió de tierra café oscuro (10 YR 3/4) mezclado con piedras de varios tamaños. Materiales culturales incluyen tiestos, lascas de pedernal, y obsidiana. El lote estaba terminado con una profundidad de 0.59 m cuando lo cambió el color de la tierra.

Lote 5 consistió de tierra café rojo-amarillo (7.5 YR 6/8) inmediatamente encima de la roca madre. La roca madre estaba encontrado a una profundidad de 0.75 m. Este lote no contenía materiales culturales.

### **Conclusiones**

Se considera un éxito las investigaciones preliminares de la temporada 2011 en La Mar, ya que fue posible obtener una muestra de cerámica (ver Capítulo 7 para los resultados del análisis), además de corregir y ampliar el mapa del sitio. Aun queda mucho para entender completamente la forma arquitectónica del sitio, sin embargo es imposible decir más sin acceso al terreno del Sr. Cristóbal Nieto, dueño de la mayoría del sitio al suroeste de la carretera. Esperamos seguir con las investigaciones del sitio con la colaboración del Sr. Nieto en 2012.

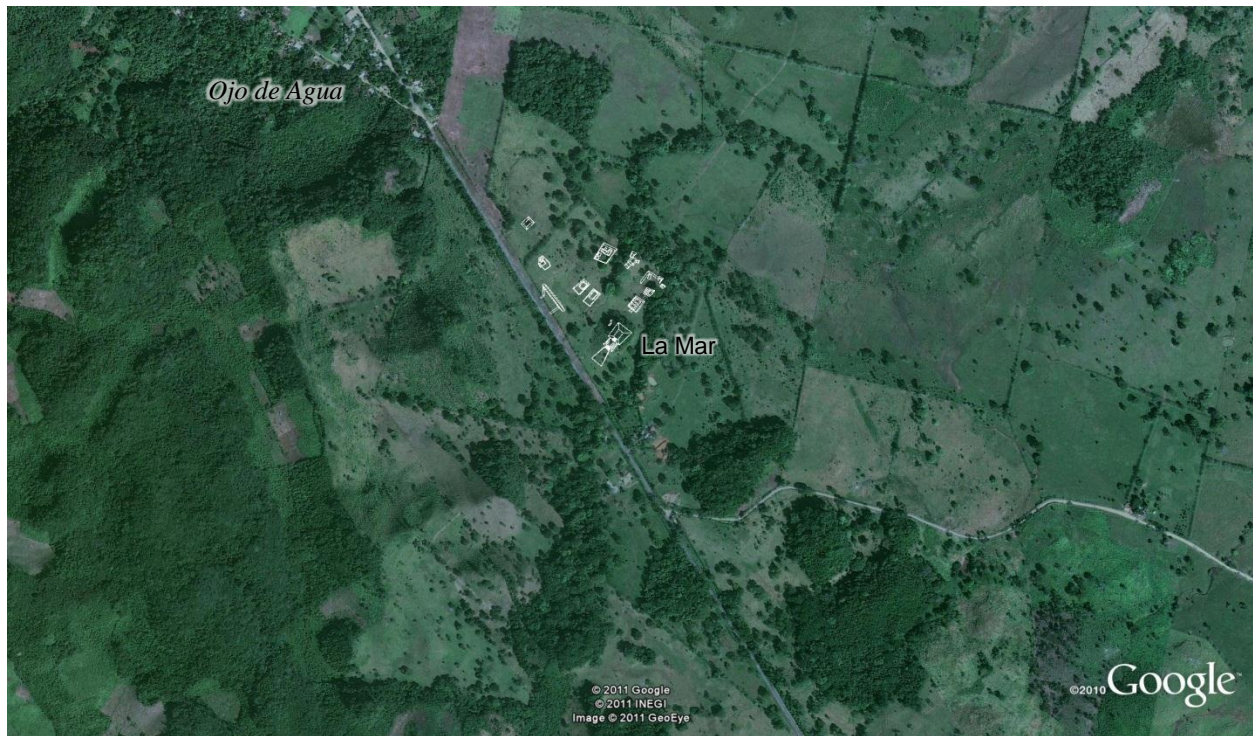


Figura 4.1. Ubicación de La Mar, Chiapas. (imagen por C. Golden).

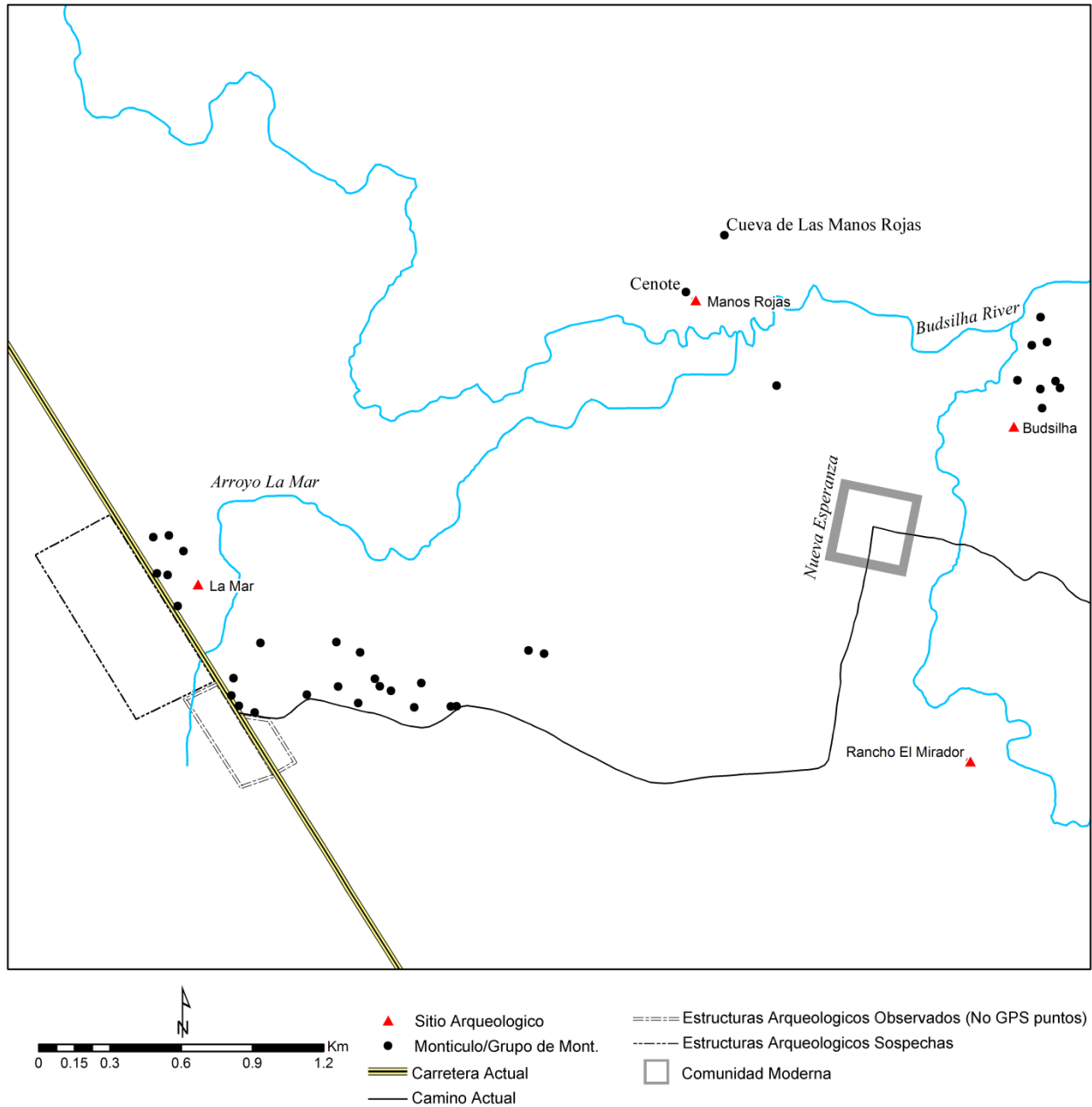


Figura 4.2. Asentamiento en el área de Budsilha y La Mar (mapa por C. Golden y A. Scherer).

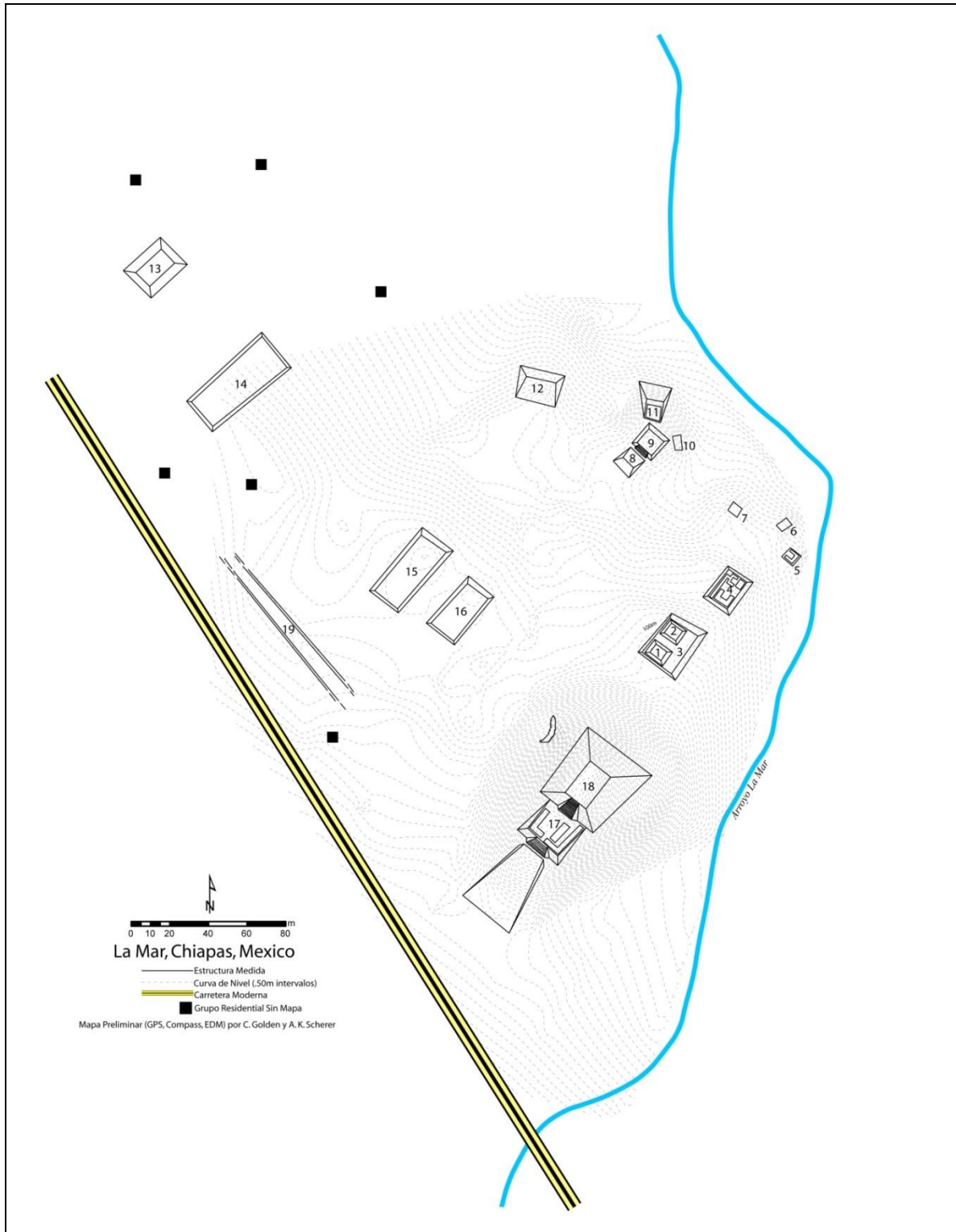


Figura 4.3. Mapa preliminar de la zona noroeste de La Mar, Chiapas, México, 2010 (mapa por C. Golden y A. Scherer).

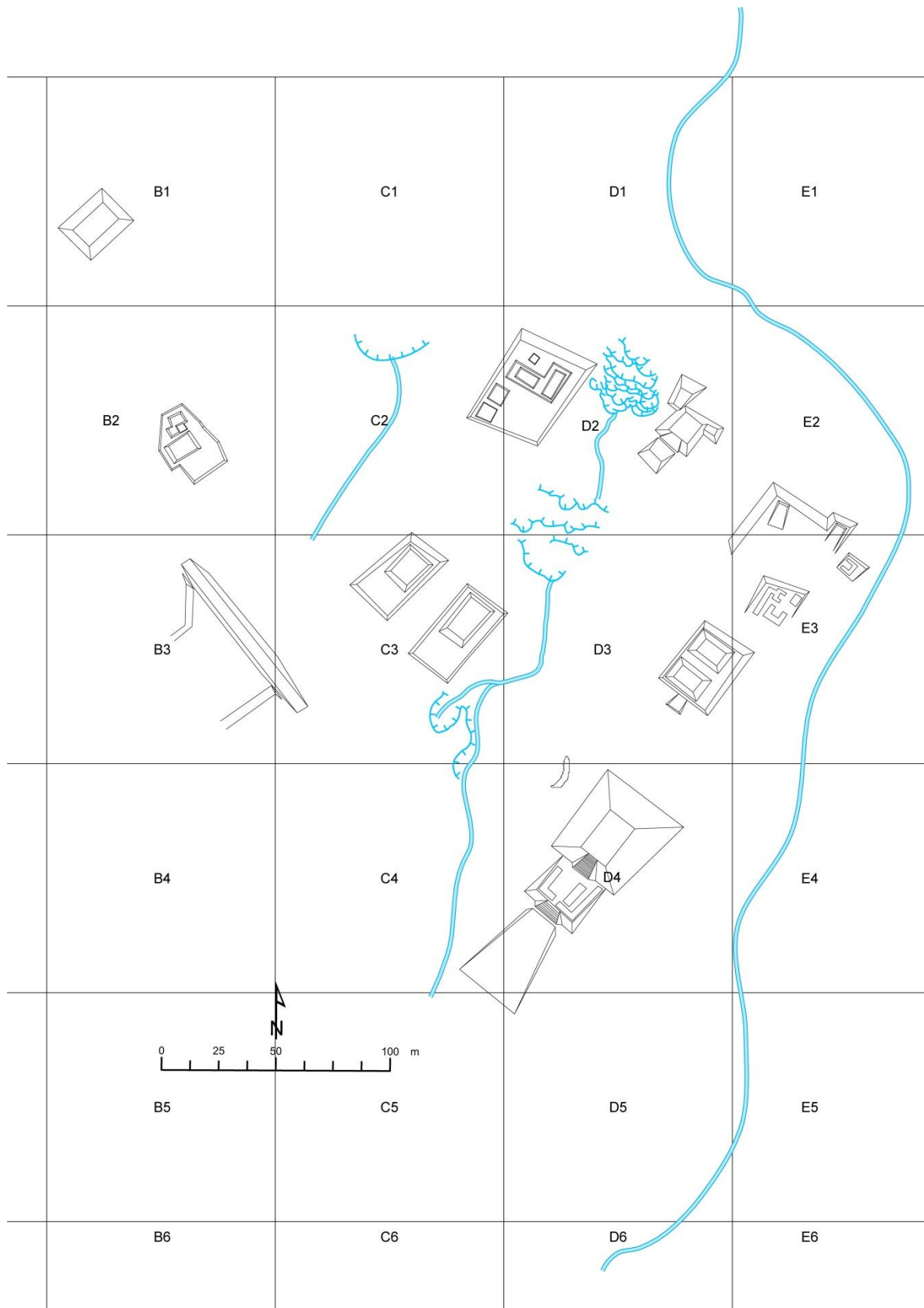


Figura 4.4. Mapa de La Mar, Chiapas, 2011 (mapa por J. Dobereiner, C. Golden, y A. Scherer).

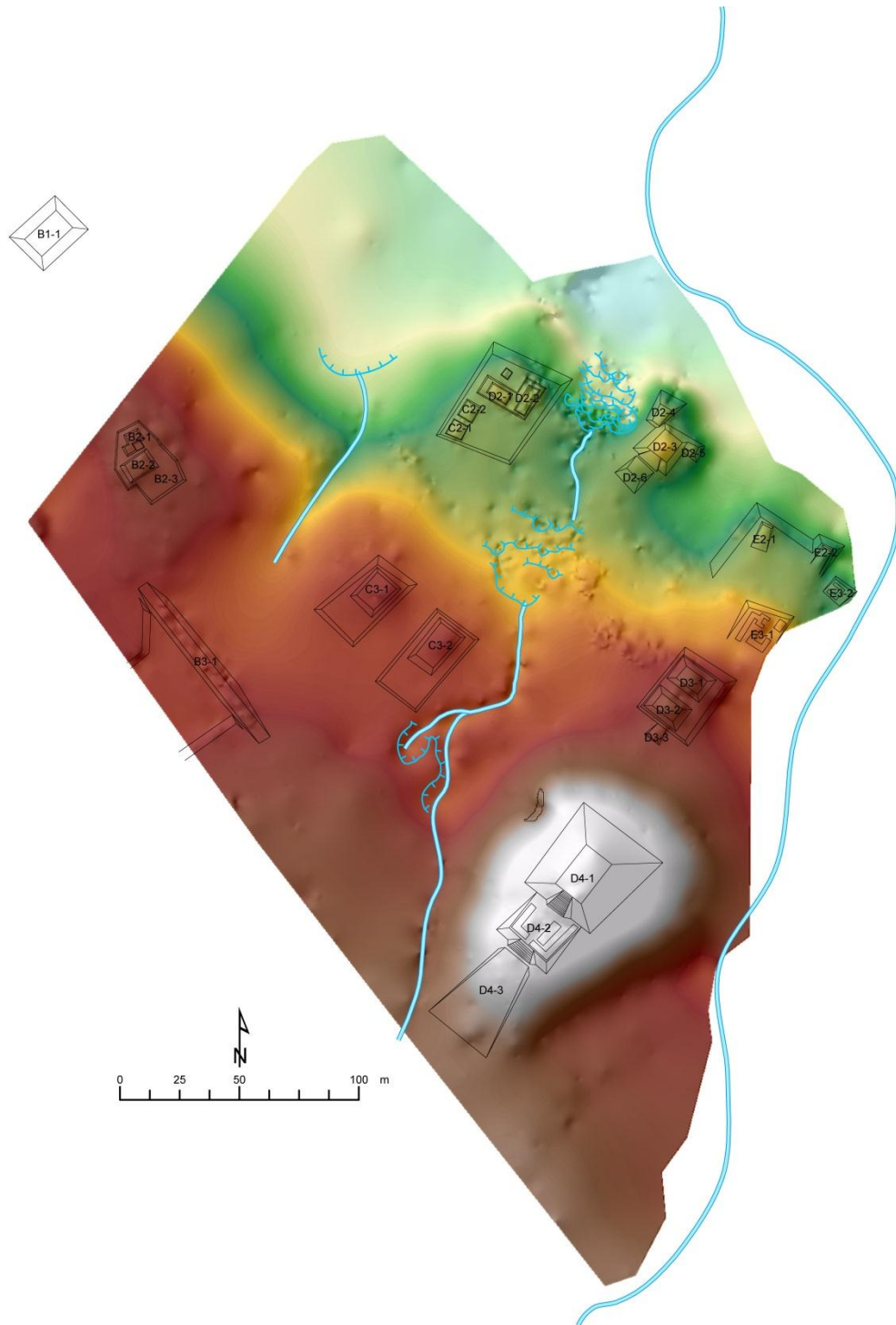


Figura 4.5. Mapa de La Mar, Chiapas, con elevación (mapa por J. Dobereiner, C. Golden, y A. Scherer).



Figura 4.6. Mapa de La Mar, Chiapas con la ubicación de operaciones de investigación (mapa por J. Dobereiner, C. Golden, y A. Scherer).

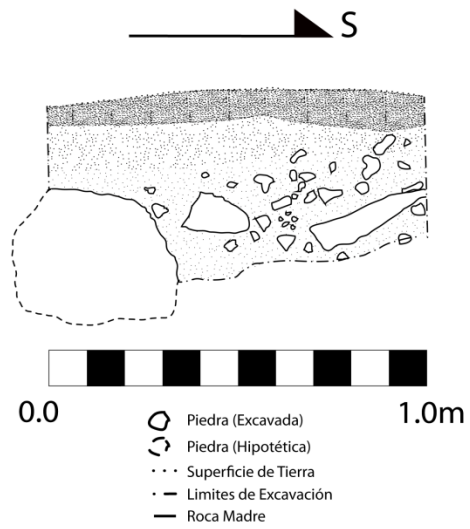


Figura 4.7. Perfil este de unidad LM-1A-1 (dibujo por A. Méndez y A. Scherer).

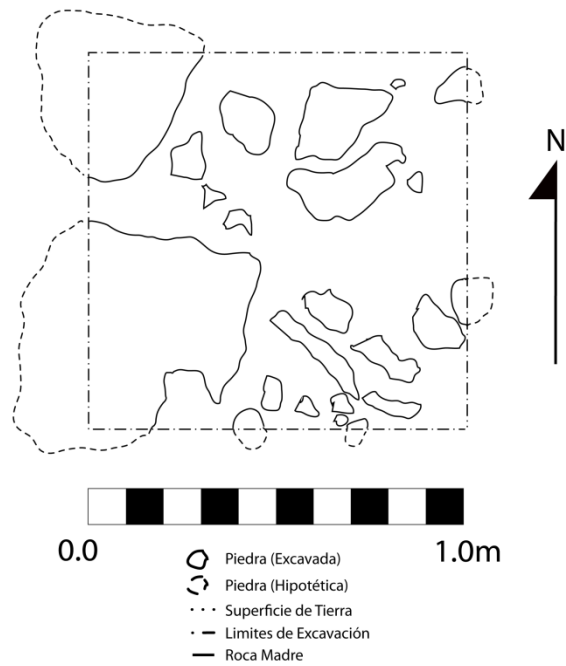


Figura 4.8. Plan de lote LM-1A-1-3 (dibujo por A. Méndez y A. Scherer).

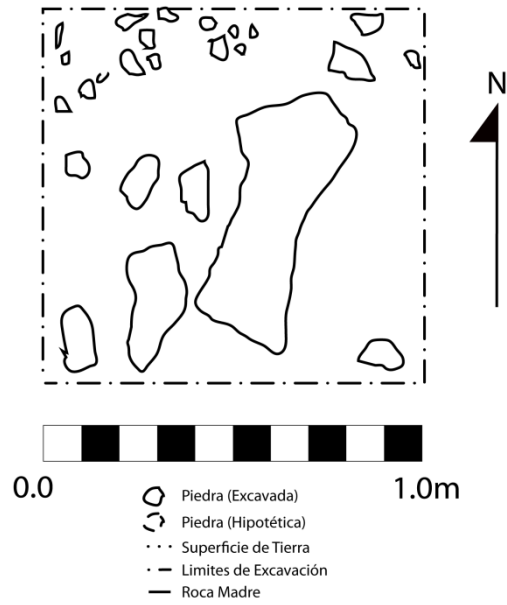


Figura 4.9. Plan de lote LM-2A-1-3 (dibujo por A. Méndez y A. Scherer).

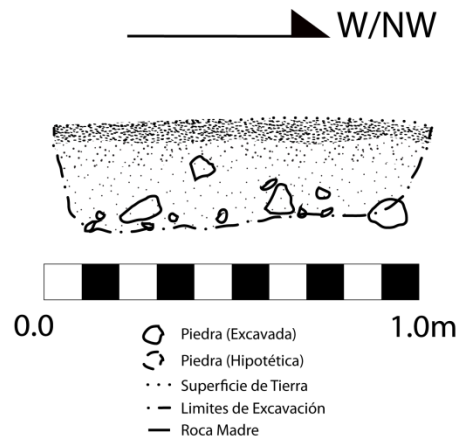


Figura 4.10. Perfil sur-suroeste de unidad LM-2A-1 (dibujo por A. Méndez y A. Scherer).

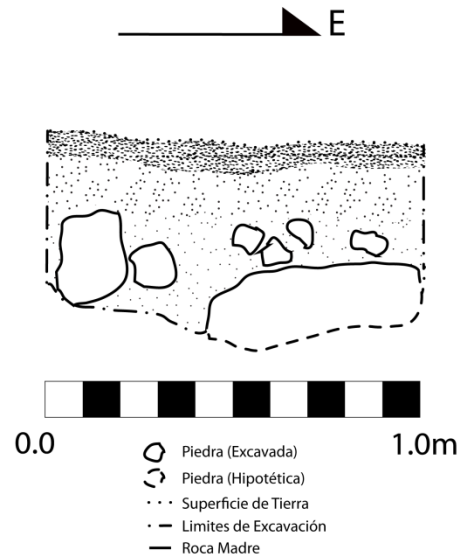


Figura 4.11. Perfil norte de unidad LM-3A-1 (dibujo por A. Méndez y A. Scherer).

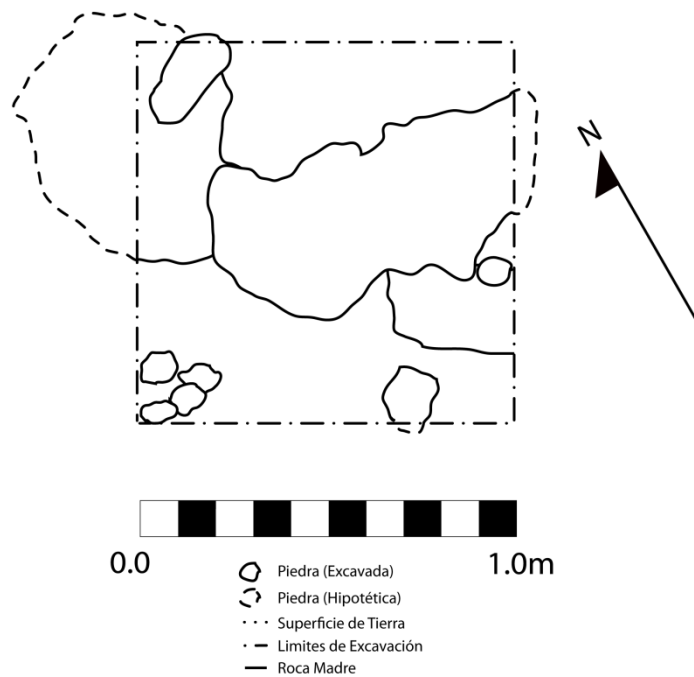


Figura 4.12. Plan de lote LM-3A-1-3 (dibujo por A. Méndez y A. Scherer).

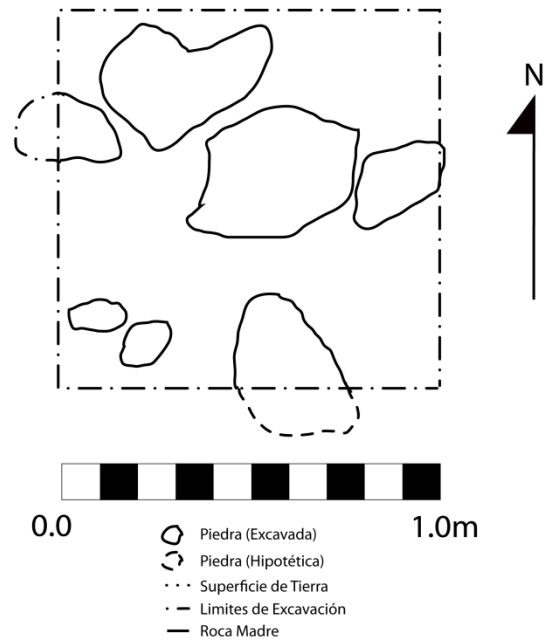


Figura 4.13. Plan de lote LM-5A-1-3 (dibujo por A. Méndez y A. Scherer).

## CAPITULO 5

### BUDSILHA

Charles Golden, Andrew K. Scherer, Alan Méndez Cab, y Jefferey Dobereiner

#### **Introducción**

Reportado por Teobert Maler (1903: 91), el sitio de Budsilhá esta ubicado hoy en día dentro de la comunidad de Nueva Esperanza (Fig. 5.1), en el terreno privado del Sr. Antonino González Hernández. Scherer y Golden realizo el levantamiento preliminar del sitio en 2010 con cinta, brújula, y GPS revelando en términos generales la forma arquitectónica del grupo central (Fig. 5.2). La meta principal de la temporada 2011 era el levantamiento mas preciso del sitio con la estación total (Figuras 5.3 - 5.5), y excavaciones preliminares con el objetivo de brindar unas fechas para el sitio (ver Capitulo 7 para el análisis de la cerámica).

#### **Operación BU-1**

Operación 1 consiste de investigaciones asociado con el grupo principal de Budsilhá (Figs. 5.2, 5.3, 5.4). Operación 1A pertenece a la colección de cerámica de la superficie. Operación 1B consiste de investigaciones en el frente de Estructura D5-1. Operación 1C y 1D pertenece a investigaciones al norte del plataforma principal del sitio.

#### *BU-1B-1*

Unidad 1 estaba ubicado al sur de la esquina suroeste de Estructura D6-4 y medió 1.0 x 1.0 m (Fig. 5.9). El primer lote consistió del nivel del humus café muy oscuro (10 YR 2/2) y terminó con una profundidad de 0.13 m debajo el dato (las esquina noroeste de la unidad). Materiales recuperados incluyen pocos tiestos cerámicos y lascas de pedernal.

Lote 2 consistió de tierra amarillo-café oscuro (10 YR 3/4) mezclados con piedras de varios tamaños. El lote terminó con una profundidad de 0.46 m cuando piedras mas grandes estaba encontrada. Las excavaciones revelaron un muro de piedra en el noroeste de las excavaciones que continúa abajo en el lote tres (Fig. 5.9). Materiales culturales incluyen pocos tiestos, lascas de pedernal, y un hueso animal.

Lote 3 consistió de tierra café oscuro (10 YR 2/2) con mas piedras grandes que estaba encontrado en el lote anterior, presumiblemente derrumbe de los edificios cercanos. El lote

terminó con una profundidad de 1.10 m cuando mas excavación estaba imposible por el gran tamaño de las piedras encontró en el pozo. Materiales culturales incluyen tiestos cerámicos, fragmentos de estuco (partes de un piso erosionados), lascas de pedernal, obsidiana, y concha.

Más excavaciones son necesarias para entender la forma de este muro exterior. Es posiblemente un límite de una plataforma anterior que estaba enterado durante la construcción de los últimos edificios del grupo principal de Budsilhá.

#### *BU-1C-1*

La unidad estaba ubicada al norte de la plataforma principal y medió 1.0 x 1.0 m (Fig. 5.10). Lote 1 consistió de humus café (10 YR 4/3) y continuó hasta una profundidad de 0.05 m debajo el dato (la esquina noroeste de la unidad). Este lote no contenía materiales culturales.

Lote 2 consistió de tierra de barro de color café (10 YR 4/3). Este lote continuó hasta un cambio en el color de la tierra con una profundidad de 0.18 m. El lote contenía pocos tiestos cerámicos.

Lote 3 consistió de tierra café (10 YR 3/3) oscuro mezclado con piedras. El lote continuó hasta una profundidad de 0.52 m y contenían muchas materiales culturales, incluyen tiestos cerámico, lascas de pedernal, y obsidiana.

Lote 4 consistió de tierra café (10 YR 4/3) mezclado con piedras pequeñas. El lote terminó con la roca madre un una profundidad de 0.59 m. Materiales culturales recuperados incluyen tiestos cerámicos, lascas de pedernal, obsidiana, y concha.

#### *BU-1D-1*

La unidad estaba ubicado al norte de la plataforma principal de Budsilhá y medió 1.0 x 1.0 m (Fig. 5.11). Lote 1 consistió del nivel de humus de color café muy oscuro (10 YR 2/2) y terminó con una profundidad de 0.07 debajo del dato (la esquina noroeste de la unidad). No se encontró materiales culturales de este lote.

Lote 2 consistió de tierra café (10 YR 2/1) y terminó con una profundidad de 0.25 m. Pocos tiestos cerámicos estaban recuperados.

Lote 3 consistió de tierra café oscuro (10 YR 3/3) y terminó con una profundidad de 0.32 m. Pocos materiales culturales estaban recuperados, incluidos tiestos, lascas de pedernal, y obsidiana.

Lote 4 consistió de tierra de color café (10 YR 3/3) con piedras pequeñas. El lote terminó con una profundidad de 0.59 m. El lote contenía tiestos cerámicos, un fragmento de estuco, y un fragmento de obsidiana.

Lote 5 consistió de tierra gris-café oscuro (10 YR 4/2) y continuó hasta el nivel de la roca madre con una profundidad de 0.76 m. Solo un tiesto estaba recuperado en este lote.

### **Operación BU-2**

Operación 2 consistió de investigaciones conducido al sur de la plataforma principal del sitio.

Operación 2A pertenece a la colección de cerámica de la superficie. Operación 2B consistió de excavaciones en el frente del entrada sur de la plataforma.

#### *BU-2B*

Unidad 2 medió 1 x 1 m (Fig. 5.12). El primer lote consistió del nivel del humus café oscuro (10 YR 2/2) y tenía una profundidad de 0.25 m debajo del dato (la esquina noroeste de la unidad). Este lote contenía tiestos, lascas de pedernal, y dos piezas de obsidiana.

El lote 2 consistió de tierra café oscuro y continuó hasta una profundidad de 0.31 m. Materiales recuperados incluyen tiestos cerámicos, lascas de pedernal, obsidiana, hueso animal quemado, y concha.

El lote 3 consistió de tierra amarillo-café (10 YR 4/6) y continuó hasta la roca madre con una profundidad de 0.42 m. Materiales culturales recuperados incluyen pocos tiestos cerámicos, lascas de pedernal, obsidiana, y concha.

### **Conclusiones**

Tanto la arquitectura como la muestra de cerámica (ver análisis en el Capítulo 7) muestra que el centro del sitio Budsilhá pertenece mayormente al periodo Clásico tardío. Además la forma de la mampostería, las bóvedas, y otros rasgo arquitectónicos sugiere algún vinculo con el estilo arquitectónico de Piedras Negras. Sin embargo es obvio que el sitio requiere un estudio mas completo para revelar la secuencia de ocupación completa y su posible posición política dentro de los reinos de la región durante el periodo Clásico. El colapso casi completo del edificio principal D6-1 (ver Figuras 5.6 - 5.9) debido al daño de saqueo es un problema que requiere una programa de rescate en los próximos años y un estudio de conservación para

averiguar la posibilidad de estabilizar los restos del edificio y la posibilidad de montar de nuevo sus muros y bóvedas.

Otro rasgo que llama la atención es la posible presencia de campos agrícolas canalizados en la zona pantanosa inmediatamente al sur del epicentro del sitio. Aparecen como formas rectilíneas en imágenes de satélites, tales como las de GoogleEarth (Fig. 5.1), y la presencia de los “canales” es obvia caminando en la tierra. Sin embargo, sin un estudio arqueológico que incluye la excavación de estos rasgos no se puede determinar si son naturales o antropogénicos, y si son antropogénicos de que época son. Se espera realizar una investigación mas intensa de Budsilhá en si, y trabajar con los comunitarios de Nueva Esperanza para hacer un inventario mas completo de los rasgos arqueológicos dentro de los límites del pueblo y los ranchos circundantes.

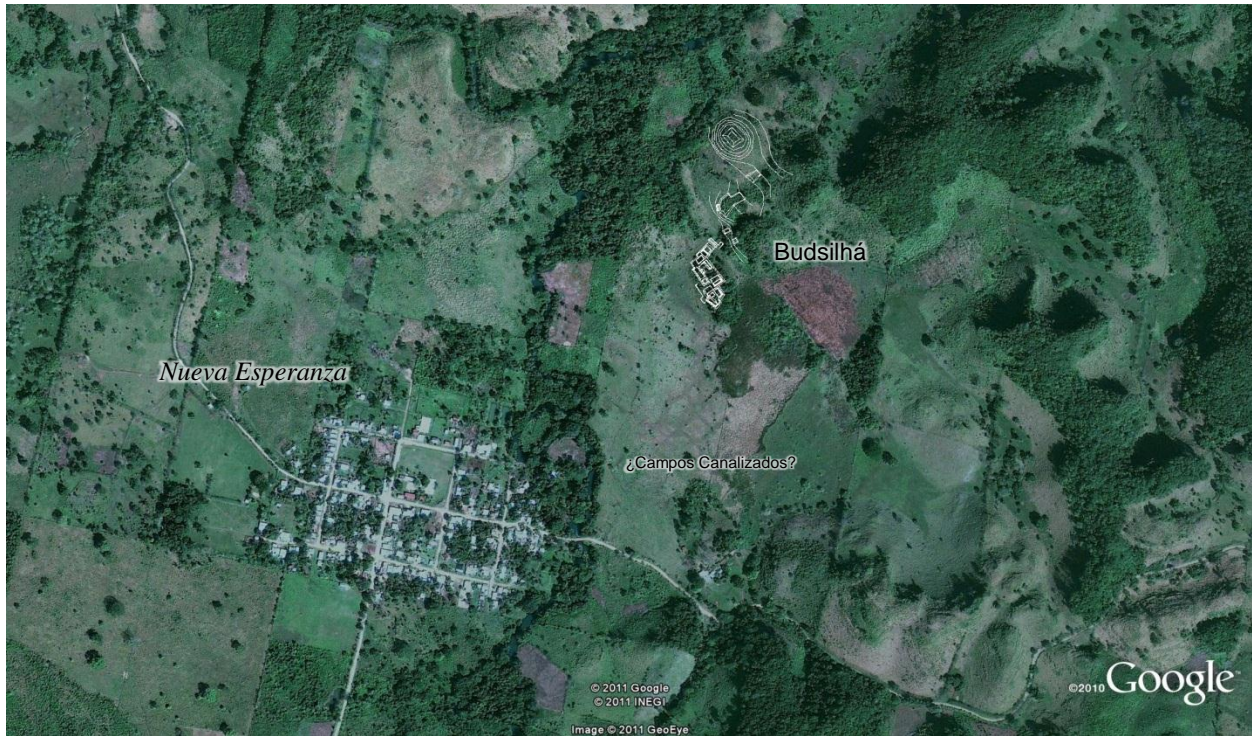


Figura 5.1. Ubicación de Budsilhá, Chiapas.

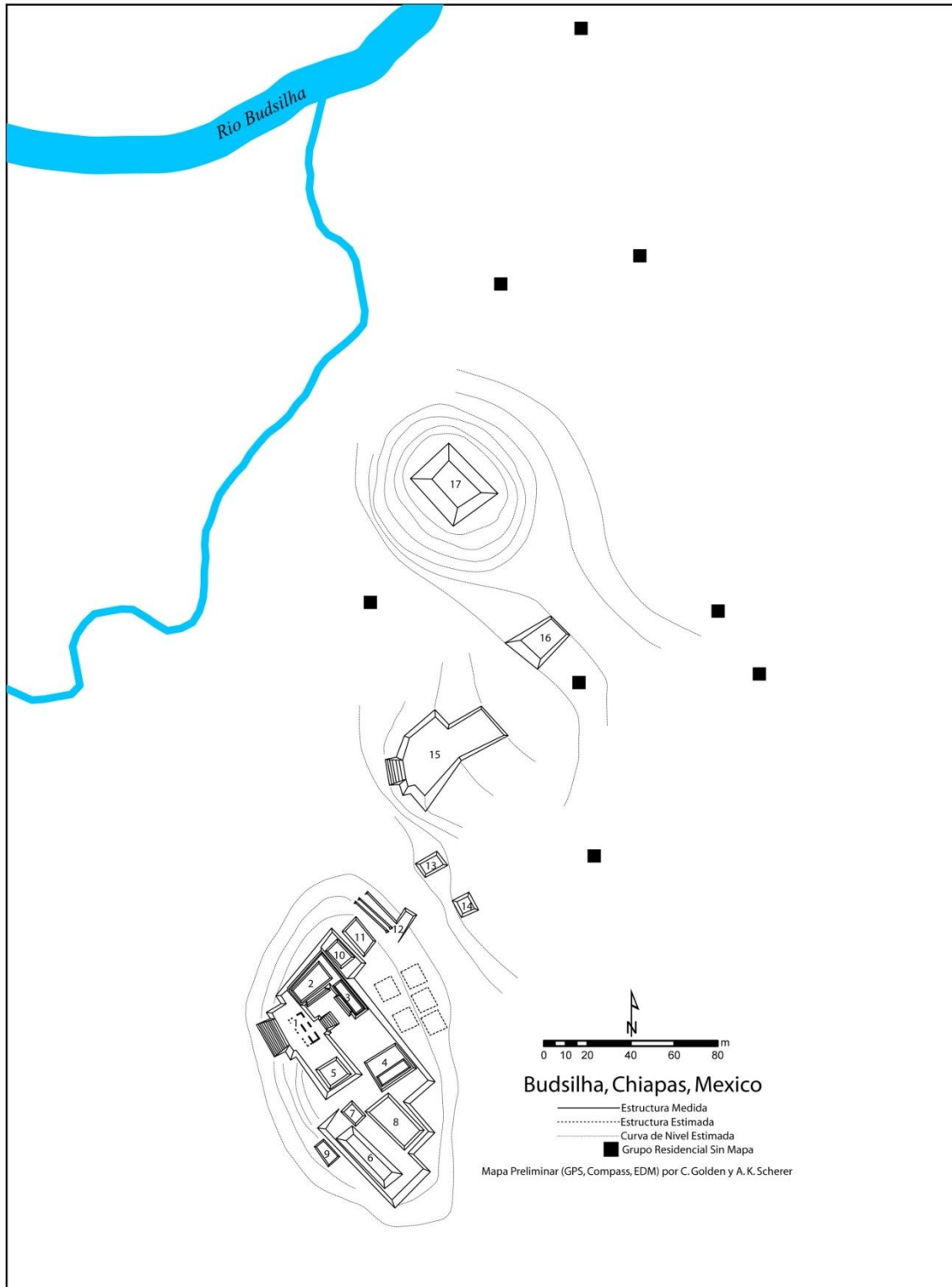


Figura 5.2. Mapa de Budsilhá, Chiapas, México, 2010 (por C. Golden y A. Scherer).

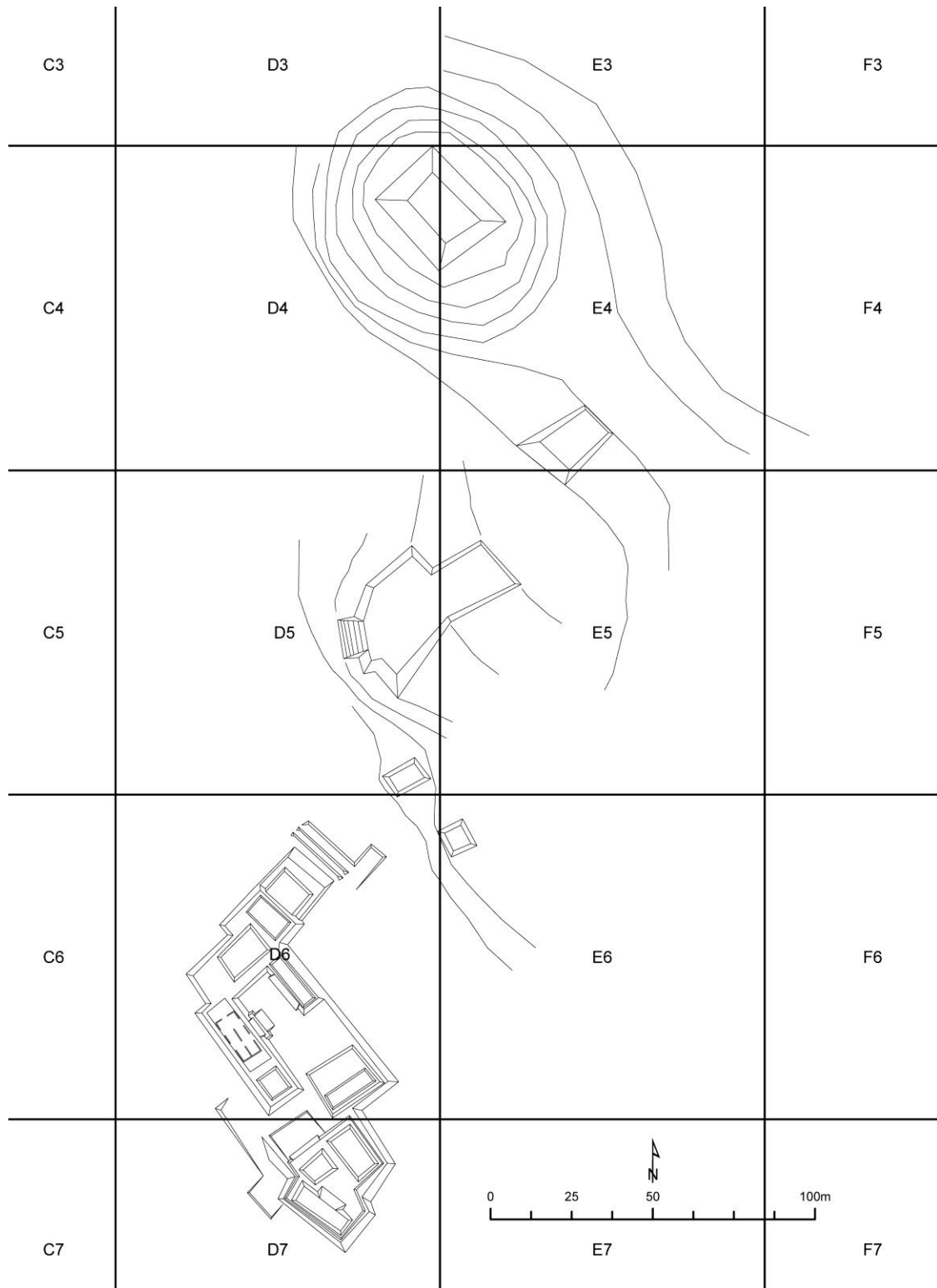


Figura 5.3. Mapa de Budsilhá, Chiapas, México, 2011 (por C. Golden, A. Scherer, y J. Dobereiner).

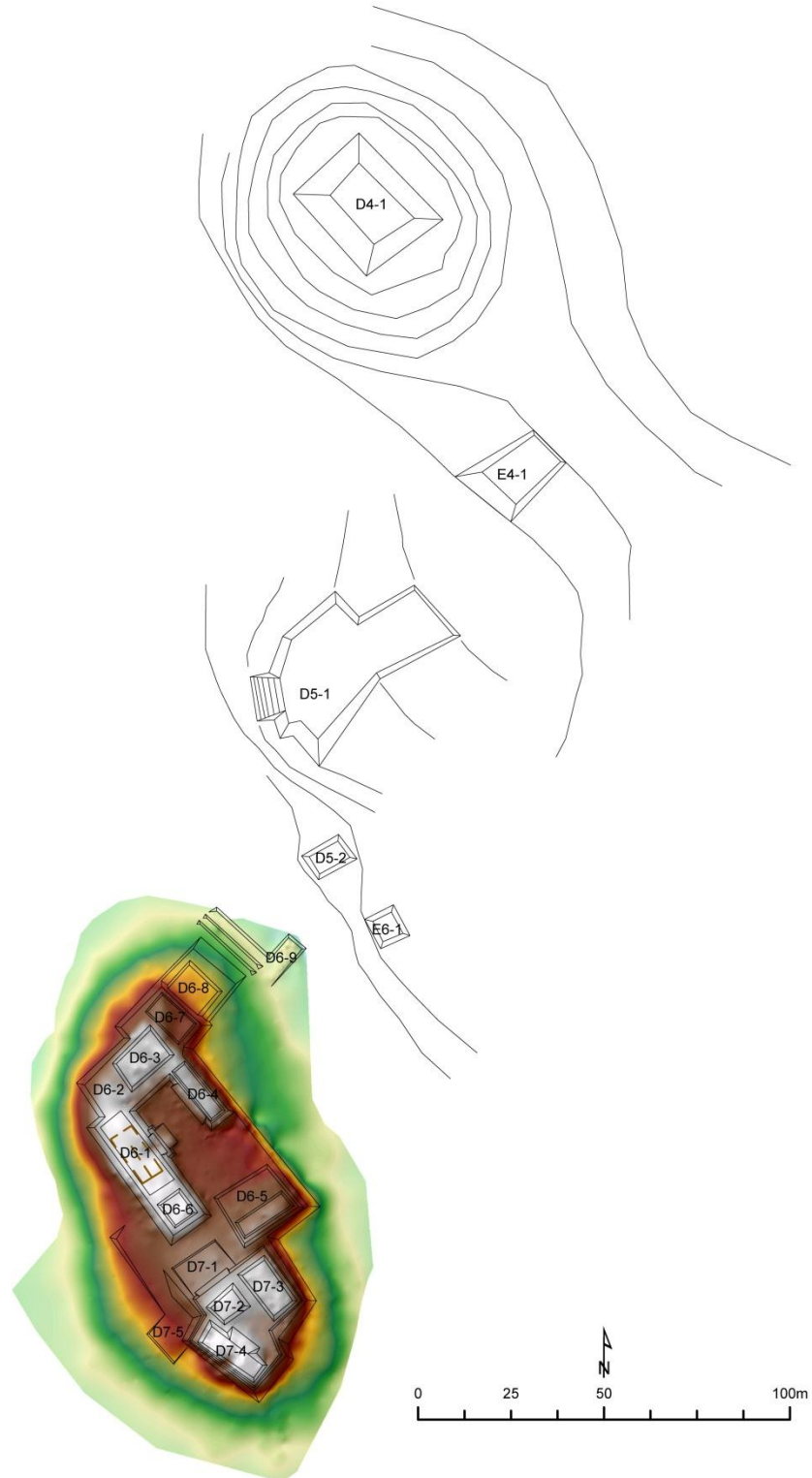


Figura 5.4. Mapa de Budsilhá, Chiapas, México con elevación (por C. Golden, A. Scherer, y J. Dobereiner).

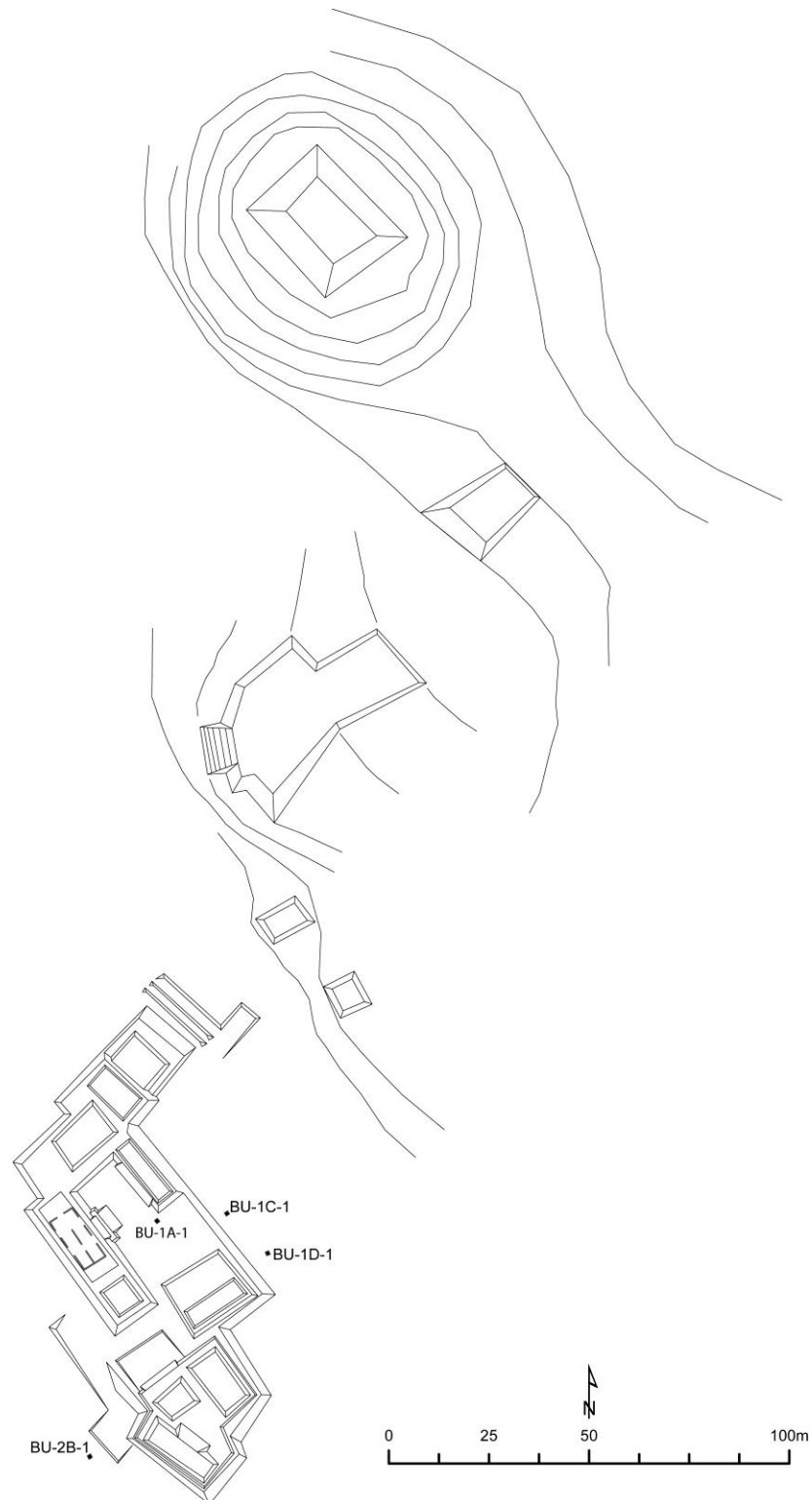


Figura 5.5. Mapa de Budsilhá, Chiapas, México con la ubicación de operaciones (por C. Golden, A. Scherer, y J. Dobereiner).



Figura 5.6. Estructura 1 de Budsilhá, vista de la fachada oeste, 2010 (foto por C. Golden).



Figura 5.7. Estructura 1 de Budsilhá, vista de la galería este desde la esquina NE de la estructura, 2010 (foto por A. Scherer).



Figura 5.8. Estructura 1 de Budsilhá, viendo hacia el oeste a través de la puerta del muro medial entre las galerías este y oeste, 2010 (foto por A. Scherer).



Figura 5.9. Pozo de saqueador en la Estructura 1 de Budsilhá, 2010 (foto por A. Scherer). El pozo está localizado en el tercio norte de la galería oeste y ha cortado, en la parte inferior, el borde norte del muro medial del edificio.

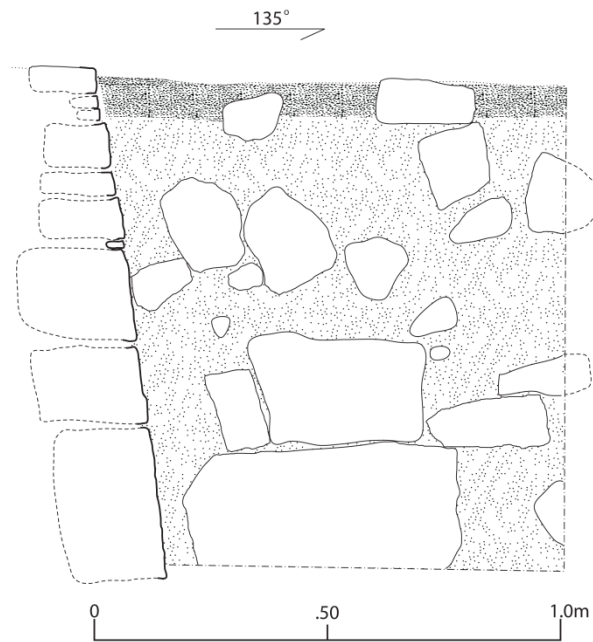


Figura 5.10. Perfil noreste de unidad BU-1B-1 (dibujo por C. Golden).

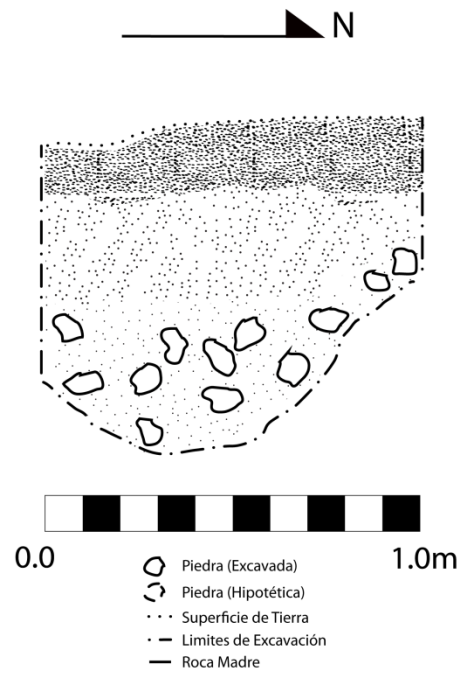


Figura 5.11. Perfil oeste de unidad BU-1C-1 (dibujo por A. Méndez y A. Scherer).

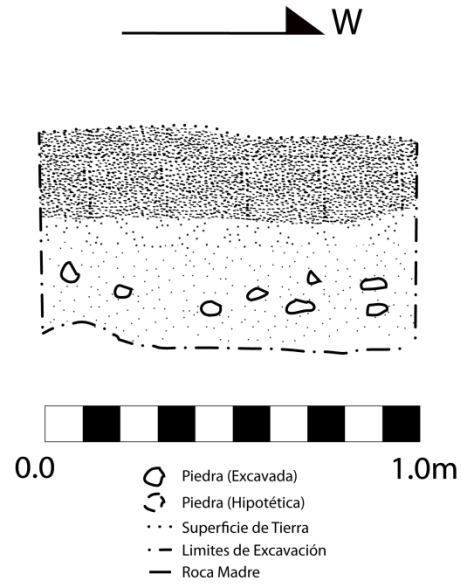


Figura 5.12. Perfil sur de unidad BU-1D-1 (dibujo por A. Méndez y A. Scherer).

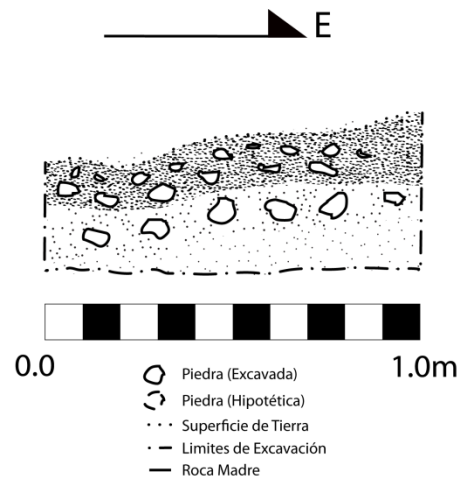


Figura 5.13. Perfil norte de unidad BU-2B-1 (dibujo por A. Méndez y A. Scherer).

## CAPITULO 6

### RANCHO EL EDEN, NUEVO GUERRERO Y NUEVO FRANCISCO LEON

Charles Golden y Andrew K. Scherer

#### **Introducción**

Aprovechando la información y colaboración de unos residentes de la zona del estudio que nos dijeron de unos sitios no previamente identificados, tuvimos la oportunidad de documentar unos rasgos culturales en la región de las comunidades de Nuevo Francisco León y Nuevo Guerrero durante dos visitas muy cortas (fig. 6.1).

#### **Cueva Cerro Quemado**

Un residente de la comunidad de Nueva Esperanza nos informo de una cueva con evidencia cultural dentro de la comunidad de Nuevo Francisco León. El señor nos acompañó a Nuevo Francisco León, y con su conocimiento de la gente de esta comunidad recibimos el permiso entrar a la cueva con el hijo del propietario. Nombramos la gruta “Cueva Cerro Quemado” por el estado de la vegetación en su lugar, y su ubicación en la cumbre de una colina baja. Los pobladores de Nuevo Francisco León aprovechan de las faldas de esta colina y otras circundantes para sacar piedrín para cimiento y hacer caminos. Aun así quedan bastantes restos de edificios antiguos arriba de las colinas, y no hay mucha evidencia de saqueo en si.

La entrada de la cueva se encuentra en la cumbre de la colina, dentro de un grupo habitacional. La entrada es estrecha, con poco espacio para que pueda pasar una sola persona a la vez (fig. 6.2). Dentro de la cueva es obvio que los mayas antiguos utilizaron el espacio, pero su función no se puede saber sin excavaciones. Los mayas cortaron las piedras de los muros y

techo de la cueva, posiblemente utilizando la cueva como una cantera, dejando paredes rectilíneas (fig. 6.3). Tal vez ocuparon unas de las piedras para construir los muros que se encuentra en las entradas de los cuartos de la gruta (fig. 6.4).

No se encontró artefactos portátiles dentro de la cueva y es posible que los residentes modernos de la zona ya llevaron los objetos más obvios. Los visitantes actuales han dejado grafitis usando antorchas (fig. 6.5). Sin embargo no hay evidencia de saqueo intenso e intencional.

### **El Edén**

Tomando la oportunidad de responder al interés de una familia ranchera en la comunidad de Nuevo Guerrero se exploró durante unos tres horas parte del paisaje entre Nuevo Guerrero y Nuevo Francisco León, identificando varias agrupaciones de montículos y el conjunto de asentamiento denominado como el sitio de El Edén (Figuras 6.1, 6.6, y 6.7). La ubicación de El Edén dentro de una zona montañosa probablemente se requirió la construcción de sistemas de terrazas agrícolas de extensión y complejidad no previamente identificadas en esta zona del Usumacinta. El cerro sobre cual está construido el mayor parte de los edificios identificados como parte de El Edén está recubierto de terrazas, en gran parte derrumbados como resultado de procesos naturales (el crecimiento de plantas) y los movimientos del ganado que representa la fuente económica de la zona hoy en día.

### **Conclusiones**

Con unas pocas horas de investigación es obvio que la zona de Nuevo Guerrero y Nuevo Francisco León era densamente poblado durante los periodos precolombinos. Los imágenes

satélites de GoogleEarth sugieren que dentro del pasto y subiendo los cerros hay bastantes restos antiguos fácilmente accesibles con la colaboración de los rancheros y comunitarios de los pueblos actuales. Su ubicación en los valles dando acceso al río Usumacinta desde sitios antiguos como Lacanha y Bonampak tanto como las sistemas de terrazas agrícolas ofrecen el impulso para estudios mas intensas en el próximo futuro.

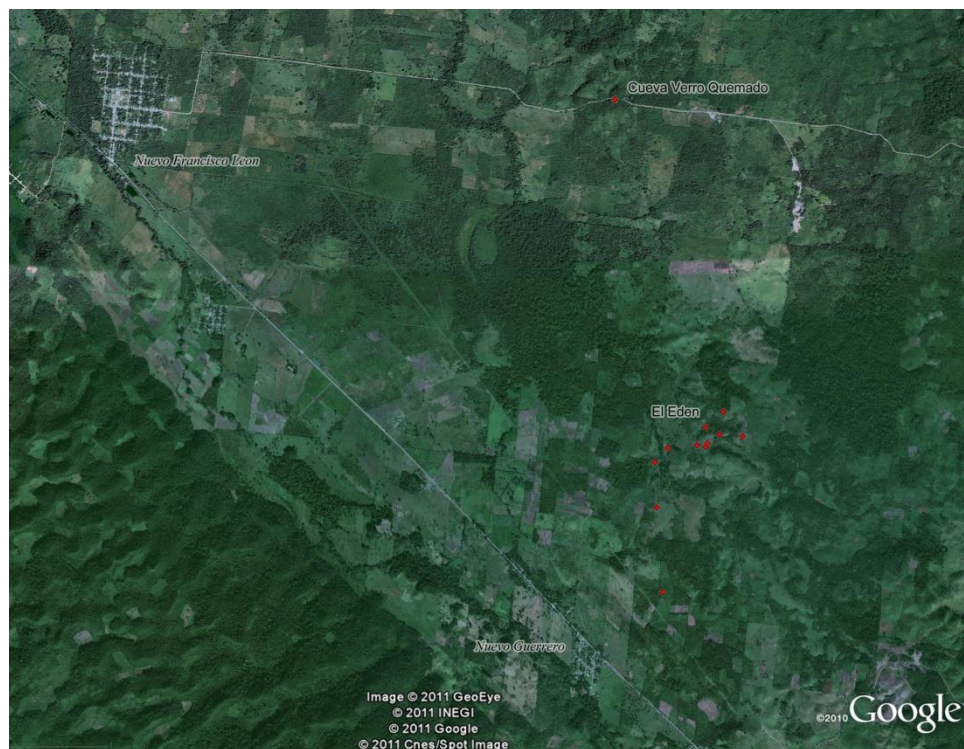


Figura 6.1: Mapa mostrando la ubicación de los sitios de la Cueva Cerro Quemado y El Eden y las comunidades actuales de Nuevo Francisco León y Nuevo Guerrero.



Figura 6.2: La entrada de la Cueva Cerro Quemad (foto por C. Golden).



Figura 6.3: El techo de la cueva, mostrando la roca natural cortada antiguamente (foto por C. Golden).



Figura 6.4: Muro de piedras talladas dentro de la Cueva Cerro Quemado (foto por C. Golden).



Figura 6.5: Grafito (“JAVIER”) moderno dentro de la cueva (foto por C. Golden).



Figura 6.6: Vista panorámica de un grupo arquitectónico en la cumbre de una colina, sitio El Edén (foto por C. Golden). La línea roja indica la forma general de las plataformas.



Figura 6.7: Vista panorámica de terrazas agrícolas antiguas inmediatamente al norte del grupo arquitectónico que aparece en la Figura 6.6 (foto por C. Golden).

## CAPITULO 7

### CLASIFICACIÓN MÚLTIPLE DE LOS MATERIALES CERÁMICOS DEL PROYECTO ARQUEOLÓGICO BUDSILHÁ-CHOCOLJÁ, CHIAPAS. TEMPORADA 2011

Socorro del Pilar Jiménez Álvarez, Alan Méndez Cab, Iliana Ancona Aragón, Priscila Yamá Domínguez y Belem Alejandra Ceballos Casanova

Con la colaboración de los estudiantes de la Licenciatura en Arqueología de la FCA-UADY:

Rubén Núñez Ocampo  
Cinthia Alejandra Martin Acosta  
Miguel Ángel Minguet Heredia  
Lourdes Cristina Romero Canto  
Patricia Yamily Valencia Santiago  
Briceth Daniela Rodríguez Cante  
Karen Cauich Ortiz  
Olaine Díaz Zenteno (fotografías)

#### **Introducción**

Los materiales que a continuación se detallan proceden de las labores arqueológicas que fueron realizadas durante el desarrollo del Proyecto Arqueológico Busilja-Chocoljá (PABC). Golden y Scherer (2010) con el objetivo particular a largo plazo de investigar el proceso de formación de las entidades políticas mayas del periodo Clásico (c.250 -600 d.C.) así como de conocer los límites políticos, culturales y económicos entre los reinos Mayas de la región del Usumacinta, programaron el reconocimiento y mapeo de varios asentamientos prehispánicos así como excavaciones menores por medio de pozos de sondeo de 1 X 1 m. Es importante aludir, que las investigaciones arqueológicas se remitieron a la cuenca media del río Usumacinta de Chiapas; entre los límites fronterizos con Guatemala, México, específicamente en la región situada entre los ríos Chocoljá y Busiljá de Chiapas (Fig. 7.1).

Durante la temporada de campo del 2011, y como parte de las labores de excavación y recolección de superficie, se recuperaron 9, 323 fragmentos cerámicos (volumen en gramos: 41, 413.3 g). Los materiales proceden de seis lugares prehispánicos: Rancho Búfalo, La Planada, La Laguna, Flores Magón, la Mar y Budsilhá. De este volumen de materiales, 7, 667 fragmentos (29, 255.6 g) corresponden a materiales excavados y 1656 tiestos (121, 157.7 g) forman parte de la recolección de superficie.

Como parte de las actividades correspondiente a la vinculación académica de la Universidades de Brown y Brandeis convenida con la Facultad de Ciencias Antropológicas de la Universidad Autónoma de Yucatán. Con la autorización de las autoridades del Centro INAH-Chiapas, los materiales cerámicos fueron trasladados y analizados en el laboratorio de cerámica de la Facultad de Ciencias Antropológicas de la Universidad Autónoma de Yucatán, bajo la dirección de la Mtra. Socorro del Pilar Jiménez Álvarez quien realizó una labor académica conjunta con el PA. Alan Méndez Cab, Arqlga. Iliana Ancona Aragón y la Br. Priscila Yamá Domínguez. Así como también, la estudiante Belem Alejandra Ceballos Casanova del laboratorio de bio-arqueología quien realizó los dibujos artísticos. De igual forma se tuvo la ayuda apreciable en la logística del proceso de lavado, marcado, clasificación y tabulado de los materiales de diez estudiantes de la Licenciatura en Arqueología. Las fotografías de la cerámica estuvieron a cargo de Olaine Díaz Zenteno, Alan Méndez Cab e Iliana Ancona Aragón.

### **Metodología del Análisis Clasificadorio**

De acuerdo a los objetivos de la segunda fase de investigación de laboratorio de los materiales cerámicos planteados en el proyecto del 2010 los materiales cerámicos fueron clasificados de acuerdo a los objetivos siguientes. 1) Investigar la distribución y los cambios

espaciales – temporales de los fragmentos cerámicos que fueron recuperados en los seis de los asentamientos ya mencionados. 2) elaboración de tipologías con base en atributos o modos desde una perspectiva multi-clasificatoria enfoca en estudios cronológicos y tecnológicos.

Debido a la erosión y fragmentación de los materiales, en el análisis cerámico del proyecto Budsilhá-Chocoljá, se seleccionó un método clasificatorio en el que se enfatizan atributos independientes de la pasta, forma y por último la decoración y los acabados de superficie, dándole prioridad en esta temporada inicial de gabinete a la separación de las pastas. 24 categorías de pastas han sido establecidas en los materiales cerámicos del proyecto Budsilhá-Chocoljá (Figuras 7.2 y 7.3).

El enfoque de clasificaciones múltiples es una propuesta alternativa de Patrick Culbert y Robert L. Rands 2007 en el estudio de las cerámicas mayas, su finalidad es la de crear un lenguaje regional de “modos” que expresados en un sinnúmero de combinaciones bastante flexibles, que darán lugar a tipologías no jerarquizadas en la que se puede estudiar tanto el tema de la tecnología, el estilo así como el concerniente al ordenamiento de los artefactos en el tiempo y en el espacio. Atributos y Modos son las unidades menores en la separación inicial de los fragmentos (Jiménez 2011b)

Hoy en día, la herramienta analítica de modos está siendo desarrollada, sobre todo en áreas en las que las cerámicas tienen acabados de superficie poco preservados o están lo bastante fragmentadas como ha sido el caso de los materiales de Chiapas y la Chontalpa de Tabasco (Culbert y Rands 2007; Méndez et al. en elaboración; Jiménez 2011; Jiménez et al. 2011a ; Jiménez et al. 2011b; Rands 1967; San Román 2005) o bien también se le ha usado como una herramienta analítica práctica para la clasificación de materiales como las pastas finas y la policromía en los que se sabe que la forma, decoración y sus configuraciones estilísticas están

por encima de las características de los acabados de la superficie (Jiménez 2011b). Durante los meses de julio y agosto, los fragmentos cerámicos fueron lavados y marcados. La clasificación de los materiales inició en el mes de septiembre del año en curso. El análisis clasificatorio de esta temporada 2011 se enfocó en la búsqueda preliminar de parámetros de pasta, forma, decoración y acabado de superficie. En esta temporada de gabinete los referentes iniciales fueron las categorías de las pastas.

Cada fragmento cerámico fue codificado en una base de datos en Excel de acuerdo a la nomenclatura asignada por el proyecto en cuestión. Datos de la procedencia por asentamiento, lotes, operaciones y niveles se marcaron en cada uno de los tiestos. Posteriormente un código que siempre comienza con el número 0 se le asignó a cada agrupamiento de las categorías de pastas de acuerdo a su procedencia. Otros datos como la forma, decoración y acabado complementaron los campos de la base de datos en Excel.

### **Resultados Preliminares del Análisis Cerámico**

Ahora nos remitiremos a los materiales representativos de la muestra analizada. Los periodos Preclásico (c. 900 a.C. -250 a.C.); Clásico Temprano (250 d.C. – 600 d.C.) y Clásico Tardío (600 – 900 d.C.) son cronologías representadas en la muestra cerámica analizada (Fig. 7.4). Por otra parte, es importante decir que los materiales estudiados durante la temporada de laboratorio 2011 muestran la superioridad numérica de cerámicas carbonatadas con respecto las de arena de cuarzo u otras clases de pastas (Figuras 7.2 y 7.3). Tres clases de pastas carbonatadas son representativas: la carbonatada (código 22), la carbonatada burda (código 33) y la carbonatada de paredes delgadas (código 30). Las tres clases de pastas carbonatadas muestran la abundancia de óxidos ferruginosos, y tienen tonos rojo claro (2.5YR 8/2) rojo-marrón (2.5YR

7/8) y gris claro (2.5YR 8/3). Un volumen importante de pastas de calcita sumamente frágil (código 32) muestra en la superficie restos de engobes cerosos o bien de engobes que tienen otras características del periodo Preclásico, que muestran propiedades físicas similares a las cerámicas preclásica que se han reportado en Chiapas y Tabasco (engobes pulidos de apariencia casi mate) (c. 900 a.C. – 250 d.C.)(Bachand 1997; Englehardt 2010; Lee et al. 1988; Méndez et al. 2011)(Fig. 7.15).

También, es interesante mencionar que los fragmentos de cajetes son típicos de este repertorio de cerámicas preclásicas. En términos generales, son característicos los engobes pulidos de tonalidades abigarradas o los acabados de superficie con restos de engobes pulidos con tonos firmes de colores negro (2.5/N) crema (10YR 9.5/2) rojo oscuro (2.5YR 3/6) o rojo-anaranjado (5YR 5/8) (Fig. 7.23).

Por otra parte, a pesar de que la mayoría de los materiales carbonatados se encuentran erosionados, se observaron algunos fragmentos con estrías medianamente profundas o bien con estrías superficiales que apenas se les puede diferenciar de los acabados lisos. Los materiales carbonatados de pasta rojiza-marrón pertenecientes a ollas de cuello alargado y a cazuelas son similares en forma a los fragmentos de ollas de cuello alto con el borde doblado hacia el exterior que han sido reportados en Piedras Negras como tipo Texcoco alisada: Texcoco (Muñoz 2006) durante la Fase Naba del periodo Clásico Temprano (c. 350-560 d.C.). Asimismo, Jiménez et al. (2011b) también reporto la abundancia fragmentos de ollas de cuello alargado en los materiales de Chinikihá durante el periodo Clásico Temprano (c. 250 – 600 d.C.) de Chinikihá (Jiménez et al. 2011 a).

En el Cayo Usumacinta, Lee et al (1988:31, Fig. 7.23i) durante el Horizonte Tzakol, reporto en el tipo Triunfo estriado: no especificada, ollas de cuello mediano a alto con

decoración estriada. A estos materiales se les asignó una fecha relacionada con el Horizonte Tzakol del periodo Clásico Temprano.

Continuando con los materiales carbonatos, es pertinente citar un conjunto menor de tiestos (código 20) que muestran una pasta de dureza compacta con un tono de color rosa o gris claro (2.5YR 8/1; 2.5YR 8/3) y una superficie estriada. En Piedras Negras, René Muñoz (2006) describió materiales similares en la forma de fragmentos de ollas del tipo Texcoco alisada: Variedad Temper Drag. Los tiestos también muestran decoración estriada en una pasta bien compacta. Estos materiales carbonatados de pasta compacta fueron correlacionados con la Fase Naba (c. 350-560 d.C.) del periodo Clásico Temprano. Es importante hacer alusión que los materiales carbonatados y estriados sobre una pasta carbonatada y compacta, también que han sido reportados en Chinikihá (Jiménez et al. 2011 b) son similares a los materiales hallados en la región de Budsilhá-Chocoljá.

Por otra parte, la pasta carbonatada fina en la forma de cazuelas con el borde doblado hacia el exterior son similares a las tipo Quintal sin engobe: Quintal que ilustra Domínguez (1994:104, Figuras 51-52) en el complejo Kaynikte del Periodo Clásico Temprano (c. 250-550 d.C.) de Calakmul. Por su parte, Jiménez et al. (2011 a) reportó en el periodo Clásico Temprano de Chinikihá estas formas de cazuelas con el borde engrosado y doblado hacia el exterior. Por otra parte, se puede decir de manera preliminar, que son pocos los materiales que presentan la pasta carbonatada y la superficie con restos de un engobe Petén lustroso (código 19). Fragmentos cerámicos que constituyen las pastas de arena de cuarzo u otras categorías de pastas son poco representativos en la muestra de Budsilhá-Chocoljá. Estos fragmentos de cerámica, han sido relacionados con el periodo Clásico tardío, y se caracterizan por variadas sub-clases de cajetes, de paredes extremadamente delgadas, así como de fragmentos de ollas con la típica

pestaña labial. Rands (1967; San Román 2005) en Palenque, Jiménez (et al. 2011 a; Jiménez et al. 2011b) en Chinikihá y López (1991, 2005) en Pomona han registrado cerámicas de pastas arenosas y de formas similares a los fragmentos analizados.

En la revisión de la literatura de la sierra de Chiapas, Robert L. Rands y Bárbara Rands (1957:143, Fig. 7.3 b, c, d) mencionan durante la época Murciélagos en Palenque se distribuyeron “Homologías” de cajetes del estilo “Chablekal gris fino” hechos con un barro de textura de fina arena de cuarzo. Posteriormente en sus estudios de la cerámica de Palenque (Bishop y Rands 2003; San Román 2005) y en Chinikihá (San Román 2005) se reportaron materiales similares. La planada, La Laguna, Flores Magón y Budsilhá muestran un repertorio más amplio de estas cerámicas si se les compara con el resto de las colecciones analizadas (Fig. 7.20 a, d).

Es importante hacer mención que en la región del río San Pedro Mártir, en Tabasco, Martha Hernández (1981, Fig. 7.74b) reporto en el tipo “negro impreso”, cerámicas de pasta arenosa de paredes muy delgadas que son similares a las cerámicas identificadas en la pasta arenosa de Budsilhá-Chocoljá.

Para finalizar, la cerámica gris fina, negro fino o anaranjada fina es escasa en los contextos analizados (Fig. 7.21 a-b). Es interesante saber que tanto Palenque (Rands 1967; San Román 2005;) como Chinikihá (Jiménez et al. 2011b) también muestran durante el periodo Clásico Tardío este mismo esquema de poca representatividad en el uso de pastas de textura fina. En resumen y en términos preliminares, se puede decir que la muestra cerámica de Budsilhá-Chocoljá tiene varios referentes cerámicos que la relacionan de manera cercana con las tipologías generales del Preclásico y Clásico Temprano de la zona maya, sin embargo desde épocas tempranas los sitios estudiados también muestra referentes cerámicos similares a las

cerámicas de las zonas del Usumacinta medio y bajo de Chiapas. Los seis asentamientos hasta ahora analizados muestran materiales del periodo Clásico Temprano, siendo Rancho Búfalo el sitio con mayor representatividad de materiales preclásicos.

Por otra parte, durante el Clásico Tardío, algunos asentamientos como Flores Magón, Budsilhá, La Planada y La Laguna, muestran ciertas características cerámicas de la región del Usumacinta medio de Chiapas y Tabasco (Chinikihá y Pomona) y de la serranía de Chiapas (Palenque) (abundancia de cerámicas de arena de cuarzo)(Fig. 7.20).

### **Rancho Búfalo**

Rancho Búfalo se encuentra localizado a lo largo de la carretera 307, a 7 km. al oeste de la Laguna Oscura. El asentamiento está conformado por una serie de estructuras relativamente grandes que comprenden el núcleo del sitio. En la temporada del 2010, Charles y Golden (2010) pudieron apreciar restos de una tumba que había sido saqueada. Este año, la tumba fue excavada por el Proyecto Arqueológico Budsilhá-Chocoljá 2011. La orientación inusual de las estructuras, así como las vasijas y las hachuelas de piedra verde que se han reportado, parecían indicar que se trataba de un asentamiento preclásico (Golden y Scherer 2010).

Durante la temporada 2011, en el sitio de Rancho Búfalo, se realizaron pozos de sondeo en cuatro estructuras: ED5-3 (RB1A-1) la tumba anteriormente mencionada, la estructura D5-5 (RB1C-1), al norte de D5-4 (RB1E-1) y E5-2 (RB3A-1) y recolecciones de superficie en general. La muestra cerámica analizada durante la temporada de gabinete corresponde a un total de: 5,756 tiestos (27806.9 g.), de los cuales 5,096 (22,701.4 g.). Corresponden a materiales procedentes de los pozos, en tanto que 660 (5,105.5 g.) fragmentos corresponden a cerámicas procedentes de la recolección de superficie. El 77% de los materiales fueron identificados por pasta en tanto que el

27% corresponde al conjunto de tiestos a los que no se les asignó una pasta en particular.

Rancho Búfalo comprende el mayor volumen de tiestos que fueron analizados.

De acuerdo al análisis de clasificación múltiple que se encuentra en proceso preliminar, se puede decir que en los materiales de Rancho Búfalo se pudieron reconocer tres periodos cronológicos: Preclásico; Clásico Temprano y Clásico Tardío; siendo los más representativos los materiales cerámicos pertenecientes a los dos primeros periodos. De los materiales analizados es decir, de los 5,756 tiestos (27808.7 g.) en Rancho Búfalo un total de 1,583 tiestos quedaron incluidos en el conjunto de tiestos sin un periodo específico. En Rancho Búfalo, predomina la pasta carbonatada con respecto a los materiales de arena de cuarzo. Son pocos los materiales que preservaron su acabado superficial, y cuando este se conserva, predominan, los acabados pulidos y de superficie cerosa al tacto (materiales preclásicos) (Figuras 7.15 y 7.16 a-e). En los materiales de Rancho Búfalo, cerámicas de acabado de superficie lustroso (Clásico Temprano) son escasas en tanto que son predominantes los fragmentos cerámicos que tienen la superficie alisada o estriada que según sus atributos particulares pertenecen a los periodos Preclásico o Clásico Temprano (Fig. 7.16 d-e). En las cerámicas de Rancho Búfalo, abundan las cazuelas con el borde doblado hacia el exterior (Fig. 7.19 e-f) las ollas de cuello alargado (Fig. 7.17 a-d) y en menor proporción las ollas de cuellos bajos con las paredes delgadas (Fig. 7.18 a-e). Asimismo, se identificaron algunos fragmentos que muestran un engobe negro lustroso similar a los materiales Balanza negro que ha sido reportados de manera extendido en los sitios de las tierras bajas Mayas del sur pertenecientes al periodo Clásico temprano (Fig. 7.18 g).

Ahora también, en una de las excavaciones se hallaron grumos de arcilla, que sugieren ciertas actividades relacionadas con la preparación de arcilla por parte de los antiguos habitantes de Rancho Búfalo (Figuras 7.21c, 7.22 a-c, 7- 23 a-d, 7.24 c, e, y 7.25 b).

## **La Laguna y La Planada**

Son dos asentamientos que fueron localizados durante los trabajos arqueológicos del 2011, a los cuales para su localización, se les asignaron coordenadas GPS. En La Planada se realizó la recolección de materiales de superficie en tanto que en la Laguna se realizó un pozo de sondeo en LL-A1-1 así como la recolección de materiales de superficie.

La muestra cerámica de la planada suma un total de 65 (380.6 g.) fragmentos que proceden de la superficie. En general, los materiales de la planada tienen correspondencia temporal con los periodos Clásico temprano y Clásico Tardío. Pastas carbonatas y arenosas constituyen la muestra analizada (Figuras 7.5 y 7.6). Entre los materiales carbonatados se observaron algunos fragmentos de cazuelas con el borde doblado hacia el exterior (Fig. 7.17e) o de cuello bajo con las paredes delgadas (Fig. 7. 18 e). De igual manera que en la colección de Rancho Búfalo, se reportó un fragmento de tradición Tzakol, similar a la cerámica Balanza negro del sur de las tierras bajas mayas (Fig. 7.18 f).

Por otra parte los fragmentos cerámicos de La Laguna, suman un total de 381 fragmentos (1686.2 g.). (Figuras 7.7 y 7.8). De este conjunto de tiestos 49 (201.8 g.) Corresponden a pozos y de superficie suman un total de 332 fragmentos (1484.4 g.). De igual manera que en La Planada, los materiales de La Laguna corresponden en tiempo a los periodos Clásico Temprano y Clásico Tardío. En La Planada un 77% fueron clasificados en pastas y un 23% quedaron sin identificarse. En La Laguna un 88% fueron identificados por pasta y un 12% no fueron asignados a un periodo cronológico específico (Figuras 7. 20f, 24 b, d).

## **Flores Magón**

El sitio de Flores Magón se encuentra localizado a lo largo del borde sureste de la comunidad moderna de Flores Magón, a unos 2.5 km. al sureste de Rancho Búfalo. Este asentamiento se conforma de grupos nucleados de estructuras bajas y alargadas. El diseño largo y angosto de los montículos combinado con la densidad de su disposición es altamente inusual para la región y parece indicar que el sitio no corresponde al periodo Clásico (Golden y Scherer 2010:21).

En el sitio de Flores Magón se realizaron excavaciones de sondeo en cinco zonas: entre F5-9 y F5-10 (FM3A-1), E5-2 (FM1B-1), suroeste de E5-2 (FM1C-1), al este de F5-9 (FM4A-1), en E5-3 (FM4A-1) y E6-3 (FM6A-1) así como recolección de materiales de superficie.

La muestra cerámica analizada durante la temporada de gabinete corresponde a un total de 521 tiestos (2983.4 g.) de los cuales 453 fragmentos (2, 212.4 g.) corresponden a materiales procedentes de los pozos en tanto que 78 fragmentos (771 g.) son cerámicas procedentes de la recolección de superficie. 75% de los materiales fueron identificados por pasta en tanto que un 25% no fueron asignados a una categoría de pasta particular (Figuras 7.9 y 7.10). Los materiales de Flores Magón se encuentran representados por pastas y formas cerámicas de los periodos Clásico Temprano y Clásico Tardío. Es importante señalar la clara ausencia de materiales preclásicos y la presencia definida de materiales Usumacinta similares a los de la sierra de Chiapas: Palenque y Chinikihá, como en el caso de las ollas de cuello bajo con la pestaña basal y cajetes de paredes curvas-divergentes son típicos de las cerámicas que caracterizan al Complejo cerámico Murciélagos y Balunté de Palenque y la Horizonte Murciélagos-Balunté de Chinikihá (Rands 1967; Jiménez et al. 2011b) (Fig. 19d). En algunos contextos analizados, se hallaron restos de incensarios del periodo Clásico Temprano (Figuras 7.21b, 7.22d, 7.24a).

## **Budsilhá**

El asentamiento de Budsilhá, llamado así por el río cercano con el mismo nombre. Una plataforma primaria colapsada así como otras estructuras se han reportado en el sitio. En los escombros de lo que pudieron haber sido algunas estructuras quizá abovedadas se hallaron abundancia de tiestos del periodo Clásico (Golden y Scherer 2010:23). En Budsilhá se realizaron excavaciones en cuatro áreas: al sur de D6-4 (BU1B-1); al sur de D7 – 5 (BU2B-1); al noroeste de D6-4 (BU1C-1) y al norte de D6-5 (BU1D-1) y se realizó la recolección de materiales de superficie.

La muestra cerámica de Budsilhá analizada durante la temporada de gabinete corresponde a un total de 790 tiestos (1307 g.) de los cuales 726 fragmentos (1139 g.) procedentes de los pozos en tanto que 64 tiestos (168 g.) fragmentos corresponden a cerámicas procedentes de la recolección de superficie. Un 77% de los fragmentos fueron clasificados por pastas en tanto que un 23% quedaron sin clasificación. (Figuras 7.11 y 7.12). Al igual que Flores Magón, los materiales de Budsilhá se encuentran representados por pastas y formas cerámicas de los periodos Clásico Temprano y Clásico Tardío. De nueva cuenta, es importante señalar la clara ausencia de materiales preclásicos.

## **La Mar**

El asentamiento La Mar se localiza, corresponde al asentamiento maderero mencionado por Maler. Se trata de un asentamiento con cierta autonomía sociopolítica en la región. El núcleo del asentamiento consiste en una plaza delimitada por dos pirámides gemelas al este y oeste y al norte un montículo bajo y alargado. El asentamiento es extenso y al norte de la plaza central se vislumbra una serie de montículos grandes que son visibles desde la carretera. El

asentamiento muestra la presencia de arquitectura monumental, evidencia de estelas y de un juego de pelota (Golden y Scherer 2010).

Durante la temporada de excavación del 2011, en la Mar se realizaron excavaciones en cuatro áreas: al oeste de la estructura D3-3 (LM1A-1), al noroeste de la estructura de E3-1 (LM2A-1); al sur de D2-1 (LM3A-1) y al este de B2-2(LM5A-1) además de recolección de materiales de superficie.

Una cantidad de 1801 tiestos (7, 252.8 g.) proceden de la Mar, de los cuales 1,344 fragmentos (3, 004.6 g.) provienen de pozos, y 457 fragmentos (4, 248.2 g.) de recolección de superficie (Fig. 7.13).

La similitud con el sitio de Rancho Búfalo es significativa por la alta cantidad de material cerámico del periodo preclásico seguido por materiales del periodo clásico temprano. Cabe mencionar que este sitio presenta la mayor cantidad de materiales erosionado del proyecto. Hasta ahora, los materiales del periodo Clásico Tardío, son poco representativos. Además es interesante hacer la mención del hallazgo en tres pozos de sondeo de grumos de arcilla, que se están considerando como posibles indicadores de manufactura cerámica. (Figuras 7.14 y 7.25 a).

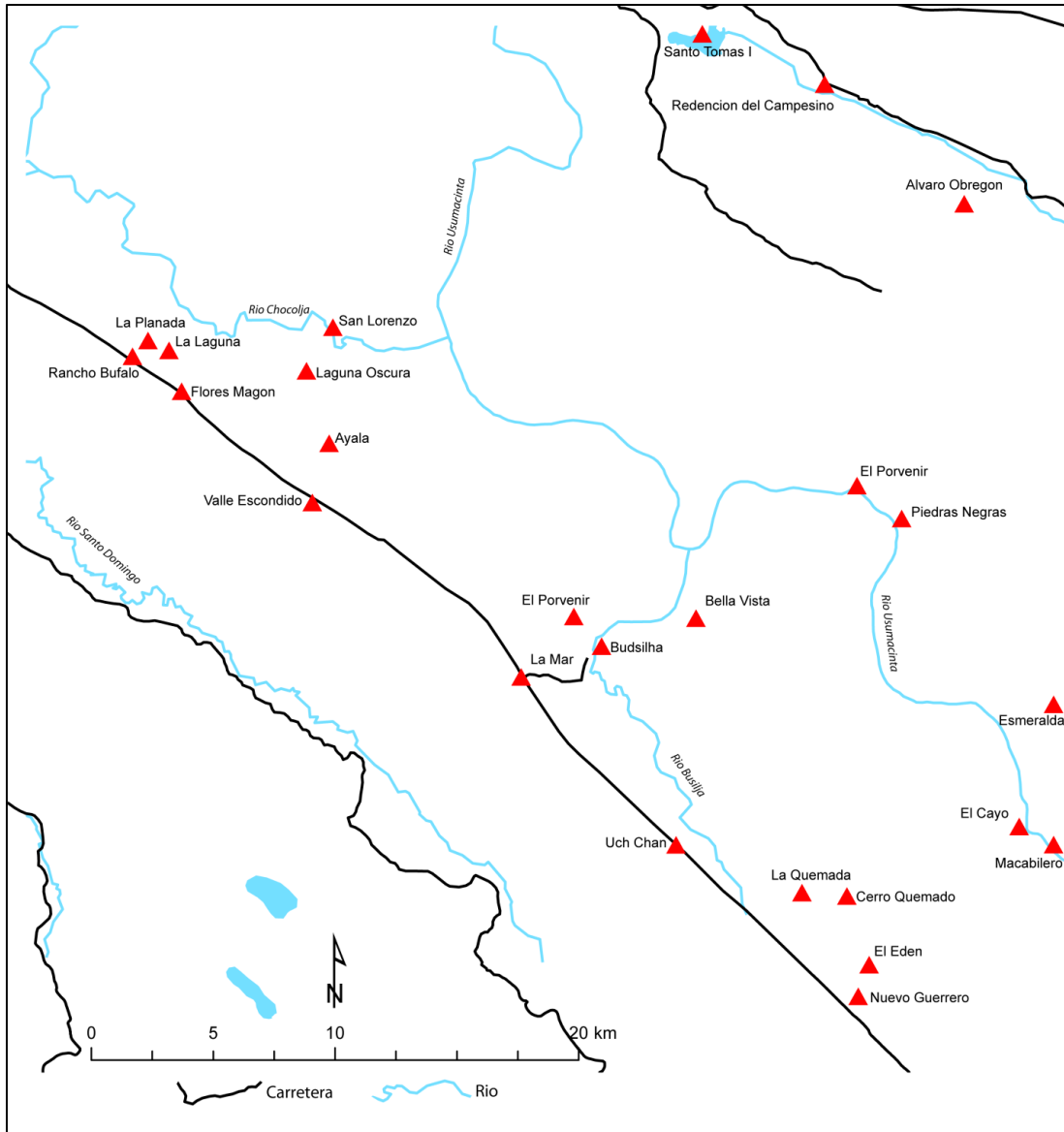


Figura 7.1. Mapa regional mostrando los sitios arqueológicos.

<b>Pasta</b>	<b>Cantidades</b>	<b>Peso</b>	<b>Porcentaje</b>
1. Talcosa	6	9.2	0.06%
2. Gris Fino	19	26.8	0.20%
3. Anaranjada fina	11	12	0.11%
4. Negro fino	5	20.6	0.05%
5. Café fino	1	2.2	0.01%
6. Arenosa	524	1493.8	5.62%
9. Caolinotica	28	149.2	0.30%
10. Aluvi3n	28	160.2	0.30%
11. N3cleo de textura jabonosa	33	110	0.35%
12. De textura rasposa	2	9.4	0.02%
14. Gredosa Crema con oxidaci3n completa	2	18.6	0.02%
15. Rasposa de paredes delgadas con n3cleo negro	4	2.6	0.04%
17. Pasta gredosa oxidada	4	10.6	0.04%
18. Arenosa rojiza oxidada	18	90.6	0.19%
19. Carbonatada con restos de engobe Pet3n lustroso	106	587.8	1.13%
20. Carbonata compacta	119	1172.7	1.27%
22. Carbonatada	3059	15317.4	32.81%
23. Pomacea	19	89.2	0.20%
25. Miscel3nea	16	192.2	0.17%
26. Miscel3nea pos. Precl3sica	161	1119.4	1.72%
30. Carbonato burdo	1163	7204	12.47%
31. Carbonato Fino	51	568.4	0.54%
32. Carbonatada con restos de engobe waxy	597	3432.7	6.40%
33. Carbonatada fina con paredes delgadas	537	1948.5	5.75%
34. Carbonatada amarillenta	56	261.1	0.60%
35. N3cleo negro	87	1548.2	0.93%
36. N3cleo negro de part3culas blancas	178	1456.8	1.90%
No identificadas	2489	4399.1	26.69%
<b>TOTAL</b>	<b>9323</b>	<b>41413.3</b>	<b>100%</b>

Figura 7.3. Tabla de categor3as de pastas de la colecci3n general.

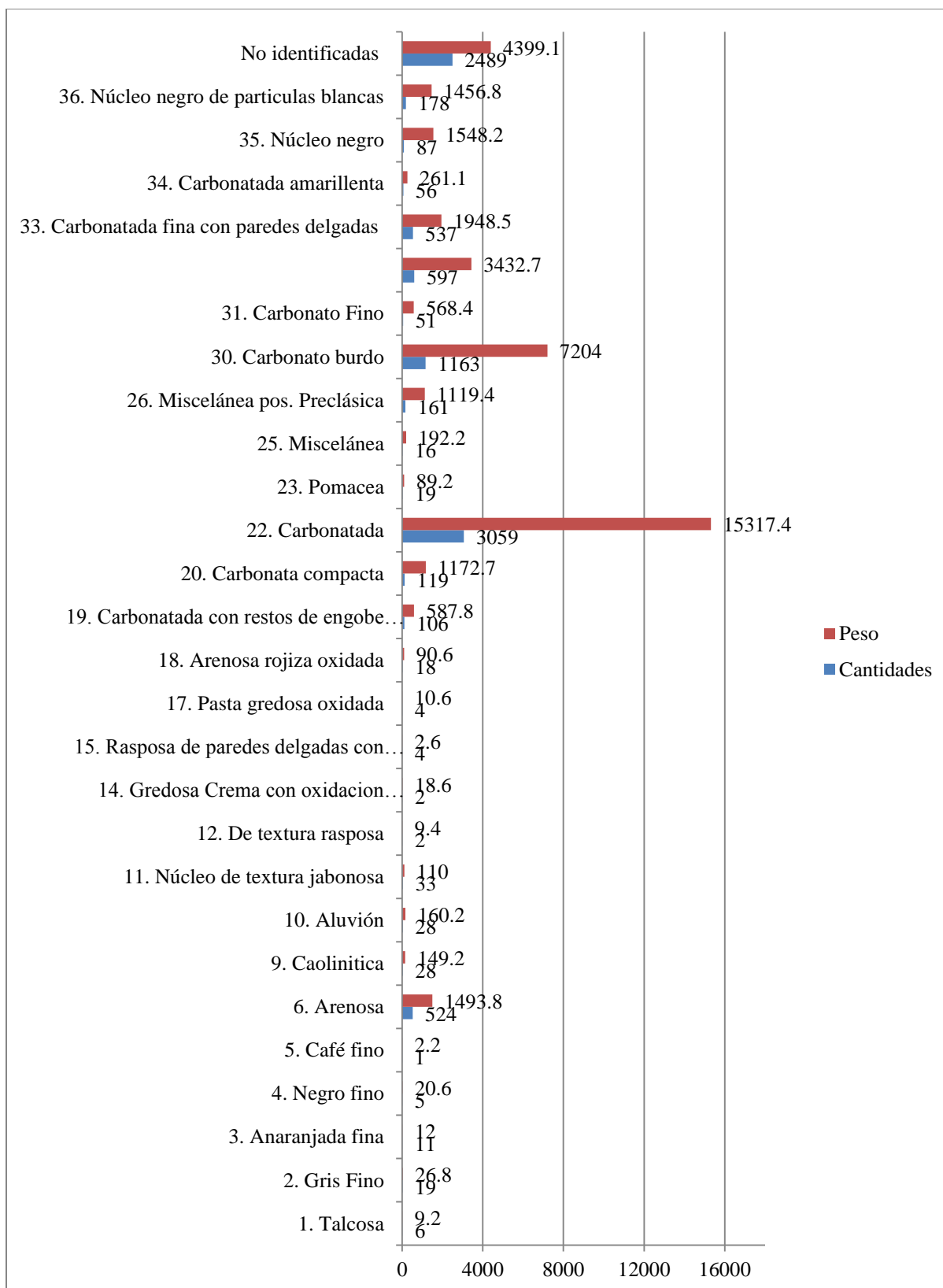


Figura 7.4. Gráfico de categorías de pastas de la colección general.

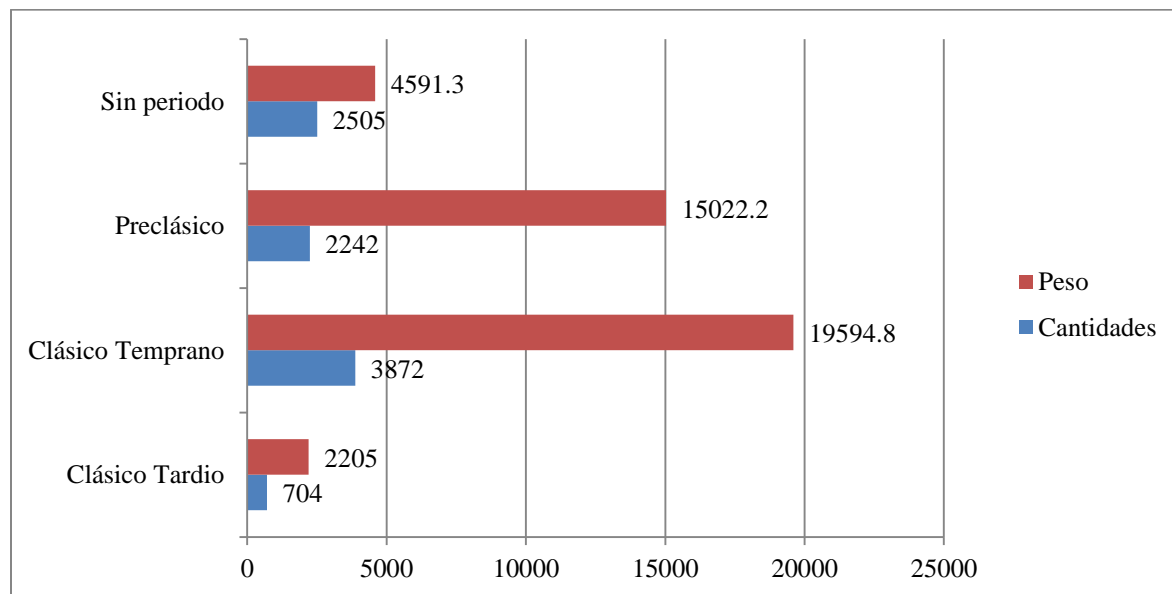


Figura 7.5. Categorías de pastas por periodo cronológico de la colección general

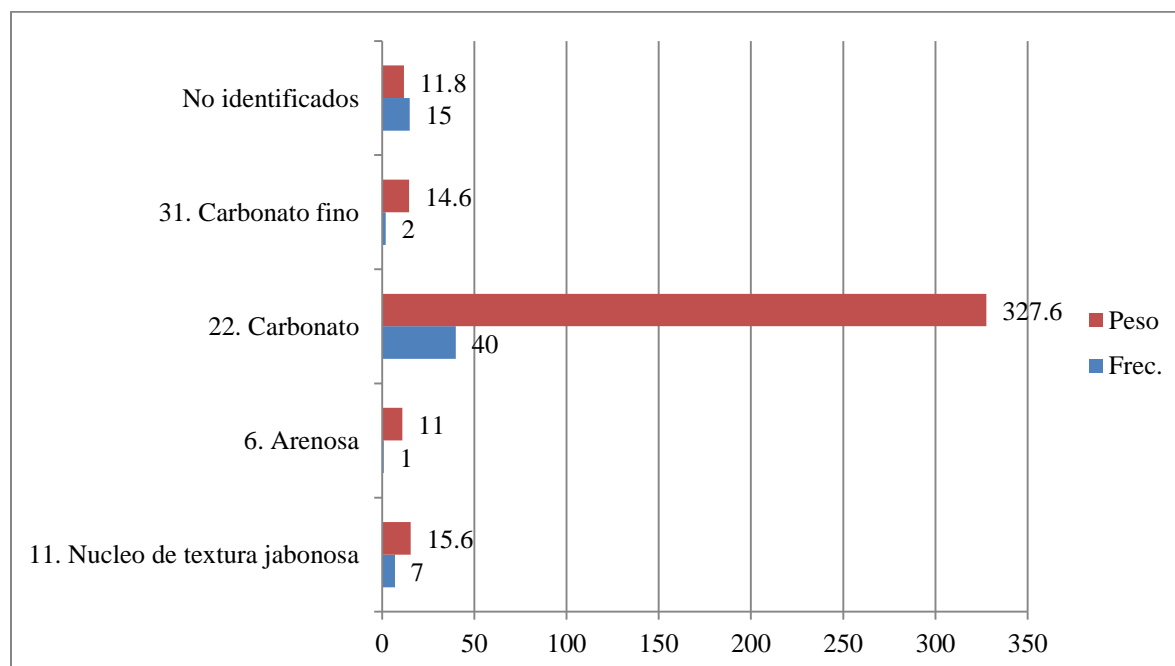


Figura 7.6. La Planada Tabla de clasificación de pastas.

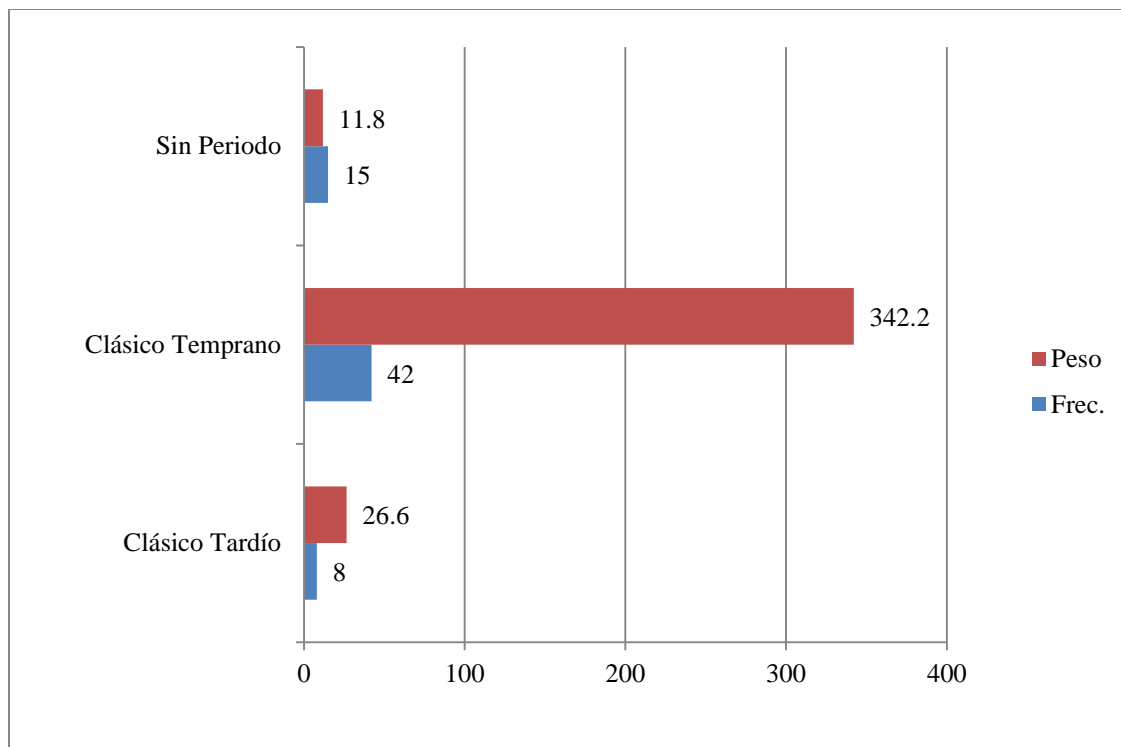


Figura 7.7. La Planada Cronología de las pastas.

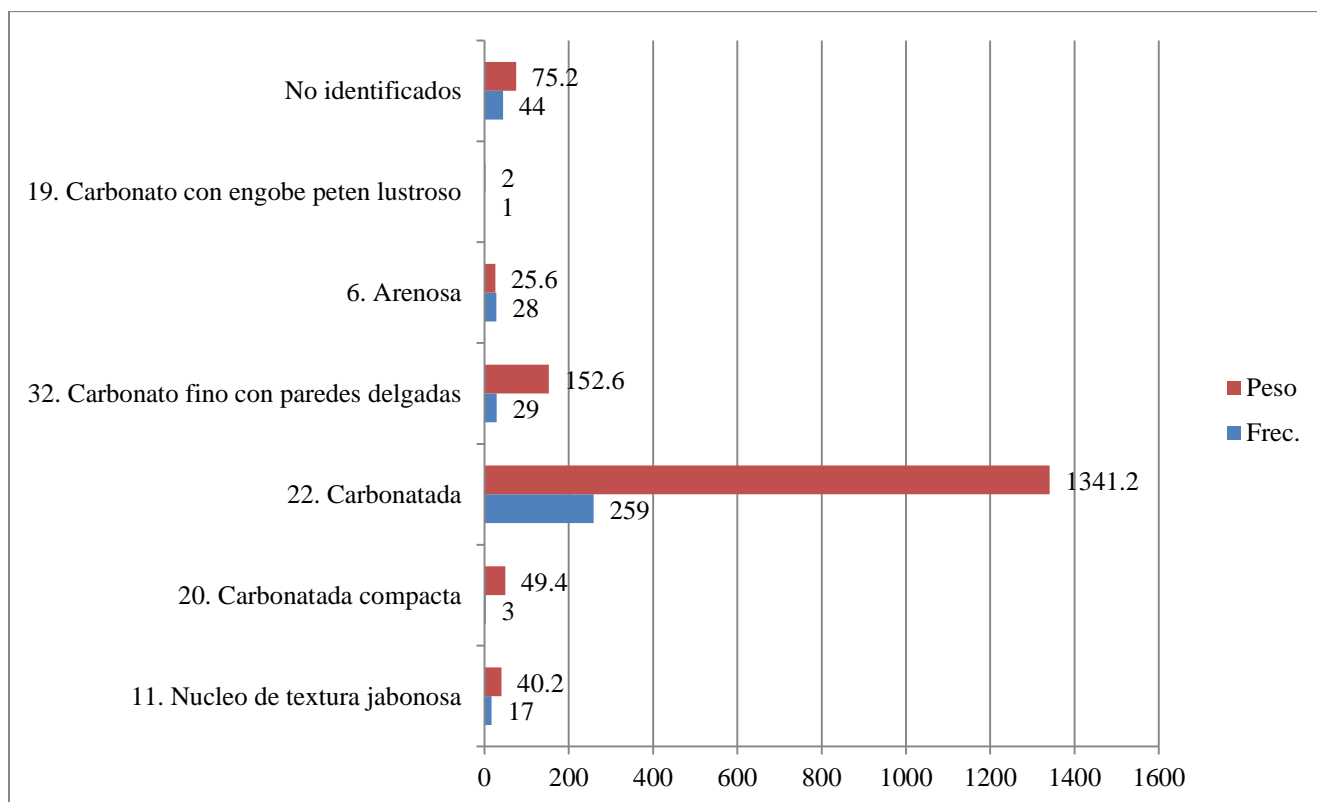


Figura 7.8. La Laguna Clasificación de las pastas

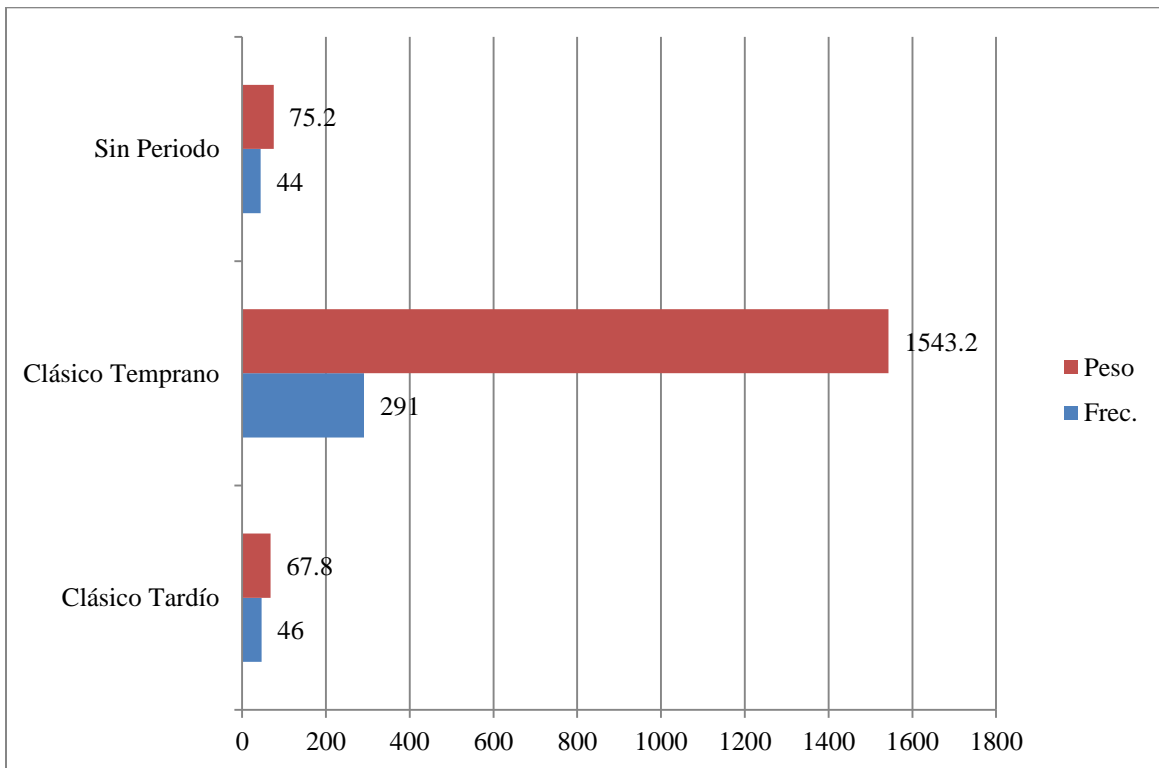


Figura 7.9. La Laguna: Cronología de las pastas.

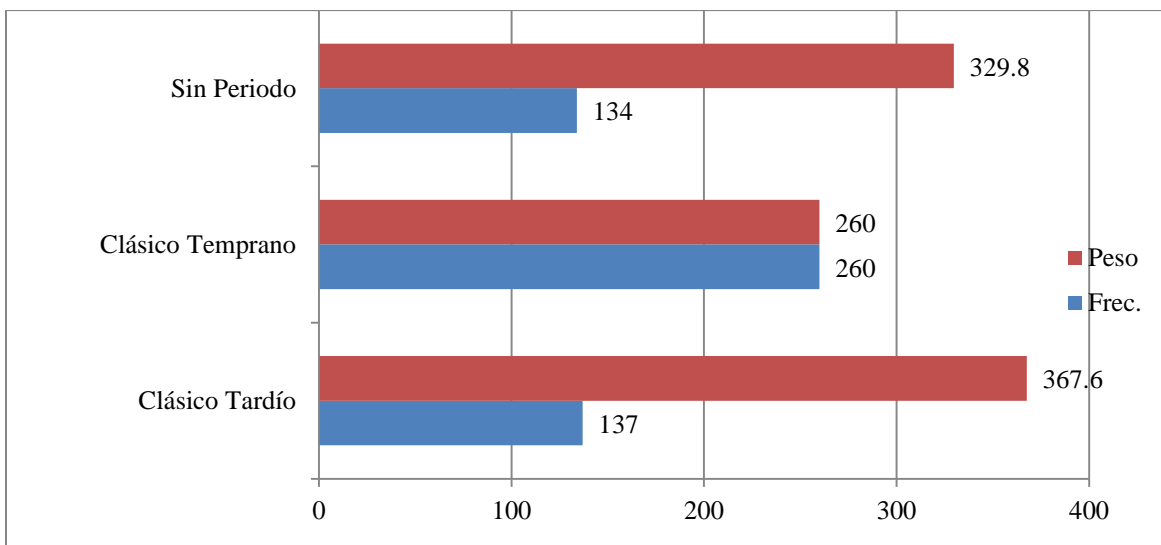


Figura 7.10. Flores Magón. Cronología de las pastas.

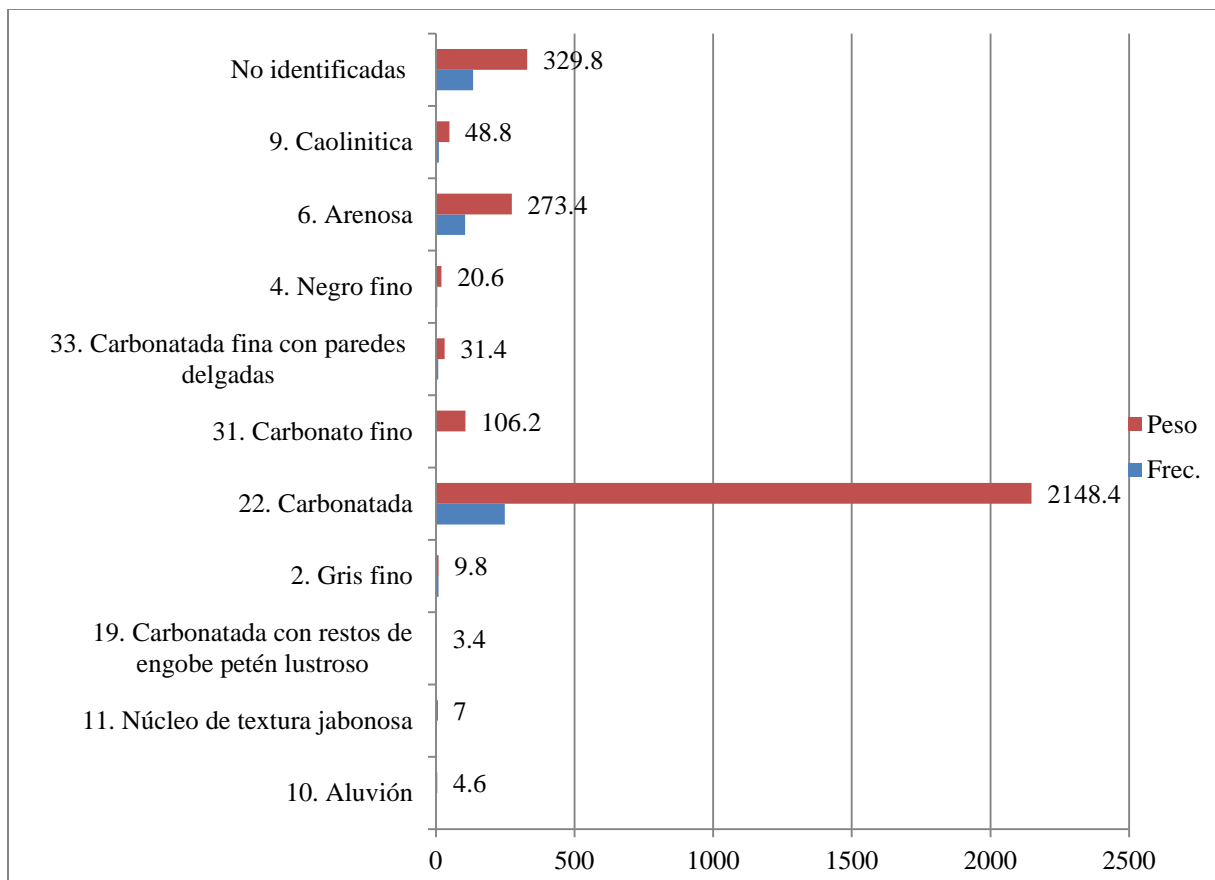


Figura 7.11. Flores Magón. Categoría de las pastas.

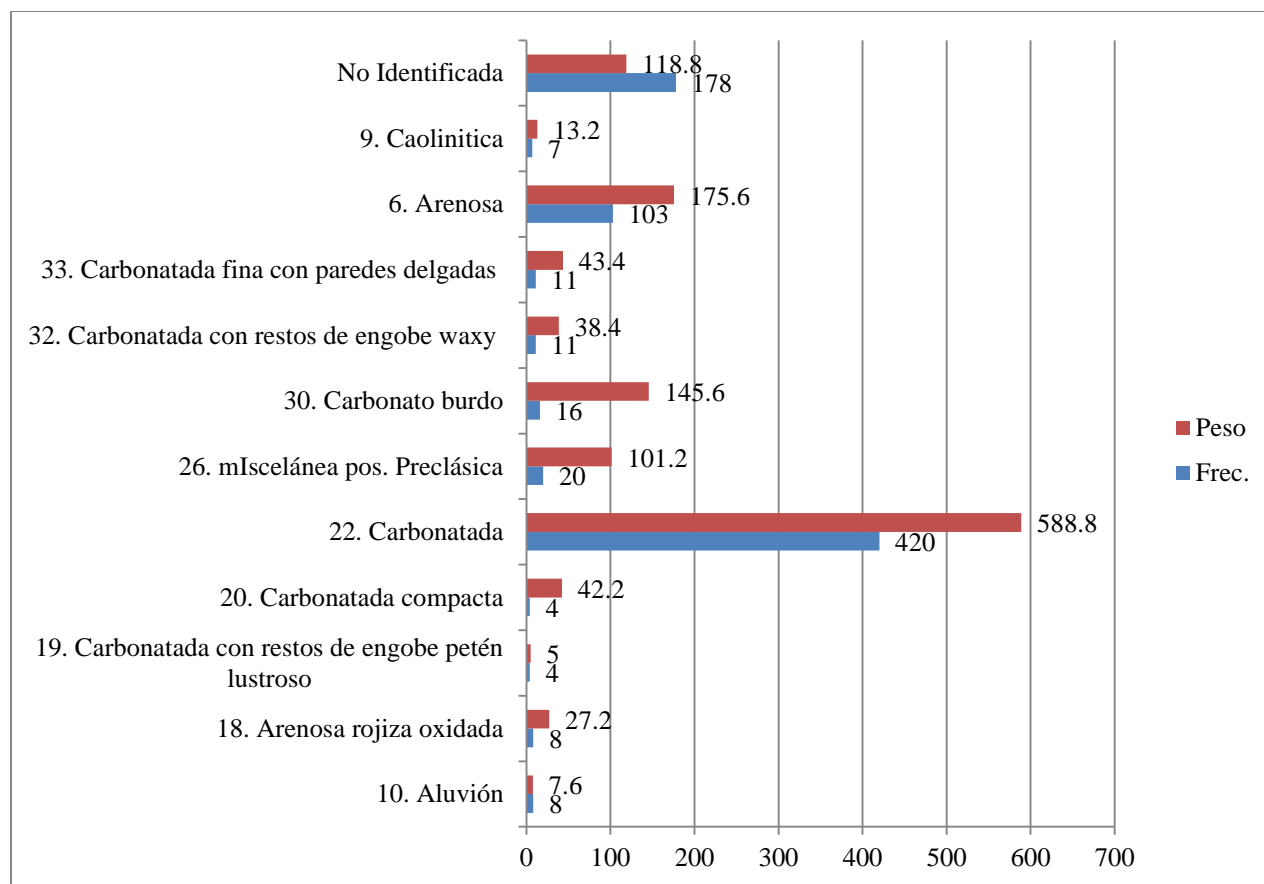


Figura 7.12: Budsilhá. Categoría de las pastas.

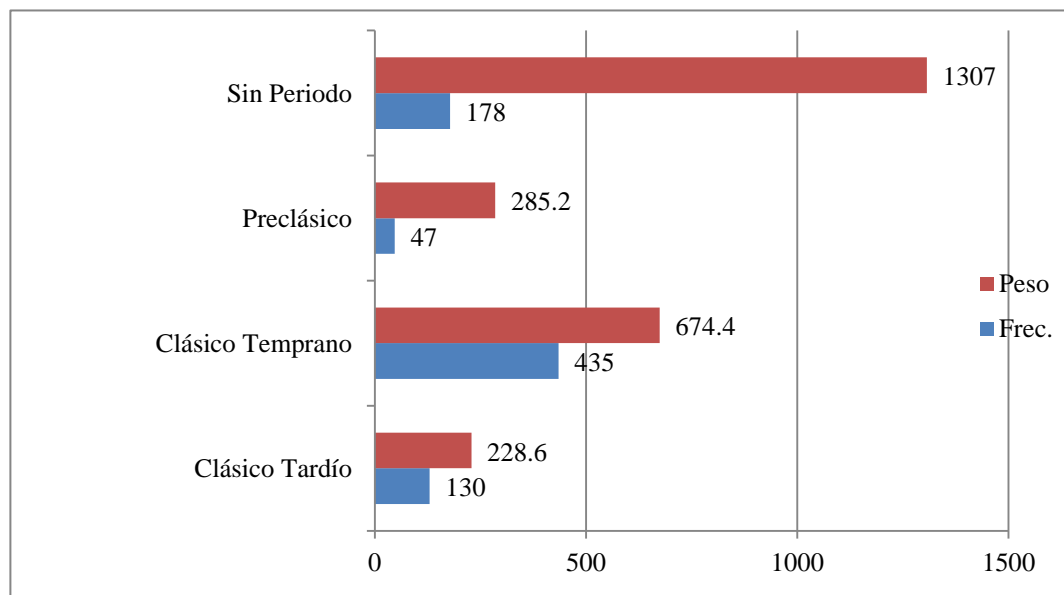


Figura 7.13: Budsilhá. Categoría de las pastas.

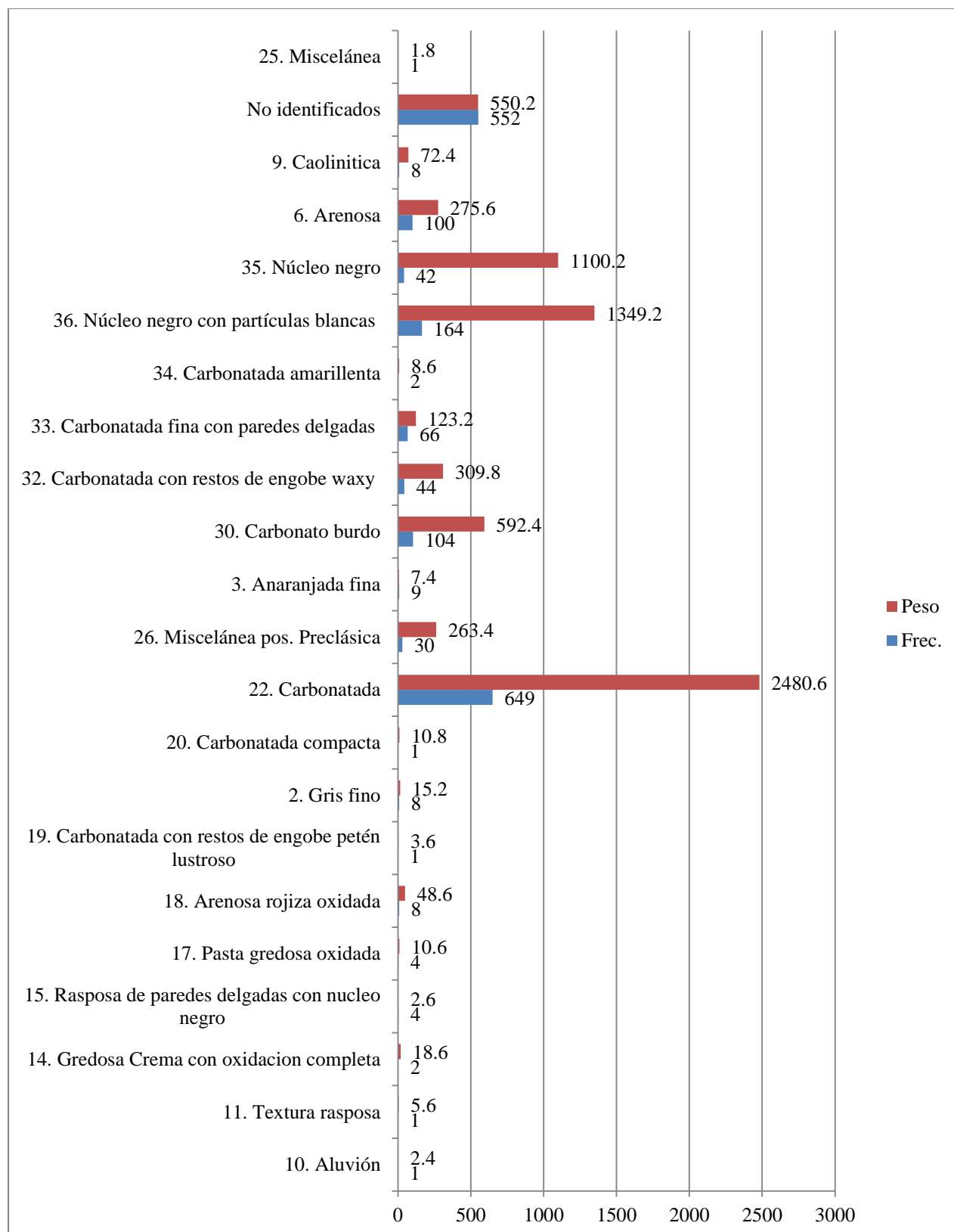


Figura 7.14. La Mar Categoría de las pastas

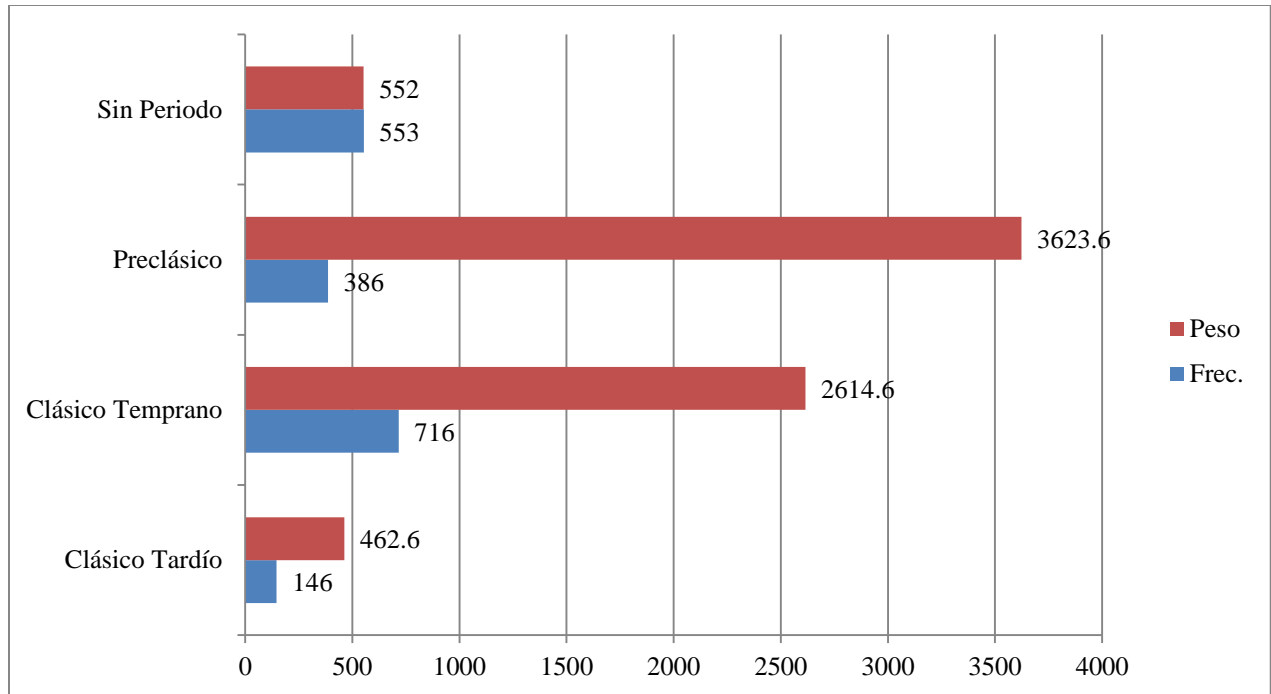


Figura 7.15. La Mar Cronología de las pastas.

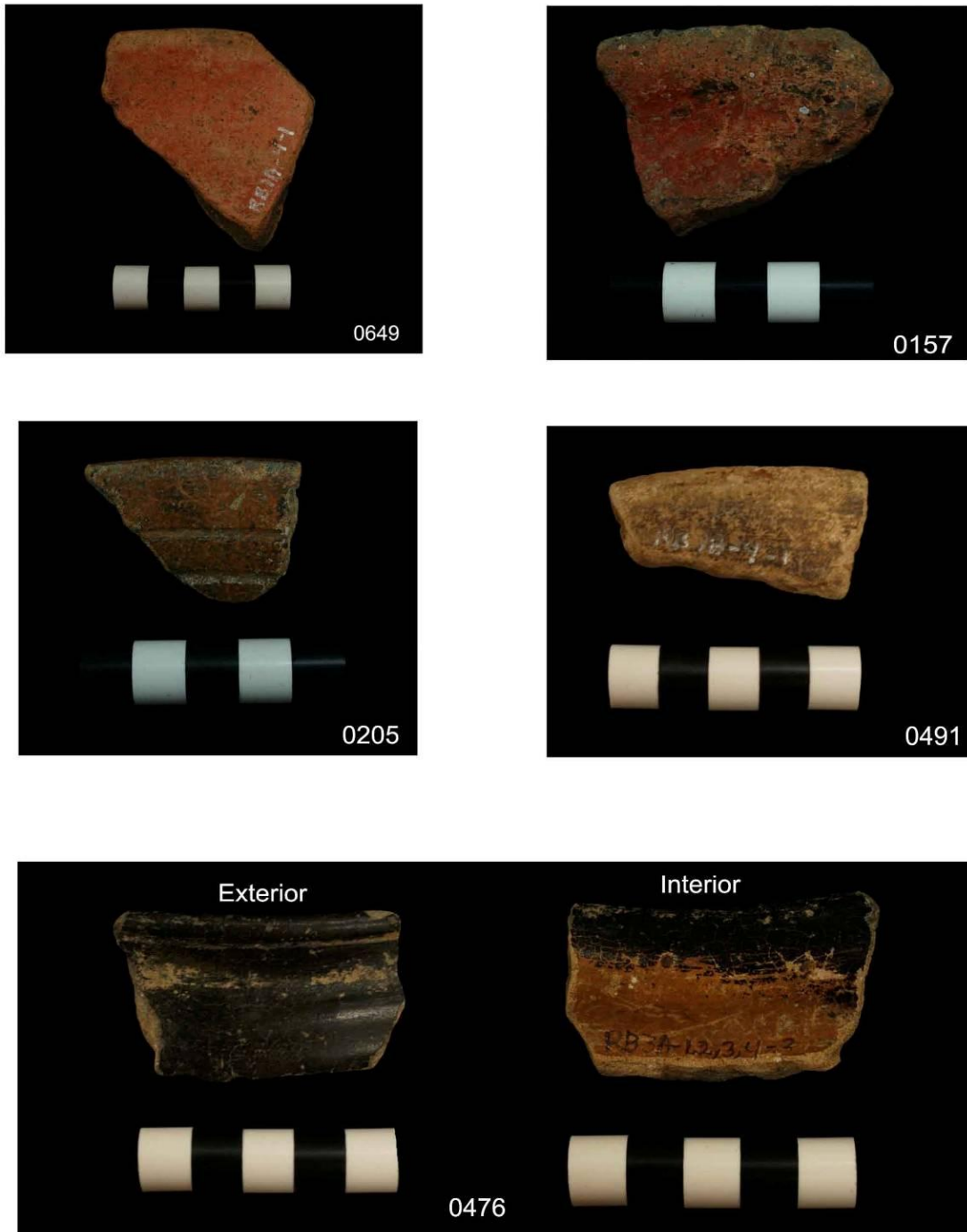


Figura 7.16. Materiales preclásicos de Rancho Búfalo. Pastas carbonatadas con engobes “cerosos” (código 32).

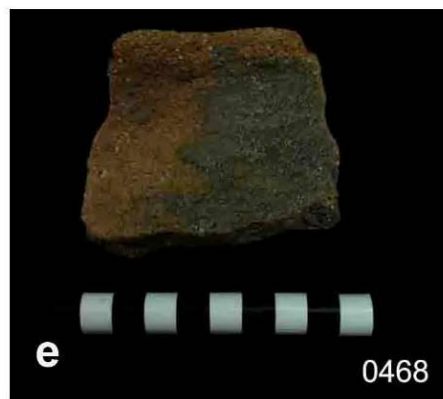


Sitio: Rancho Bufalo



Sitio: Budsilha

Pasta: Carbonato burdo (30)



Sitio: Rancho Bufalo

Figura 7.17. Materiales preclásicos de Rancho Búfalo. Pastas carbonatadas con engobes

“cerosos” (código 32) y pastas carbonatadas burdas (código 30).

Pasta: Carbonatada (22)



Sitio: Rancho Bufalo



Sitio: Rancho Bufalo

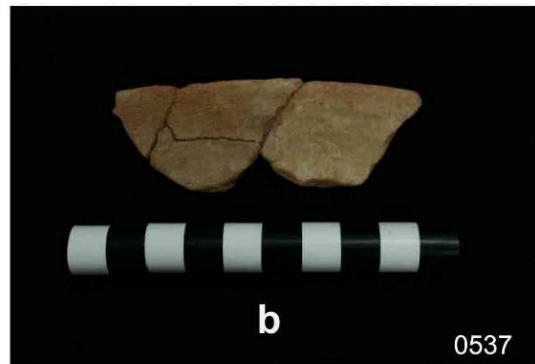


Sitio: La Planada

Figura 7.18. Materiales de periodo Clásico temprano. Pastas carbonatadas (código 22).

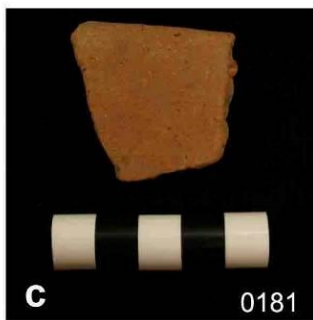


Sitio: La Laguna



Sitio: Rancho Bufalo

## Pasta: Carbonato fino (31)



Sitio: Rancho Bufalo



Sitio: Rancho Bufalo



Sitio: La Planada

## Pasta: Carbonatada con engobe Petén lustroso (19)

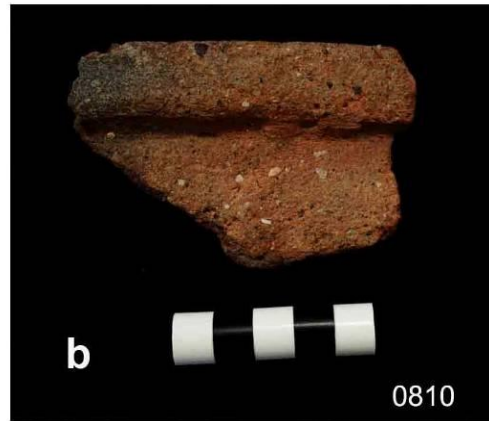


Sitio: La Planada



Sitio: Rancho Bufalo

Figura 7.19. Materiales de periodo Clásico temprano. Pastas carbonatada fina de paredes delgadas (código 33) y con carbonatadas con engobe Petén lustroso (código 16).



Sitio: La Planada



Sitio: La Planada



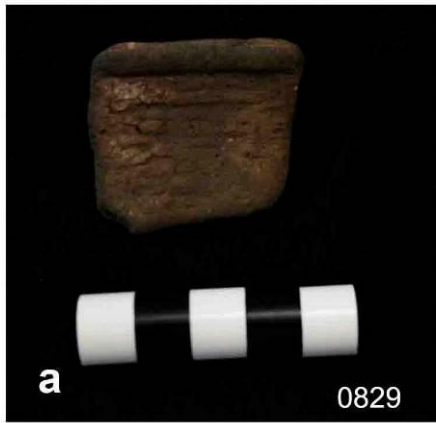
Sitio: Flores Magon



Sitio: Rancho Bufalo



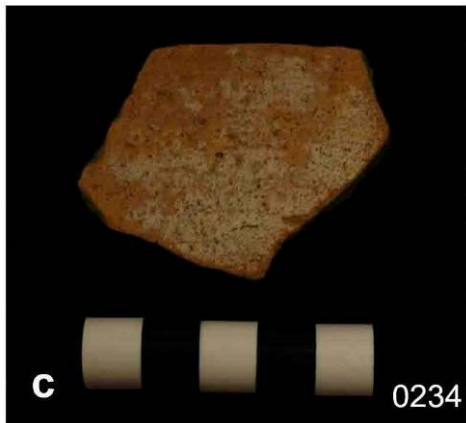
Figura 7.20. Materiales de los periodos Preclásico y Clásico temprano. Pastas carbonatadas (código 22).



Sitio: La Planada



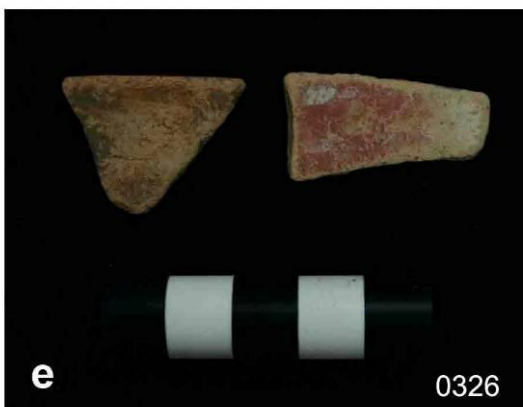
Sitio: Rancho Bufalo



Sitio: Rancho Bufalo



Sitio: La Planada

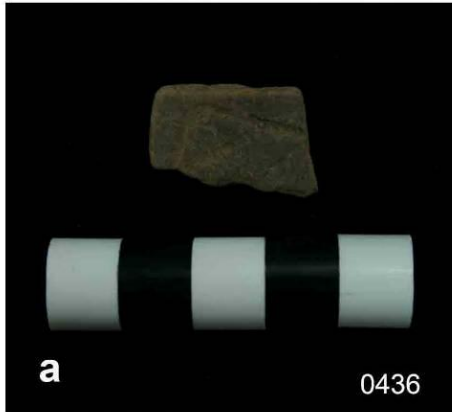


Sitio: Rancho Bufalo



Sitio: La Laguna

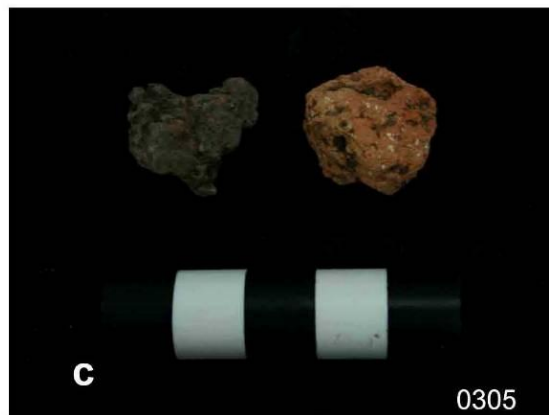
Figura 7.21. Materiales de pasta arenosa del periodo Clásico Tardío (código 6).



Pasta: Gris fino (2)  
Sitio: Rancho Bufalo



Pasta: Negro fino (4)  
Sitio: Flores Magon



Grumos  
Sitio: Rancho Bufalo

Figura 7.22. Materiales gris fino (código 2) Negro fino (código 4) del periodo Clásico tardío y grumos de arcilla.

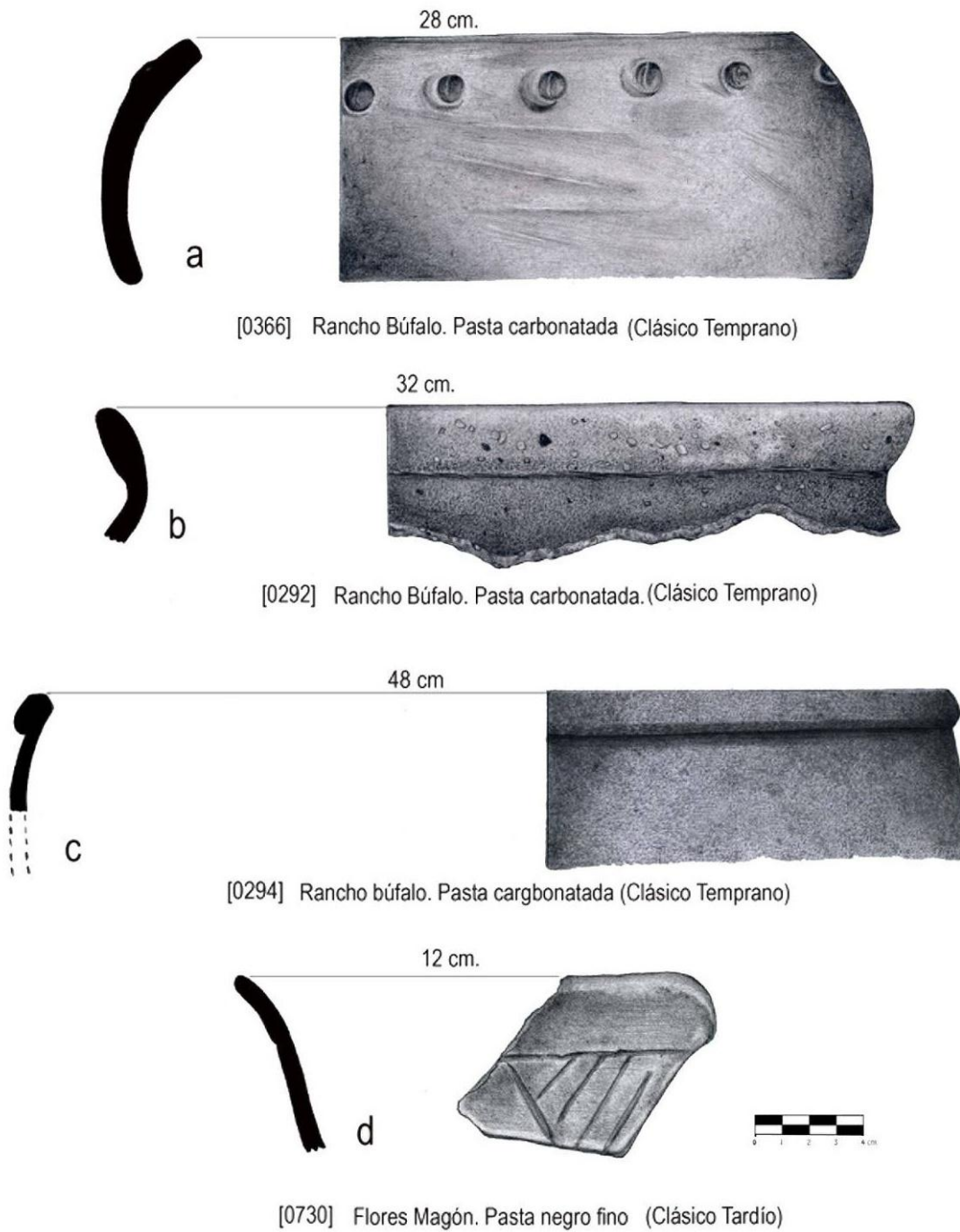
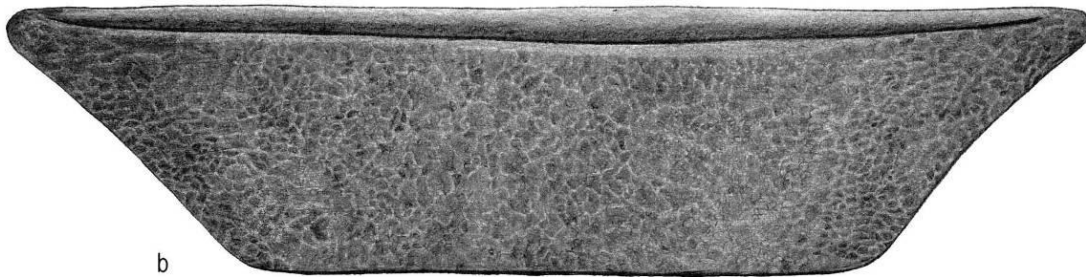


Figura 7.23. Pasta carbonatada (código 22) (a-c); pasta negro fino (código 4).



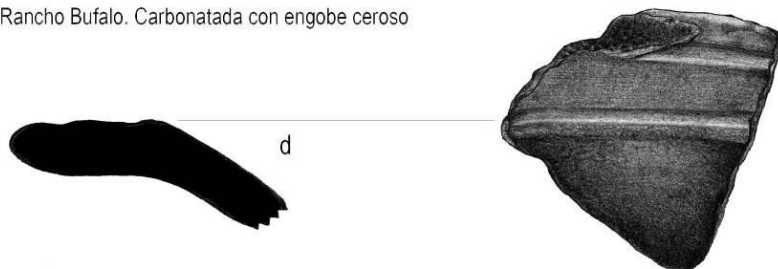
[0472] Rancho Bufalo. Carbonatada burda.



Reconstrucción hipotética de un cajete preclásico.  
[0604]. Rancho Búfalo.

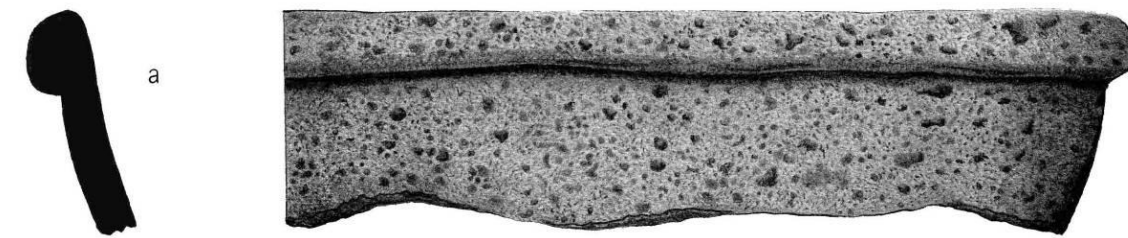


[0776] . Rancho Bufalo. Carbonatada con engobe ceroso

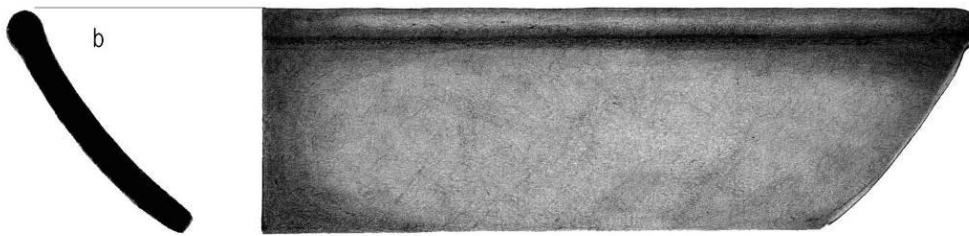


[0383] Rancho Bufalo. Carbonatada con engobe ceroso

Figura 7.24. Pasta carbonatada (código 22) (a-c); pasta negro fino (código 4).



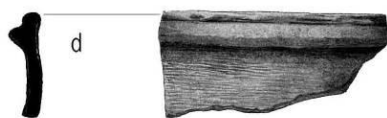
[0368. Flores Magón. Pasta carbonata (erosionada)



[0368] La Laguna. Pasta carbonata.



[0572] Rancho Bufalo. pasta carbonatada.

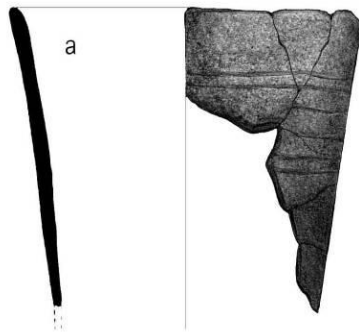


[0795]. La Laguna. pasta arenosa.



[0297] Rancho Bufalo. pasta carbonatada.

Figura 7.25. Pasta carbonatada (código 22).



[0999]. La Mar. Clásico Tardío. Pasta arenosa.



[0598] Rancho Búfalo. Carbonato burdo.

Figura 7.26. Arenosa (código 6) y pasta carbonatada burda (código 30).

## CAPITULO 8

### Conclusiones

Charles Golden y Andrew K. Scherer

Con los resultados de la temporada de campo y los estudios preliminares de laboratorio, hemos avanzado el conocimiento de la región y establecido una fundación para realizar investigaciones más amplias en las temporadas subsecuentes. De las metas principales de la temporada, se entiende más de los patrones de intercambio debido a los estudios preliminares de cerámica y observaciones en campo, más de los patrones del asentamiento, las relaciones espaciales entre los sitios, la relación entre el paisaje y los patrones de asentamiento, y los patrones agrícolas antiguas. Aunque son resultados preliminares, podemos juntar los detalles de los datos del Proyecto Arqueológico Busiljá-Chocoljá con los datos publicados de otros proyectos en la región del Usumacinta Medio para clarificar y llenar unos huecos en los datos nuestros.

#### **Patrones de Vínculos Materiales e Intercambio**

Además que la cerámica, tenemos muy poco evidencia de los patrones de intercambio entre los sitios que han sido explorado por el PABC y otros regiones. La obsidiana, por supuesto indica conexiones con zonas volcánicas, y aunque no ha realizado un estudio de las fuentes de obsidiana, las observaciones preliminares basándose en los colores de las navajas y lascas sugieren fuentes en el altiplano de Guatemala como San Martin Jilotepeque y El Chayal entre otros. No se encontró ningún fragmento de obsidiana verde que pueden indicar las fuentes de México central tales como Pachuca. Es obvio que el sitio Rancho Búfalo, con su asentamiento mayormente del periodo Preclásico, muestra cantidades más elevadas de obsidiana que los sitios con su mayor época de ocupación en el periodo Clásico, aunque no se puede sugerir una explicación en el momento y es muy posible que las excavaciones en el futuro cambiaran este patrón.

Otro material interesante en términos de los patrones de intercambio regional es el jade. Aunque no se encontró jade durante las excavaciones de 2011, una familia particular en el pueblo actual de Ricardo Flores Magón mostro un bloque de jade pesando aproximadamente 5 kilos recortado antiguamente en dos piezas para la producción de placas que se recuperó del

derrumbe de edificios destruidos por maquinas constructores que trabajaron en la carretera hace unas décadas. Un solo bloque de jade normalmente no se puede indicar mucho, pero es interesante debido a los resultados de las investigaciones en el capital dinástico de Piedras Negras, Guatemala.

En Piedras Negras, han sido excavados un total de 122 entierros entre los distintos proyectos arqueológicos (Coe 1959; Houston, et al. 2003; Scherer et al. 2007). De los 122, solamente 12 de los entierros (9.8%) presentaron jade. Entre los 12 que contuvieron jade, los más elaborados eran Entierro 5 y Entierro 13, los del Gobernante 3 y 4. Los Gobernantes 3 y 4 eran los reyes de Piedras Negras en su apogeo de poder durante el Siglo XIII (Coe 1959; Escobedo 2004). Aunque se encontraron un total de 199 artefactos de jade y otra piedra verde en el Entierro 5 y se encontraron 108 artefactos de jade y piedra verde en el Entierro 13, los Mayas de Piedras Negras tuvieron la necesidad de incluir collares hechos de cientos de cuentas de barro pintadas en azul-verdoso para imitar el verdadero jade (Figure 6; Barrientos, et al. 1997; Butler 2005: 128; Coe 1959).

Una comparación con la cantidad de jade en el sitio de Palenque nos ayuda entender la pobreza de Piedras Negras en términos de este material, e indica que tal falta en Piedras Negras no era solamente el resultado de su distancia desde los fuentes de jade en la cuenca del Rio Motagua. De los 51 entierros publicados de Palenque, 35 (68.6%) mostraron por lo menos un objeto de jade. El entierro más opulento de Palenque es la tumba de K'inich Janaab Pakal (fallecido 683 d.C.), con 736 piezas de jade (Ruz Lhuillier 1973), incluso la máscara mosaico hecha de téseras múltiples de jade, que por el momento se considera como un solo objeto de jade.

Aunque los datos completos para los entierros de Yaxchilan no han sido publicados, la evidencia disponible de las tumbas de los gobernantes de Yaxchilan indican un acceso mayor a los fuentes de jade que sus contrapartes en Piedras Negras. La Tumba 3, el probable entierro de la reina Señora K'abal Xook (fallecida en 729 d.C., el mismo año que el Gobernante 3 de Piedras Negras), contuvo 436 piezas de jade y otras piedras verdes. En la Tumba 2, posiblemente el entierro de Escudo Jaguar III (fallecido en 742 d.C.) se encontró 476 objetos de jade y otras piedras verdes (García Moll 2004b).

Con esta información comparativa, el bloque de jade en Flores Magón sugiere algo interesante: Se puede decir con alguna confianza que los gobernantes de Piedras Negras no

tuvieron acceso a recursos de jade tales como el bloque grande de jade encontrado en Flores Magón para la producción de cuentas y otros objetos en cantidades comparables a sus contrapartes en Palenque y Yaxchilan. Es posible que las realidades políticas y militares de la región bajo el nivel de jade que pudiera llegar a Piedras Negras, y que los sitios dentro de las zonas de influencia de otros reinos – o en las zonas fronterizas fuera del control de otros reinos – como Flores Magón tuvieron un acceso más amplio al material tan precioso.

### **Patrones de Asentamiento, Relaciones Temporales, y el Paisaje**

Los resultados preliminares del análisis de cerámica indica un patrón de común en la región en términos cronológicos. En los sitios de La Mar, Flores Magón, La Laguna, y Budsilhá la cerámica pertenece mayormente al periodo Clásico Tardío. Sin embargo el sitio de Rancho Búfalo obviamente tuvo su ocupación mayor durante el periodo Preclásico, con una reocupación menor durante el periodo Clásico. Parece que Rancho Búfalo era un sitio de alguna importancia hasta el Preclásico terminal, tal vez alrededor de 350 d.C. cuando los pobladores abandonaron el sitio, tal vez concentrándose en Palenque u otro centro dinástico a los principios del periodo Clásico. Durante el Clásico Tardío la población regional subió, pero creció el cercano sitio de Flores Magón como la sede de poder dejando mayormente abandonado el epicentro de Rancho Búfalo.

La distribución de sitios arqueológicos es principalmente determinada por el acceso a los recursos de agua y el sistema de drenaje desde la Sierra Guiral hacia el Rio Usumacinta. Donde hay arroyos (cada 2 a 5 km a lo largo de la Sierra) hay sitios arqueológicos, y no es sorprendente que es precisamente en los mismos lugares que han crecido los poblados actuales con sus necesidades de acceso a los recursos de agua. La ubicación del sitio de Budsilhá es interesante, porque no es nada más que una isla dentro de un pantano, accesible por canoa durante la temporada lluviosa. Mayormente las zonas pantanosas no muestran mucha evidencia de ocupación, y los sitios con arquitectura monumental se encuentra principalmente en las faldas de la Sierra Guiral (por ejemplo Flores Magón, La Mar, y Uch Chan) o en los altos de la zona (Laguna Oscura).

También, se nota la importancia de las rutas terrestres de transporte en la ubicación de los sitios. La ruta más importante, o por lo menos obvio, debe ser el valle principal entre la sierra y el Usumacinta, que corre del sureste al noroeste. Sin embargo, en por lo menos tres casos son

los valles estrechos que crucen la Sierra Guiral en dirección este a oeste y ofrecen el acceso al valle de Santo Domingo que eran importantes para la ubicación de los sitios. Frente a Rancho Búfalo hay un valle, y hay otro cerca a Flores Magón. Más al sur, La Mar está situado justo frente a un punto de acceso al próximo valle y según los modelos de SIG el sitio está sentado en la ruta de mínimo costo entre Tonina y Piedras Negras.

### **Patrones Agrícolas**

Las cuestiones de patrones agrícolas en la zona son puntos clave para el entendimiento de la economía antigua, el nivel de las poblaciones de los periodos precolombinos, y las sostenibilidad de la región en el pasado tal como hoy en día. Las investigaciones de 2011 no enfocaron en el estudio de la agricultura antigua, sin embargo resultaron en unas observaciones preliminares. Primero, es obvio que los pobladores antiguos trabajaron en obras de agricultura intensa, construyendo campos agrícolas canalizados y en unos lugares sistemas extensas de terrazas agrícolas.

El lugar más obvio que muestra campos canalizados debe ser el sitio de Budsilhá. En las imágenes satelitales de GeoEye disponible en GoogleEarth se puede ver en la planada pantanosa inmediatamente al sur del epicentro del sitio los canales rectilíneos entre zonas cuadradas. Caminando por este paisaje se nota la diferencia distinta entre los canales y los campos elevados, y aunque es posible que los patrones rectilíneos sean naturales se sospecha que son sistemas antropogénicos para realizar la siembra y cosecha de plantas dentro de un terreno con un sobreabundancia de lluvias e inundaciones frecuentes.

Aunque solo fue posible explorar un parte mínimo del asentamiento de El Edén, la información proveída por el dueño del terreno indica tal sitio es solamente un ejemplo del asentamiento típico de este parte del paisaje y las observaciones hechas en camino al sitio están de acuerdo con su valoración de los patrones de asentamiento. Es decir, es una zona que era muy poblada y bien modificada con terrazas agrícolas, que requieren más estudios. Se espera la oportunidad de investigar los canales, terrazas y otros rasgos agrícolas de Budsilhá, El Edén y otros sitios de la región de forma más intensa por medio de excavaciones en las temporadas futuras.

## **Conclusiones Finales**

En resumen, la temporada 2011 del Proyecto Arqueológico Busilja-Chocolja fue exitosa en términos de ser el primer paso de un proyecto de largo plazo. Cumplió con las metas propuestas del proyecto, y resultó en el mejor conocimiento de los sitios individuales tales como la región en general. Tal vez más importante en términos de posibles investigaciones subsecuentes, el trabajo en 2011 hizo posible el desarrollo de las colaboraciones de las varias comunidades, ejidos, y dueños de los terrenos privados donde están ubicados los sitios arqueológicos. Esperamos que, con el permiso del Consejo de Arqueología y los autoridades locales, seguir con las investigaciones en 2012.

## **Agradecimientos**

Esta investigación se llevó a cabo en 2011 en México con el permiso del Consejo de Arqueología del Instituto Nacional de Antropología e Historia (INAH). Estamos especialmente agradecidos con el Dr. Emiliano Gallaga Murrieta (INAH), Licenciado Juan Antonio Ferrer Aguilar (INAH), y Arqueólogo Héctor Cuevas Fernández (INAH) para su orientación y apoyo de la investigación. Jeffrey Dobereiner, Alan Méndez, Diego Ibarra Cardona, Pedro Gómez, y Timoteo Aguilar fueron valiosos colaboradores durante la temporada de campo 2011. Guillermo Fonseca proporcionó asistencia con la logística local, sin la cual nuestro trabajo de campo sería mucho más difícil y ciertamente con menos éxito. Mariano Catalán (La Mar), Luis y Salvador Romo (Rancho Búfalo), Antonino González Hernández (Budsilhá), Concepción Rivera Córdoba (Flores Magón), y Gustavo Ramírez Montiel (Flores Magón) fueron colaboradores tan amables que nos permita visitar a sus propiedades para documentar estas arqueológicos sitios, y estamos en deuda con ellos. Esta investigación fue auspiciada por las universidades de Brown, Brandeis, Harvard, y la Universidad Autónoma de Yucatán.

## REFERENCIAS

Bachand, Bruce R.

1997 Examination of a Ceramic Collection from Piedras Negras. Guatemala. Tesis de Maestría. Brigham Young University.

Barrientos Q., Tomás, Héctor L. Escobedo and Stephen D. Houston

1997 PN 1: excavaciones en la Estructura 0-13. In: Héctor L. Escobedo and Stephen D. Houston (eds.), Proyecto Arqueológico Piedras Negras Informe Preliminar No. 1: Primera Temporada, 1997, pp. 1-20. Informe Preliminar Entregado al Instituto de Antropología e Historia, Guatemala.

Butler, Mary

2005 Piedras Negras Pottery. In: John M. Weeks, Jane Hill, and Charles Golden (eds.) *Piedras Negras Archaeology, 1931-1939*, pp. 90 – 139, University Museum Press, Philadelphia.

Chinchilla, Oswaldo M. y Stephen D. Houston

1993 Historia Política de la Zona de Piedras Negras: Las Inscripciones de El Cayo. En *VI Simposio de Investigaciones Arqueológicas en Guatemala*, editado por J. P. Laporte, H. Escobedo y S. V. de Brady, pp. 63-70. Museo Nacional de Arqueología y Etnología, Guatemala, Ciudad de Guatemala, Guatemala.

Coe, William R.

1959 *Piedras Negras Archaeology: Artifacts, Caches, and Burials*. Museum Monographs. University Museum, University of Pennsylvania, Philadelphia.

Culbert Patrick y Robert L. Rands

2007 Multiple Classifications: an Alternative Approach to the Investigation of Maya Ceramics. *Latin American Antiquity* 18 (2): 181-190.

Domínguez Carrasco, María del Rosario

1994 Calakmul, Campeche. Análisis de la cerámica. Colección Arqueología.

Englehard, Joshua

2010 Crossing the Usumacinta: Stylistic Variability and Dynamic Boundaries in the Preclassic and Early Classic Period Northwest Maya Lowlands. *Archaeological Review from Cambridge* 25 (2):57-76.

Golden, Charles y Andrew Scherer

2010 Proyecto “Reconocimiento Arqueológico Preliminar en la Región del Sitio La Mar, Chiapas.” Primer Informe de Investigación, Presentado ante el Consejo de Arqueología del Instituto Nacional de Antropología e Historia. México, DF.

Hernández Ayala, Martha

1981 Cronología y periodificación de la región del río San Pedro Mártir, Tabasco. Tesis profesional. Escuela Nacional de Antropología e Historia.

Houston, Stephen D., Héctor Escobedo, Andrew K. Scherer, James Fitzsimmons, L. and Mark Child

2003 Classic Maya Death at Piedras Negras, Guatemala. In: Andres Ciudad Ruiz (ed.), *Antropología de la Eternidad: La Muerte en La Cultura Maya*, pp. 113-144. Sociedad de Española de Estudios Mayas, Madrid.

Jiménez Álvarez, Socorro del P, Robert L. Rands y Ronald Bishop

2011a Investigaciones recientes acerca de la manufactura cerámica de Chinikihá, Chiapas (Informe de la Temporada 2007-2010). Ponencia presentada en el III Congreso Internacional de la Cultura Maya, Centro INAH Yucatán, Mérida, Yucatán del 13 al 19 de Marzo.

2011b Estudio petrográfico de las texturas cerámicas de Chinikihá, un asentamiento de la cuenca media del río Usumacinta de Chiapas, México. Tomo II: 9-29. Universidad Autónoma de Campeche.

2011c Aspectos cronológicos regionales: la costa y el interior de la península de Yucatán. Ponencia presentada en la VII Redonda de Palenque, Ciudad de Palenque, Chiapas. 28 de noviembre del 2011.

Lee, Thomas, Brian Hayden y Phillip Walker

1988 La Cueva de San Pablo y el Cayo Sobre el Río Usumacinta, Chiapas. *New World Archaeological Foundation*. No. 53. Brigham Young University. Provo, Utah.

López Varela, Sandra.

1991 La cerámica de Pomona, Tabasco. Un ejemplo del Clásico Tardío en las Tierras Bajas Noroccidentales. UDLA. México.

2005 Dynamics of Engagement in the Usumacinta River Valley and The Coastal Plains of Tabasco: Transversing Terminal Classic Hypotheses. In *Geographies of Power: Understanding the Nature of Terminal Classic Pottery in the Maya Lowlands*. Edited by Sandra L. López Varela and Antonia E. Foias 41-60.

Maler, Teobert

1901 *Researches in the Central Portion of the Usumatsintla Valley: Report of Explorations for the Museum 1898-1900*. *Memoirs of the Peabody Museum of Archaeology and Ethnology*, Harvard University 2(1). Peabody Museum of Archaeology and Ethnology, Cambridge, MA.

1903 *Researches in the Central Portion of the Usumatsintla Valley*. *Memoirs of the Peabody Museum of American Archaeology and Ethnology*, Vol. 2, No. 2. Harvard University, Cambridge.

Martin, Simon y Nikolai Grube

2008 *Chronicle of the Maya Kings and Queens*. Segunda edición, editor Thames y Hudson,

New York.

- Méndez Cab Alan Enrique, Socorro Jiménez Álvarez y Ricardo Armijo Torres  
 2011 Cerámica del Preclásico asociado a un criadero de cocodrilos y tortugas: El ejido Francisco J. Mújica. Ponencia presentada en el XXI Congreso Los Investigadores de la Cultura Maya. 17 de Noviembre de 2011.
- Muñoz, Rene  
 2006 Power, Production and Prestige: Technological Change in the Late Classic Ceramics of Piedras Negras, Guatemala. Unpublished Dissertation. University of Arizona.
- Rands, Robert L.  
 1967 Cerámica de la región de Palenque, México. *Estudios de Cultura Maya* Vol VI. 112-147.
- Rands, Robert L. and Barbara C. Rands  
 1957 The Ceramic Position of Palenque, Chiapas. *American Antiquity* 2: 140-150
- Rands, Robert and Ronald L. Bishop  
 2003 The Dish Plate Tradition at Palenque: Continuity and Change. In *Patterns and Process. A Festschrift in Honor of Dr. Edward V. Sayre*. Smithsonian Center for Materials Research and Education.
- San Román, San Martín Elena  
 2005 El Clásico Temprano en Palenque a través de su cerámica. *Lakamhá* 16 (4): 3-7.
- Scherer, Andrew K., Lori E. Wright, and Cassady J. Yoder  
 2007 Bioarchaeological evidence for social and temporal differences in diet at Piedras Negras, Guatemala. In: *Latin American Antiquity* 18(1): 85-104.
- Zender, Marc  
 2002 The Toponyms of El Cayo, Piedras Negras, and La Mar. En *Heart of Creation: The Mesoamerican World and the Legacy of Linda Schele*, editado por A. Stone, pp. 166-185. University of Alabama Press, Tuscaloosa.